

# Raport stiintific

pentru perioada 1.01.2014-31.12.2014

In Planul de realizare al proiectului, aferent Actului Aditional pe 2013, au fost prevazute doua obiective principale:

1. Caracterizarea electrica si magnetica a structurilor de tip jonctiune TER si TMR

2. Prepararea strucrurilor core-shell

Corespunzator celor doua obiective, au fost duse la bun sfarsit patru (4) activitati:

1.1. Masuratori electrice la diferite temperaturi; magnetorezistenta

1.2. Masuratori in camp magnetic; studiul cuplajului magnetoelectric sau magnetocapacitiv

2.1. Prepararea structurilor core-shell cu faza feroelectric si faza feromagnetica

2.2. Caracterizare structurala; investigarea cuplajului magnetoelectric si al prezentei multiferoicitatii

Rezultatele obtinute in urma desfasurarii celor patru activitati, in scopul indeplinirii celor doua obiective ale etapei pe 2014, vor fi prezentate in continuare pentru fiecare echipa de cercetare.

## Echipa 0 (echipa directorului de proiect)

Echipa 0 a avut contributii la realizarea primului obiectiv, participand la activitatile 1.1 si 1.2 (in special pe partea de masuratori electrice la diferite temperaturi. Pentru masuratori in camp magnetic, pentru caracterizari structurale si pentru investigatii de componitie s-a colaborat cu echipele 1, 2 si 3. Rezultatele principale au fost urmatoarele:

1. Combinand tehnici diferite (masuratori electrice, investigatii XPS si TEM) a fost pus in evidenta faptul ca polarizarea feroelectrica controleaza de fapt inaltimea barierei de potential la interfetele cu electrozi in structuri metal-feroelectric-metal (MFM) pe baza de straturi subtiri epitaxiale. Acest lucru se poate observa cel mai bine din tabelul de mai jos, in care se vede ca inaltimea barierei de potential este aproximativ aceeasi in ciuda faptului ca au fost utilizati electrozi cu valori foarte diferite ale lucrului de extractie.

**Table 1** The height of potential barriers (in eV, at room temperature) for the SRO, Pt, Cu, Al and Au top contacts, and for the two polarities of the applied voltage on the top electrode. The work functions (in eV) are also given in the table.

Ferroelectric layer	PZT	BTO								
Top contact	SRO	Pt	Cu	Al	Au	SRO	Pt	Cu	Al	Au
$\Phi_B^0$ (eV) positive polarity	0.14	~0.1	0.11	0.38	0.26	0.21	0.22	0.19	0.92	0.31
$\Phi_B^0$ (eV) negative polarity	0.17	0.16	0.11	-	0.3	0.22	0.19	0.23	0.79	-
Work function	4.7-4.9	5.65	4.65	4.28	5.1	4.7-4.9	5.65	4.65	4.28	5.1

O observatie interesanta a fost aceea cu electrozi metalici nu „uda” la fel suprafata feroelectricului in timpul depunerii. S-a constat, din studii amanuntite TEM, ca metalele nobile precum Au si Pt au tendinta de a forma nanosfere pe suprafata atat a PZT cat si a BTO, ceea ce duce la o acoperire parciala a suprafetei feroelectricului. In schimb Cu acopera integral suprafata, forman un strat continuu. Acest lucru

poate avea efect asupra proprietatilor electronice ale interfetei metal-feroelectric, in relatie cu stabilitatea polarizarii. Pentru exemplificare sunt date figurile urmatoare.

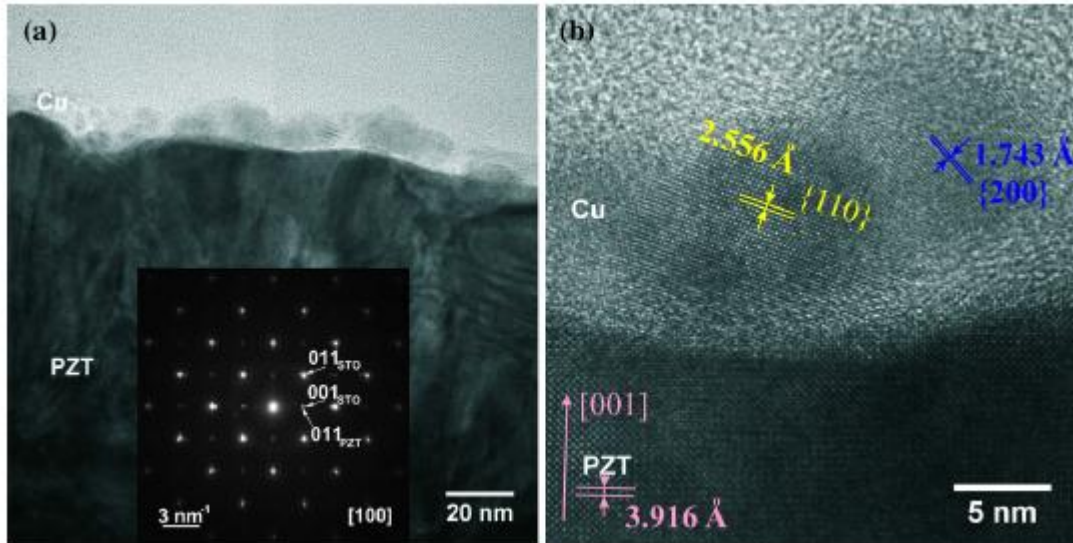


Fig. 1 Imagini TEM pentru un strat de Cu depus prin MBE pe suprafata unui strat epitaxial de PZT.

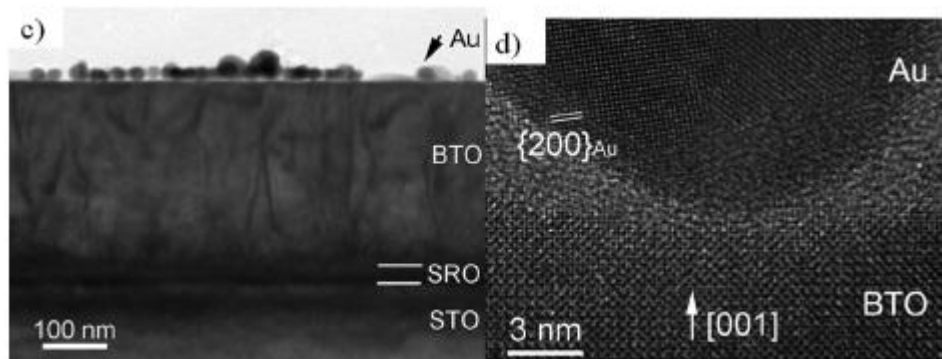


Fig. 2 TEM pentru un strat de Au depus prin MBE pe suprafata unui strat epitaxial de BTO.

2. A fost dezvoltat un model de circuit echivalent generalizat pentru structuri MFM. Acesta a fost verificat pe doua timpuri de straturi epitaxiale, de PZT si BTO, cu doua tipuri de orientari cristaline ((0010 si (111)), si pentru mai multe tipuri de metale utilizate ca electrozi. Concluzia a fost ca o structura MFM epitaxiala poate fi modelata cu un circuit echivalent simplificat, in care o capacitate echivalenta cu legarea serie a capacitati contactului Schottky si a capacitati volumului ferofelectric, este inserata cu o rezistenta de contact. Ecuatiile corespunzatoare sunt urmatoarele:

$$Z' = \frac{R_c(\omega^2 \tau_F^2 + 1) + R_F}{\omega^2 \tau_F^2 + 1}$$

$$Z'' = \frac{1 + \omega^2 \tau_F (C_S R_F + \tau_F)}{\omega C_S (\omega^2 \tau_F^2 + 1)}.$$

La frecvente peste 1 kHz ecuatiile de mai sus se reduc la:

$$Z' = R_c$$

$$Z'' = \frac{1}{\omega C_S} \left[ 1 + \frac{C_S R_F}{\tau_F} \right] = \frac{1}{\omega} \left[ \frac{1}{C_S} + \frac{1}{C_F} \right] = \frac{1}{\omega C_e}$$

Ecuatiile de mai sus au fost utilizate pentru a simula datele experimentale. S-a constatat ca partea imaginara a impedantei este aproximata foarte bine de model. Partea reala insa nu poate fi aproximata decat la frecvente mai mari de 100 kHz. La frecvente mai joase ecuatiile de mai sus nu mai pot simula partea reala intrucat ele nu iau in considerare prezenta defectelor electric active care pot afecta conductanta la frecvente joase, la care aceste defecte inca mai pot raspunde la campul electric alternativ aplicat pe proba. In figura urmatoare sunt prezentate curbele experimentale si cele simulate pentru un strat epitaxial ferroelectric.

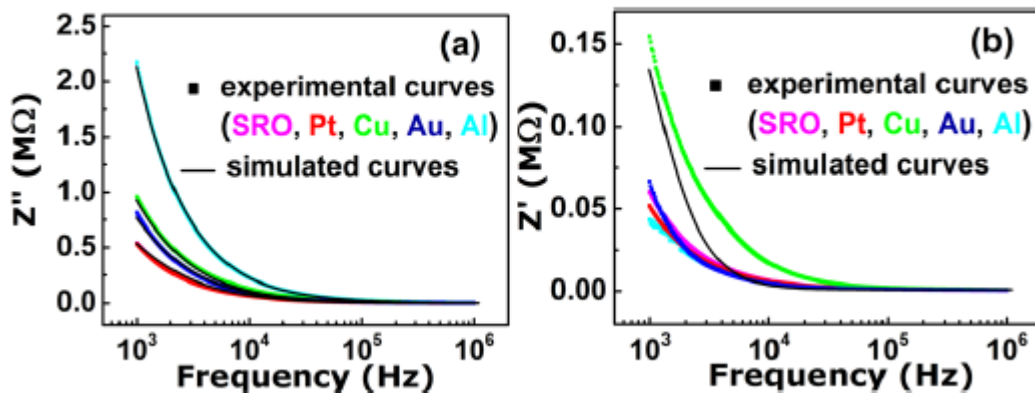


Fig. 3 Curbele simulate si cele experimentale pentru partea imaginara (a) si reala (b) a impedantei unui strat epitaxial de BTO cu diferite metale ca electrozi superioiri.

3. Au fost efectuate si unele masuratori de magnetocapacitate, pe niste structuri multistrat de tip LSMO/ferroelectric/LSMO. Nu au putut fi realizate decat masuratori cu camp magnetic aplicat perpendicular pe suprafata probei. Efectul magnetocapacitiv a fost observat doar la temperaturi joase, iar amplitudinea lui este mica, de doar 1-2 %. Acest lucru s-ar putea explica prin faptul ca directia de usoara magnetizare in LSMO este in planul filmului, in timp ce campul magnetic aplicat este perpendicular pe structura. Noi experimente sunt in curs iar datele vor fi analizate in viitorul apropiat.

### Echipa 1 (responsabil Mariana Stefan)

Echipa 1 a contribuit la obiectivul 1 si parcial la obiectivul 2. Rezultatele principale pot fi sintetizate astfel:

1. A fost pusa in evidenta existenta unei faze monoclinice in stratul de SRO depus pe suport monocristalin de STO cu orientare (001). Stratul de SRO joaca rol de electrod pentru filmele ferroelectrice de PZT sau BTO.

2. Au fost investigate caracteristicile structurale a straturilor subtiri de PZT cu raport Zr/Ti egal cu 52/48 (granita morfotropica), depuse pe suporti de STO monocristalin si pe suporti de Si cu strat buffer de STO. Investigatiile microstructurale asupra depunerilor multistrat s-au efectuat prin microscopie electronica analitica prin transmisie (TEM) utilizand microscopul electronic de inalta rezolutie JEM ARM 200F. Probele TEM au fost preparate in sectiune transversala folosind una din urmatoarele tehnici de preparare:

i. Preparare prin subtiere ionica: taiere, asamblare si slefuire mecanica plan-paralel pe fetele laterale perpendicular pe directia cristalina [010] a substratului de  $\text{SrTiO}_3$ , urmate de subtiere ionica in fascicule ionice de  $\text{Ar}^+$  pana la transparenta electronica cu ajutorul instalatiei Gatan PIPS.

ii. Preparare FIB: tajere, asamblare, slefuire mecanica pe o fata laterală perpendiculară pe direcția cristalina [010] a substratului de  $\text{SrTiO}_3$ , urmate de extragerea unei lamele subțiri cu ajutorul sistemului dual SEM-FIB Tescan Lyra III XMU.

Probele au fost examinate în microscopul electronic atât în modul convențional (difracție de electroni, imagistica în contrast de difracție) cât și în înaltă rezoluție, atât cu fascicul fix (TEM/HRTEM) cât și în mod scanare (STEM). Informațiile legate de compozitia chimică au fost obținute utilizând microscopul în modurile analitice EDS sau EELS. Achiziținarea și procesarea imaginilor și spectrelor s-a facut cu ajutorul programelor Digital Micrograph, Geometrical Phase Analysis și Adobe Photoshop.

In cadrul acestei etape a proiectului au fost investigate două tipuri de probe multistrat bazate pe  $\text{Pb}(\text{Zr}_{0.52}\text{Ti}_{0.48})\text{O}_3$  (sau PZT) depuse pe suport monocristalin de  $\text{SrTiO}_3$  și de Si. Filmul de PZT se folosește ca strat ferroelectric în structuri cu aplicații în nanotehnologie (ex: FeRAM). Structurile ferroelectrice investigate sunt alcătuite din: substrat monocristalin de  $\text{SrTiO}_3$  (sau STO) sau Si, electrod inferior de  $\text{SrRuO}_3$  (sau SRO), strat ferroelectric (PZT). Studiile de microscopie electronică analitică prin transmisie au avut ca scop evidențierea modului de creștere a straturilor subțiri depuse pe cele două tipuri de substrate, STO și Si. Atât modul de creștere a stratului ferroelectric cât și microstructura interfetelor dintre straturi au o importanță primordială în ceea ce privește comportamentul ferroelectric al structurii investigate.

#### Probe de tip $\text{Pb}(\text{Zr}_{0.52}\text{Ti}_{0.48})\text{O}_3/\text{SrRuO}_3/\text{SrTiO}_3/\text{Si}$

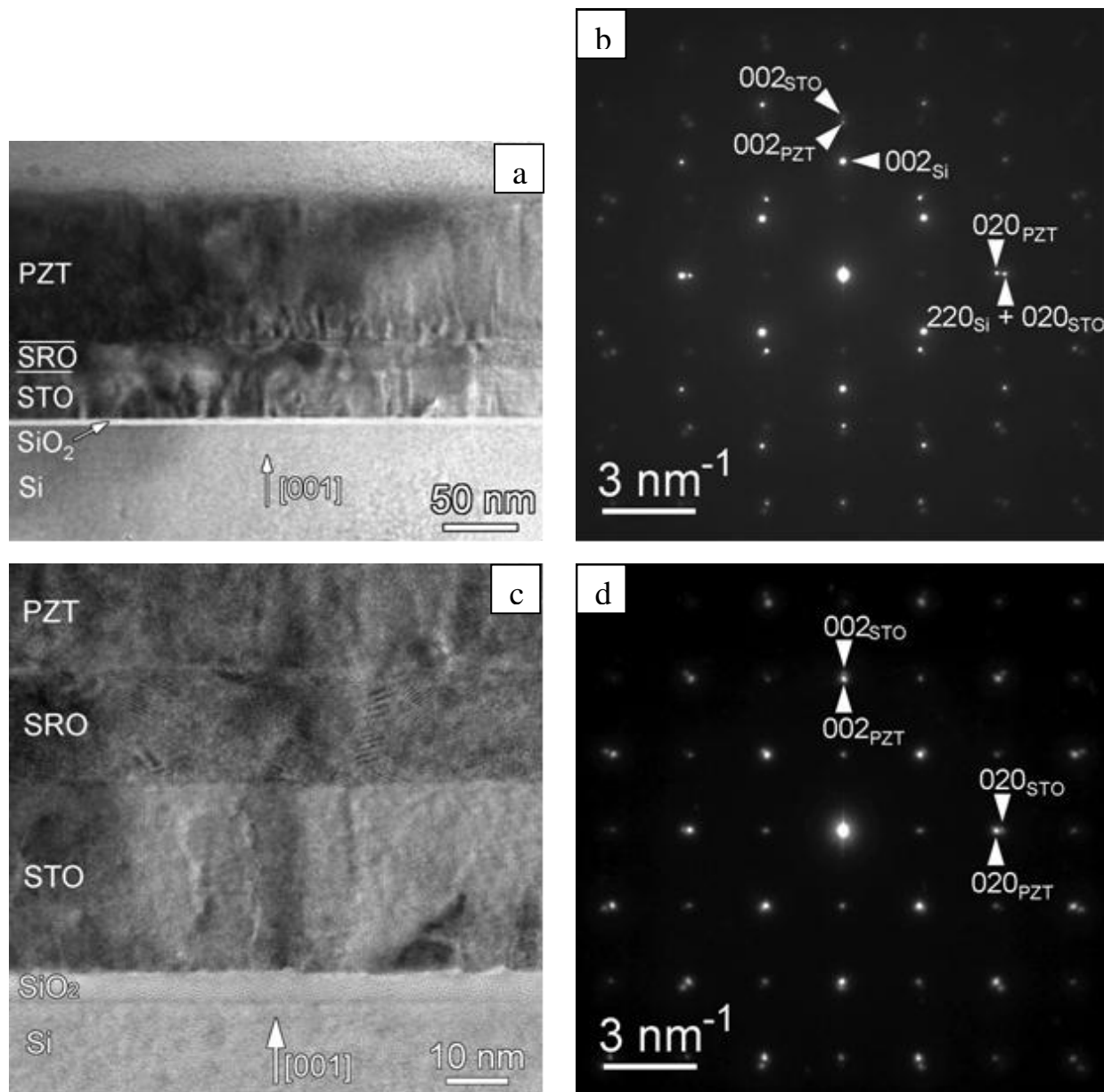
Imaginea TEM la marire mica din Fig. 1a arată, în contrast de difracție, morfologia probei multistrat PZT/SRO/STO/Si. Straturile de PZT, SRO și STO au o grosime de 100 nm, 20 nm și, respectiv, 33 nm. Un strat subțire mai intens (4 nm) se poate observa între substratul de Si și stratul de STO. Imaginea HRTEM din Fig. 1a arată natura amorfa a acestui strat care corespunde stratului de  $\text{SiO}_2$  nativ. Cele două diagrame de difracție de electroni (Fig. 1b și d) corespund la două arii selectate diferite: prima incluzând substratul și straturile depuse, iar cea de-a doua doar straturile depuse.

Diagrama de difracție de electroni pe arie selectată din Fig. 1b arată starea de cristalizare a straturilor depuse și relația cristalografică în raport cu substratul de Si. Spoturile de difracție au fost marcate cu indicii Miller corespunzători fiecarui material în parte, incluzând atât substratul de Si (spoturile cele mai intense) cât și straturile depuse. Diagrama de difracție arată creșterea monocristalina a straturilor de STO, SRO și PZT. Este interesant de observat faptul că, în ciuda prezentei stratului amorf de  $\text{SiO}_2$ , există o relație clară de orientare între planele cristaline ale stratului de STO și substratul de Si astfel  $(001)_{\text{STO}} \parallel (001)_{\text{Si}}$  și  $(010)_{\text{STO}} \parallel (110)_{\text{Si}}$ . Nepotrivirea de rețea dintre planele  $(110)_{\text{Si}}$  ( $d_{110} = 0.1916 \text{ nm}$ ) și  $(010)_{\text{STO}}$  ( $d_{010} = 0.1953 \text{ nm}$ ) calculată în raport cu substratul de Si este de 1.9%, ceea ce face ca spoturile de difracție  $220_{\text{Si}}$  și  $020_{\text{STO}}$  să se suprapună în Fig. 1b. Pentru o mai bună vizibilitate a informației structurale cu privire la straturile depuse s-a înregistrat o a doua diagramă de difracție dintr-o arie ce conține doar cele trei straturi depuse (Fig. 1d). În Fig. 1d se poate constata că toate spoturile de difracție apar dublate, arătând relația epitaxială dintre straturile de STO, SRO și PZT, precum și nepotrivirea de rețea dintre PZT și STO/SRO.

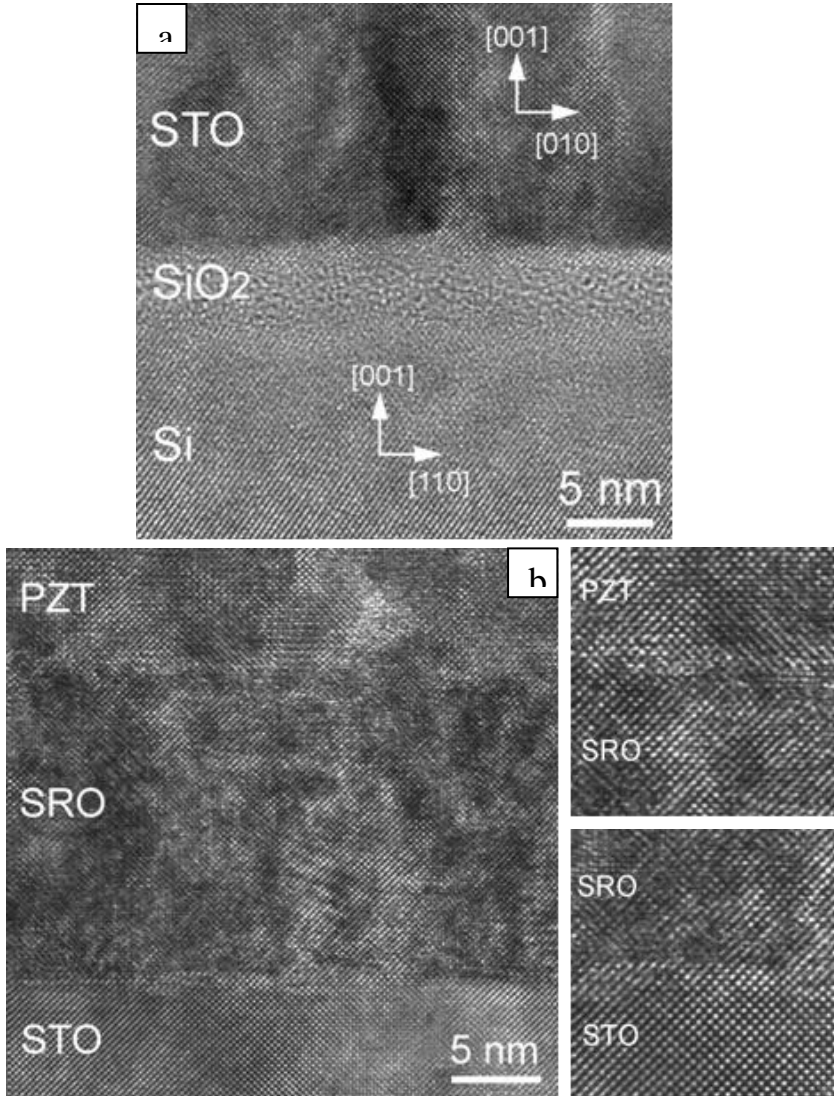
Mentionăm că nepotrivirea de rețea dintre STO și SRO în probă masivă (luând în considerare structura perovskit pseudocubic) este de aproximativ 1%, ceea ce face ca spoturile de difracție ale STO și SRO să fie suprapuse. De aceea, pentru a evita supraincarcarea figurii, indicele SRO a fost omis din indexarea spoturilor de difracție ai STO. Constanta retelei pseudocubice pentru stratul de PZT măsurată pe diagrama de difracție de electroni (luând Si ca referință) este 0,404 nm, ceea ce face ca nepotrivirea de rețea în raport cu parametrul retelei STO să fie de 3,6%. Prin urmare, spoturile de difracție corespunzătoare PZT și STO sunt separate, aparand ca dubleti.

Imaginea HRTEM la interfață STO-Si (Fig. 2a) confirmă creșterea monocristalina a stratului subțire de STO și relația de orientare cristalografică bine definită  $(001)_{\text{STO}} \parallel (001)_{\text{Si}}$  și  $(010)_{\text{STO}} \parallel (110)_{\text{Si}}$  în raport cu substratul de Si (001), în ciuda prezentei stratului de  $\text{SiO}_2$  amorf de 4 nm grosime. În mod similar, imaginea HRTEM la interfețele STO-SRO și SRO-PZT arată creșterea epitaxială a straturilor de SRO și

PZT, respectand relatia epitaxiala  $(001)_{\text{PZT}} \parallel (\dots)_{\text{SRO}} \parallel (001)_{\text{STO}}$  si  $(010)_{\text{PZT}} \parallel (\dots)_{\text{SRO}} \parallel (010)_{\text{STO}}$ . Campul de deformari poate fi observat in imaginile HRTEM prin contrastul datorat dislocatiilor de nepotrivire de retea. Contrastul campului de deformari este vizibil, de asemenea, in imaginea la marire mica din Fig. 1a, în special de-a lungul interfetei SRO-PZT.



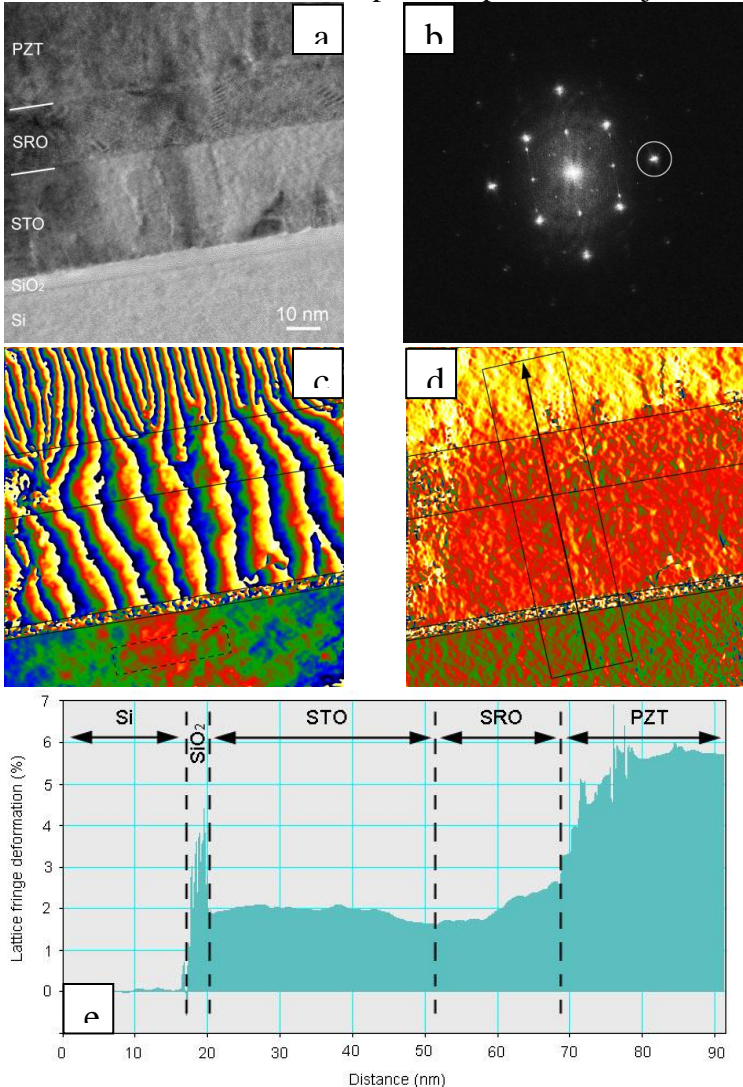
**Figura 1.** (a) Imagine TEM la marire mica aratand structura multistrat PZT/SRO/STO/Si. (b) Diagrama de difracție înregistrată pe o arie mare ce include substratul de Si și straturile depuse. (c) Imaginea TEM la marire mare aratând prezenta unui strat amorf de  $\text{SiO}_2$  între substratul de Si și stratul de STO. (d) Diagrama de difracție înregistrată pe o arie ce include doar straturile depuse.



**Figura 2.** (a) Imaginea HRTEM la interfata Si-STO. (b) Imaginea HRTEM si detalii marite ale interfetelor STO-SRO si SRO-PZT.

Cu scopul de a obtine o intrelegere mai profunda asupra cresterii filmului epitaxial luand in considerare valorile nepotrivirii de retea mentionate, deformarea franjelor retelei corespunzatoare straturilor depuse a fost cartografiata cu ajutorul Analizei de Faza Geometrica (GPA) [1, 2]. Fig. 3a contine o imagine HRTEM a probei multistrat, incluzand substratul de Si orientat de-a lungul axului de zona [1-10]<sub>Si</sub>. Fig. 3a contine spectrul de putere corespunzator care este modulul patrat al transformantei Fourier a imaginii HRTEM, reproducand diagrama de difracție din Fig. 1b. Spotul incercuit corespunde planelor cristaline 220<sub>Si</sub>, 020<sub>STO</sub>, 040<sub>SRO</sub> si 020<sub>PZT</sub>. Acest spot a fost selectat pentru a fi folosit in analiza ce urmeaza privind distorsiunea franjelor retelei in structura multistrat. Imaginea de faza geometrica a fost calculata in Fig. 3c luand ca referinta aria rectangulara punctata din interiorul substratului de Si. Imaginea arata faza geometrica  $2\pi\mathbf{g} \cdot \mathbf{u}$  a franjelor retelei mentionate in raport cu franjele retelei 220<sub>Si</sub>; unde vectorul reciproc  $\mathbf{g}$  corespunde local planelor retelei 020<sub>STO</sub>, 040<sub>SRO</sub> si 020<sub>PZT</sub> si  $\mathbf{u}$  se refera la pozitia geometrica a planelor retelei in imaginea HRTEM. Aspectul de franje in ariile corespunzatoare straturilor STO, SRO si PZT se datoreaza normalizarii fazei geometrice in intervalul  $[-\pi, +\pi]$ . Franjele colorate corespund salturilor fazei de la  $-\pi$  (albastru inchis) la  $+\pi$  (galben deschis). Cu toate ca informatia cantitativa arata nu este usor de interpretat, imaginea de faza poate fi privita ca un model moiré ce reflecta nepotrivirea de retea dintre

substratul de Si (luat ca referinta) si straturile de PZT, SRO si PZT. Distanțele medii dintre franje masurate în imaginea de fază de-a lungul ariilor STO/SRO și PZT sunt de 10 nm și respectiv 3.3 nm. Aceste distanțe corespund spațierii  $D$  de 9.9 nm dintre franjele moiré pentru sistemul Si-STO și 3.4 nm pentru sistemul Si-PZT, conform relației  $D = d_{Si}^2/\delta d$ , unde  $\delta d$  reprezintă variația spațierii franjelor dintre  $020_{STO}$ ,  $040_{SRO}$  și  $020_{PZT}$  în raport cu spațierea franjelor corespunzătoare substratului  $220_{Si}$  ( $d^{Si}$ ).



**Figura 3.** (a) Imagine HRTEM la marire mica a probei PZT/SRO/STO/Si; (b) Spectrul de putere corespunzator imaginii HRTEM din (a); spotul incercuit a fost folosit în analiza deformării franjelor retelei; (c) harta fazăi geometrice corespunzătoare spotului selectat în (b), în raport cu aria de referință rectangulară marcată în interiorul substratului de Si; (d) harta deformării franjelor retelei în raport cu planele retelei  $(220)_{Si}$ ; (e) profilul liniar mediat al deformării franjelor retelei de-a lungul sagetii negre din harta (d).

Un alt avantaj al imaginii de fază geometrică este că permite, ca și franjele moiré, vizualizarea poziției dislocațiilor datorate nepotrivirii de rețea (MD). În imaginea de fază aceste dislocații se identifică prin apariția de franje suplimentare. Acestea sunt situate de-a lungul interfeței SRO-PZT, fiind grupate în clusteri, separate la o distanță medie de 28 nm. Urmele interfețelor sunt marcate pe imaginea de fază cu linii negre continue ca un ghid pentru ochi.

Deformarea franelor  $(d - d_{220}^{Si})/d_{220}^{Si}$  calculata in raport cu aria de referinta din Si, unde  $d$  se refera la planele retelei  $020_{\text{STO}}$ ,  $040_{\text{SRO}}$  si  $020_{\text{PZT}}$  a fost cartografiata in Fig. 3d. Liniile negre continue marcheaza urma interfetelor dintre straturi. Valorile numerice de-a lungul hartii pot fi citite pe profilele liniare in Fig. 3e plecand din substrat catre stratul de PZT (sageata neagra in Fig. 3e). Pentru a reduce fluctuatiile datorate zgomotului, profilul liniar a fost mediat pe o banda cu largimea de 24 nm, in jurul sagetii. Sunt indicate cinci intervale pe profilul liniar in Fig. 3e, corespunzatoare substratului de Si, stratului amorf de  $\text{SiO}_2$  si stratelor STO, SRO si PZT.

Valorile deformarii retelei pot fi citite pe profilul liniar, sau pot fi masurate pe arii mari in interiorul fiecarei regiuni de interes folosind rutinele de analiza statistica din programul de microscopie electronica Digital Micrograph. Graficul deformarii retelei in Fig. 3e incepe de la valoare medie 0 in interiorul substratului de Si luat ca referinta. Banda de 4 nm cu valori irelevante nu este altceva decat zgomot datorat stratului de  $\text{SiO}_2$  amorf. Graficul arata un salt catre un platou in jurul valorii medii de  $(1.9 \pm 0.4)\%$  corespunzatoare straturilor STO si SRO, urmata de o crestere graduala de-a lungul a aprox. 10 nm pana la valoarea medie de  $(5.8 \pm 1.2)\%$  in interiorul stratului de PZT.

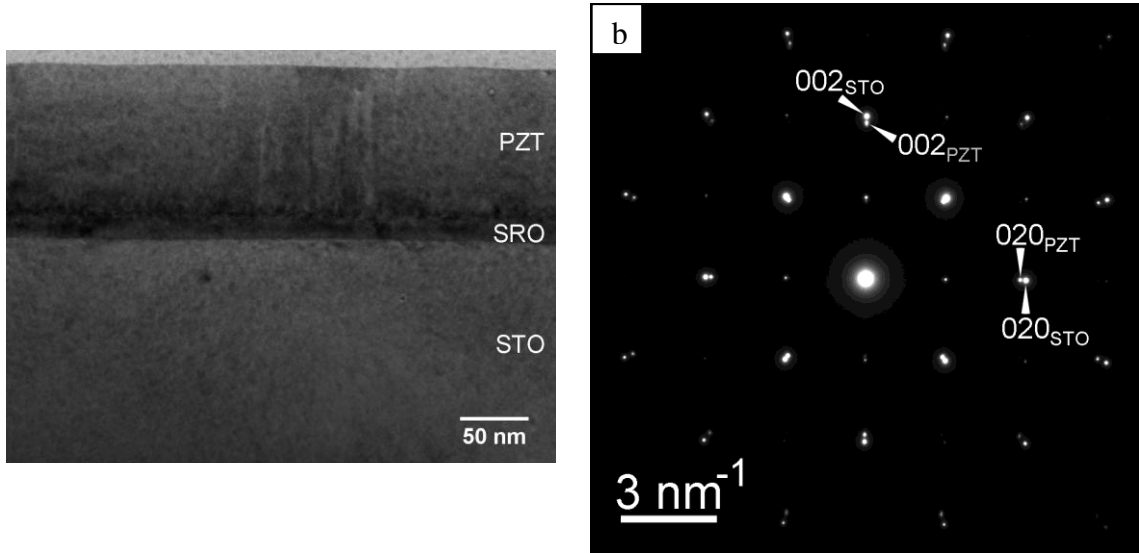
Valorile masurate ale deformarii franelor corespunzatoare materialelor in proba masiva sunt 1.9% pentru planele  $220_{\text{Si}}$  si  $020_{\text{STO}}$ , 5.6% pentru  $220_{\text{Si}}$  si  $020_{\text{PZT}}$ , 3.6% pentru  $020_{\text{STO}}$  si  $020_{\text{PZT}}$ . Am luat in considerare urmatoarele valori ale distantei interplanare in proba masiva:  $d_{220}^{Si} = 0.1916$  nm,  $d_{020}^{STO} = 0.1953$  nm. Pentru PZT am folosit valoarea  $d_{020}^{PZT} = 0.2024$  nm masurata in diagrama de difractie de electroni considerand Si ca etalon.

Luand in considerare aceste rezultate cantitative, concluzionam ca reteaua STO este relaxata in raport cu substratul de Si datorita prezentei stratului de  $\text{SiO}_2$  amorf la interfata, in timp ce stratul de PZT arata o compresie in plan, in primii 10 nm de la interfata cu stratul de SRO. Regiunea tensionata din interiorul stratului de PZT aproape de interfata cu SRO prezinta clusteri de dislocatii ca urmare a relaxarii stratului, dupa cum arata imaginea de fază geometrică (Fig. 3c).

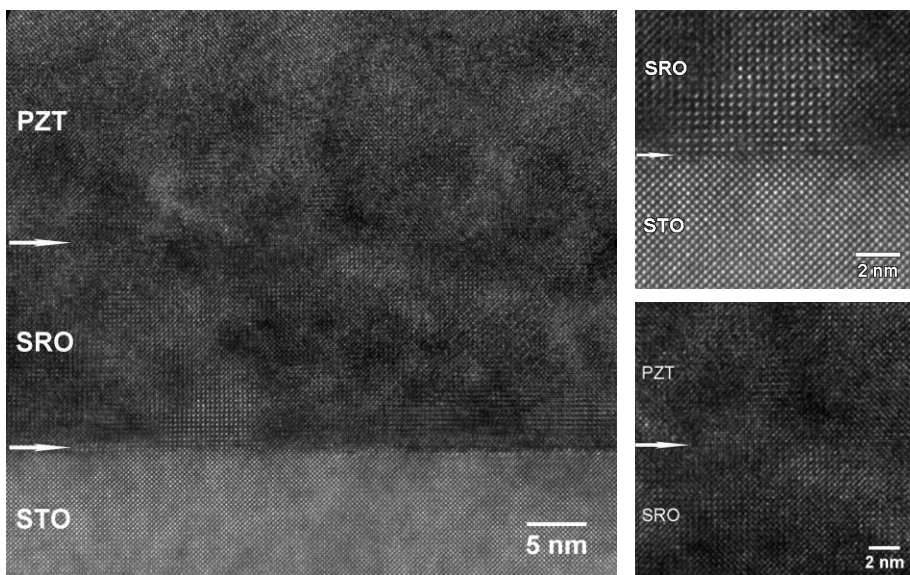
#### Probe de tip $\text{Pb}(\text{Zr}_{0.52}\text{Ti}_{0.48})\text{O}_3/\text{SrRuO}_3/\text{SrTiO}_3$

Imaginea TEM la marire mica din Fig. 4a arata morfologia probei multistrat PZT/SRO/STO cat si un contrast intunecat in vecinatatea interfetelor datorat campului de deformari epitaxial. Straturile de PZT si SRO au o grosimea de 100 nm si 20 nm si sunt depuse pe substratul monocristalin de STO. Diagrama de difractie de electroni pe arie selectata inregistrata pe o arie ce include atat substratul cat si cele doua straturi de PZT si SRO din Fig. 4b arata starea de cristalizare a straturilor depuse si relatia cristalografica  $(001)_{\text{PZT}} \parallel (\dots)_{\text{SRO}} \parallel (001)_{\text{STO}}$  si  $(010)_{\text{PZT}} \parallel (\dots)_{\text{SRO}} \parallel (010)_{\text{STO}}$  in raport cu substratul de STO. Nepotrivirea de retea dintre STO si PZT conduce la o despicate a spoturilor  $(002)$  si  $(020)$  foarte vizibila in diagrama de difractie din Fig. 4b. Masuratorile realizate in diagrama de difractie arata ca constantele de retea au valorile  $a = 4.05 \text{ \AA}$  si  $c = 4.10 \text{ \AA}$ , care, comparativ cu valorile din literatura [3] unde  $a = 4.04 \text{ \AA}$  si  $c = 4.138 \text{ \AA}$ , indica o compresie de 0.9% a retelei PZT pe directia perpendiculara pe interfata si o dilatare de 0.2 % in plan.

Imaginea HRTEM din Fig. 5 arata cresterea epitaxiala a electrodului inferior de SRO si a filmului subtire ferroelectric de PZT pe substratul de STO. Contrastul campului de deformari este vizibil si in imaginea HRTEM, atat in vecinatatea interfetelor cat si in cele doua straturi depuse, SRO si PZT. Imaginele HRTEM (Fig. 5) in detaliu prezinta cele doua interfete STO-SRO si SRO-PZT.



**Figura 4.** (a) Imagine TEM la marire mica aratand structura multistrat PZT/SRO/STO. (b) Diagrama de difractie inregistrata pe o arie mare ce include substratul de STO si straturile depuse de PZT si SRO.



**Figura 5.** Imaginea HRTEM a structurii PZT/SRO/STO si detalii mari ale interfetelor STO-SRO si SRO-PZT.

### Concluzii

Comparand cele doua tipuri de probe rezulta ca cresterea filmului de PZT depus pe substrat de Si si pe substrat de STO este diferita, rezultand in primul caz o deformare compresiva in plan si o dilatare pe directia perpendiculara pe interfata cu valorile mentionate mai sus, iar in cel de-al doilea caz deformarea este inversa, cu compresie a retelei pe directia perpendiculara pe interfata si dilatare in plan.

### Bibliografie

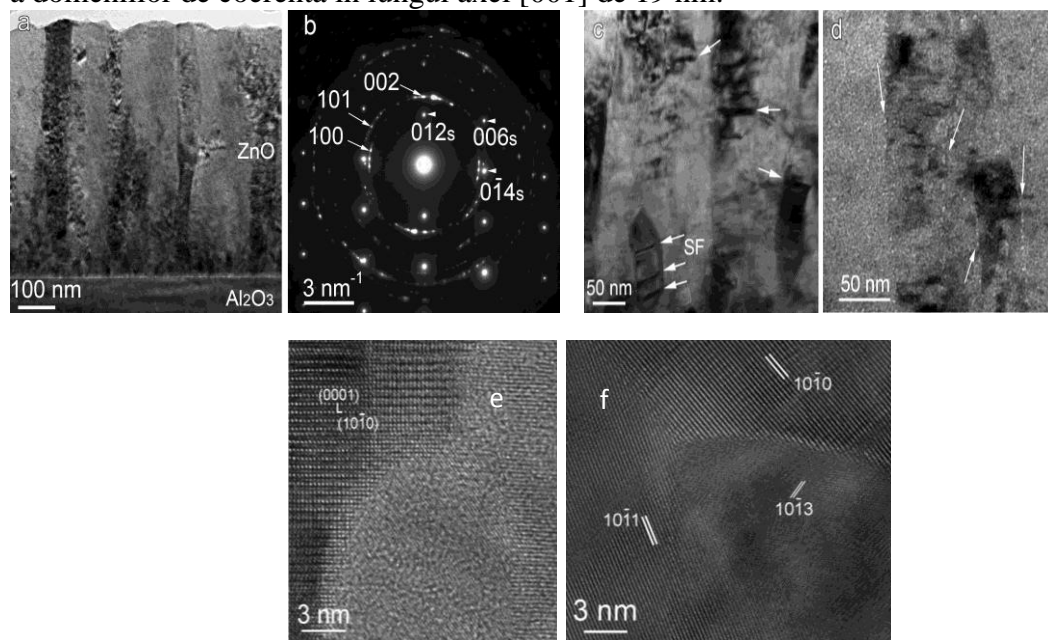
- [1] M. J. Hÿtch, F. Snoeck, and R. Kilaas, Ultramicroscopy 74, 131 (1998).
- [2] M. J. Hÿtch, J.-L. Putaux, and J.-M. Pénisson, Nature 423, 270 (2003).
- [3] B. Noheda, J.A. Gonzalo, L.E. Cross, R. Guo, S.E. Park, D.E. Cox, G. Shirane, Phys Rev B 61 (13): 8687, 2000.

## II. Investigatii prin tehnici de rezonanta electronica de spin (RES)

In cadrul acestei etape a proiectului a fost investigat un strat subtire de ZnO, depus pe substrat de safir monocristalin prin metoda de pulverizare magnetron in regim de radiofrecventa (RF magnetron sputtering) intr-o instalatie de tip UVN-75R1. Filmul a fost depus in atmosfera de argon cu presiunea de 0.3 Pa, pe substrat neincalzit, cu o putere de RF de 80 W. Tinta folosita a fost preparata prin presarea unei pulberi de ZnO nominal pure (Sigma-Aldrich, puriss.).

### Rezultatele investigatiilor structurale

Filmul a fost caracterizat structural cu tehnici de difractie de raze X (XRD) si microscopie electronica de transmisie (TEM)/microscopie electronica de transmisie in inalta rezolutie (HRTEM). Difractograma XRD corespunde unui strat monofazic de ZnO, puternic texturat in lungul axei *c*, cu o dimensiune medie a domeniilor de coherent in lungul axei [001] de 19 nm.



**Figura 1.** (a) Imagine TEM transversala prezentand cresterea columnara a filmului de ZnO. (b) Imagine de difractie de electroni evidentiind orientarea cristalografica a filmului de ZnO texturat in raport cu substratul de safir (spoturi indexate cu *s*). (c) Defecte de impachetare in coloanele de ZnO (marcate cu sageti). (d) Siruri de incluziuni nanometrice de faza amorfa la interfete (marcate cu sageti). (e) Imagine HRTEM evidentiind prezenta fazei amorse la interfata dintre coloanele de ZnO. (f) Imagine HRTEM aratand completa cristalizare a interfetelor dupa un tratament termic la 600 °C timp de 45 min.

Investigatiile TEM (Fig. 1) au aratat ca filmul de ZnO proaspas depus, cu o grosime de ~580 nm, prezinta o structura columnara (Fig. 1a), confirmand texturarea in lungul axei *c* (Fig. 1b). La interfata dintre coloanele cristaline de ZnO au fost observate incluziuni de material amorf cu dimensiuni de 2-5 nm (Fig. 1d si 1e). Aceste incluziuni de faza amorfa dispar in urma incalzirii filmului la 600 °C timp de 45 min. Tratamentul termic produce o reordonare atomica la granitele dintre grauntii cristalini si interfetele devin complet cristalizate (Fig. 1f).

### Rezultatele investigatiilor RES

Au fost efectuate masuratori de rezonanta electronica de spin (RES) in regim continuu in banda Q de frecventa (34 GHz) la temperatura camerei, folosind echipamentele existente in cadrul Centrului de cercetari prin tehnici RES avansate (CetRESav) din cadrul INCDFM. Proba a fost introdusa intr-un tub de

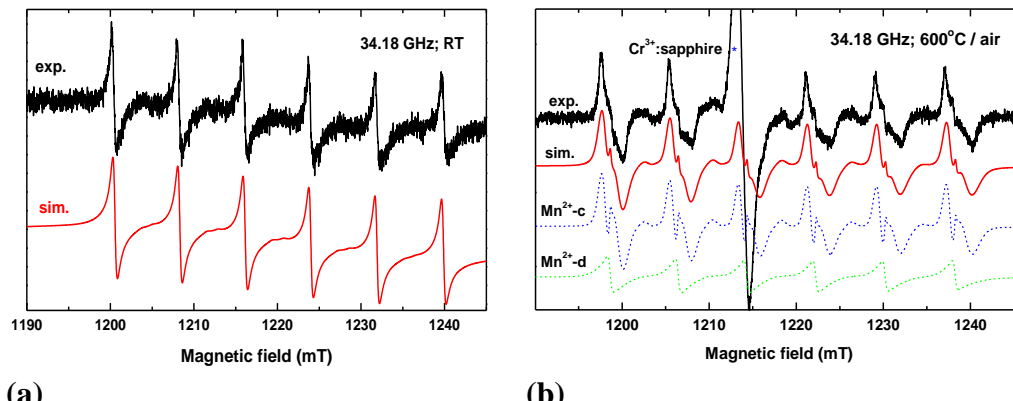
cu diametrul interior de 2 mm/ diametrul exterior de 3 mm. Masuratorile RES efectuate atat pe proba proaspata depusa cat si pe proba supusa la tratamente termice in aer cu durata de 15 min. la temperaturile de 300, 400, 500 si respectiv 600 °C au relevat prezenta unor centri paramagnetici asociati ionilor Mn<sup>2+</sup>, prezenti ca impuritate nativa. Concentratia acestor ioni estimata din spectrul RES este de ~1 ppm. Conform fisei de prezentare furnizata de producator, pulberea de ZnO din care s-a facut tinta poate contine maximum 50 ppm KMnO<sub>4</sub>. Deoarece pulberea de ZnO nu prezinta spectru RES, rezulta ca ionii Mn<sup>2+</sup> au fost formati in decursul depunerii filmului.

Analiza spectrelor RES observate a fost efectuata folosind Hamiltonianul de Spin (HS) caracteristic ionilor paramagnetici Mn<sup>2+</sup> cu spin electronic si nuclear  $S = I = 5/2$ , localizati in pozitii cu simetrie locala axiala:

$$H = g\mu_B \vec{S} \cdot \vec{B} + A\vec{S} \cdot \vec{I} + D \left[ S_z^2 - \frac{1}{3}S(S+1) \right] - \mu_N g_N \vec{B} \cdot \vec{I} \quad (1)$$

unde primul si ultimul termen reprezinta interactiile Zeeman electronica si respectiv nucleara, al doilea termen reprezinta interactia hiperfina, iar termenul ramas reprezinta interactia cu campul cristalin cu simetrie axiala  $D$ . Determinarea parametrilor HS a fost efectuata folosind procedura detaliata in referinta [1].

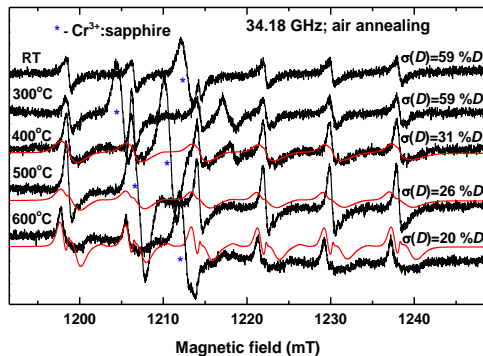
Filmul de ZnO proaspata depus prezinta un spectru caracteristic ionilor de Mn<sup>2+</sup> localizati substitutional in noduri de Zn<sup>2+</sup> in ZnO. Figura 2a prezinta spectrul experimental precum si simularea efectuata cu parametrii  $g = 2.0011$ ,  $A = -73.5 \times 10^{-4} \text{ cm}^{-1}$ ,  $D_0 = -225 \times 10^{-4} \text{ cm}^{-1}$ ,  $\sigma(D) = 59\%$   $D$  si  $\Delta B = 4 \text{ G}$  [2,3]. Parametrul de largire a liniei RES  $\sigma(D)$  reprezinta deviatia standard a distributiei Gaussiene centrate pe valoarea  $D_0$  a parametrului de camp cristalin axial. O astfel de distributie in valorile parametrului  $D$  este determinata de fluctuatii in campul cristalin local datorate dezordinii retelei si prezentei tensiunilor mecanice. Valoarea lui  $\sigma(D)$  in acest caz corespunde unei faze complet dezordonate a ZnO [3], aratand faptul ca ionii impuritate de Mn<sup>2+</sup> sunt localizati numai in incluziunile de faza amorfa de la granurile grauntelor cristalini.



**Figura 2.** (a) Spectrul experimental (exp.) si cel simulat (sim) al ionilor de Mn<sup>2+</sup> in filmul de ZnO proaspata depus.(b) Spectrul experimental (exp.) si cel simulat (sim) al ionilor de Mn<sup>2+</sup> in filmul de ZnO dupa tratamentul termic la 600 °C timp de 45 min., rezultat din insumarea spectrelor individuale ale celor doi centri de Mn<sup>2+</sup>.

In spectrul RES al filmului incalzit la 600 °C timp de 45 min. se observa prezenta unui alt centru corespunzator localizarii ionilor Mn<sup>2+</sup> in ZnO cristalin (denumit Mn<sup>2+</sup>-c in Fig. 2b). Parametrii HS pentru acest centru sunt  $g = 2.0012$ ,  $A = -74 \times 10^{-4} \text{ cm}^{-1}$ ,  $D_0 = -225 \times 10^{-4} \text{ cm}^{-1}$ ,

$\sigma(D) = 20\%$   $D$  si  $\Delta B = 1.5 \text{ G}$  [2,3]. Centrul Mn<sup>2+</sup>-c se formeaza dupa tratamentul termic de la 400 °C iar cresterea intensitatii spectrului sau, progresiv cu temperatura de tratament termic, este insotita de scaderea intensitatii spectrului centrului asociat fazei amorfene Mn<sup>2+</sup>-d.



**Figura 3.** Spectrele experimentale ale ionilor de  $Mn^{2+}$  in filmul de  $ZnO$  supus tratamentelor termice (negru). Spectrele simulate ale centrilor  $Mn^{2+}$ -c (rosu) cu diferite valori ale parametrului de largire  $\sigma(D)$ .

Intensitatea spectrului RES al unui centru, calculata prin dubla integrare a spectrului, este proportionala cu concentratia acestuia in proba masurata. Cresterea concentratiei centrilor  $Mn^{2+}$ -c la  $T > 400$  °C, precum si scaderea parametrului lor  $\sigma(D)$  (Fig. 3), se datoreaza atat cristalizarii fazei amorse din zonele intercristaline, cat si migratiei ionilor  $Mn^{2+}$  in interfete. Intr-adevar, temperatura de 400 °C marcheaza o schimbare in mecanismul dominant de crestere al nanocristalelor de  $ZnO$ , prin cresterea contributiei difuziei atomilor in interfete si la granitele de graunti [3]. Valoarea relativ ridicata a parametrului  $\sigma(D) = 20\% D$  la 600 °C arata faptul ca ionii  $Mn^{2+}$  raman localizati in straturile atomice exterioare ale coloanelor de  $ZnO$ , in apropierea granitelor de graunti, unde gradul de dezordine este considerabil mai mare decat in zonele centrale ale coloanelor. O evaluarea a intensitatii relative a celor doi centri de  $Mn^{2+}$  in filmul tratat la 600 °C arata ca ionii de  $Mn^{2+}$  raman distribuiti neomogen in film, 37 % dintre ei fiind localizati la granitele de graunti ( $Mn^{2+}$ -d), in timp ce restul de 63 % ( $Mn^{2+}$ -c) sunt localizati in straturile periferice ale coloanelor de  $ZnO$ . Acest rezultat arata ca metoda RES poate fi folosita pentru o evaluare cantitativa rapida si nedistructiva a procesului de segregare a impuritatilor paramagnetice in filmele nanostructurate.

### Concluzii

Cercetarile noastre au aratat ca, in filmele nanostructurate, chiar si impuritati foarte solubile precum  $Mn^{2+}$  in  $ZnO$  se aglomereaza la granitele de graunti, ramanand distribuite neomogen in apropierea acestora chiar si in urma unor tratamente termice, daca tratamentele au loc la temperaturi la care difuzia de volum este slaba. Aceste rezultate arata faptul ca, in cazul filmelor nanostructurate, impuritatile prezente pot ajunge la concentratii locale suficient de ridicate pentru a afecta proprietatile magnetice si de conductivitate electrica, chiar daca concentratia lor raportata la intreg filmul este foarte scazuta.

Unul dintre cele mai importante rezultate este dezvoltarea unei metode simple, statistic relevante si nedistructive de determinare a impuritatilor paramagnetice segregate la granitele de graunti in filme nanostructurate izolatoare si semiconductoare.

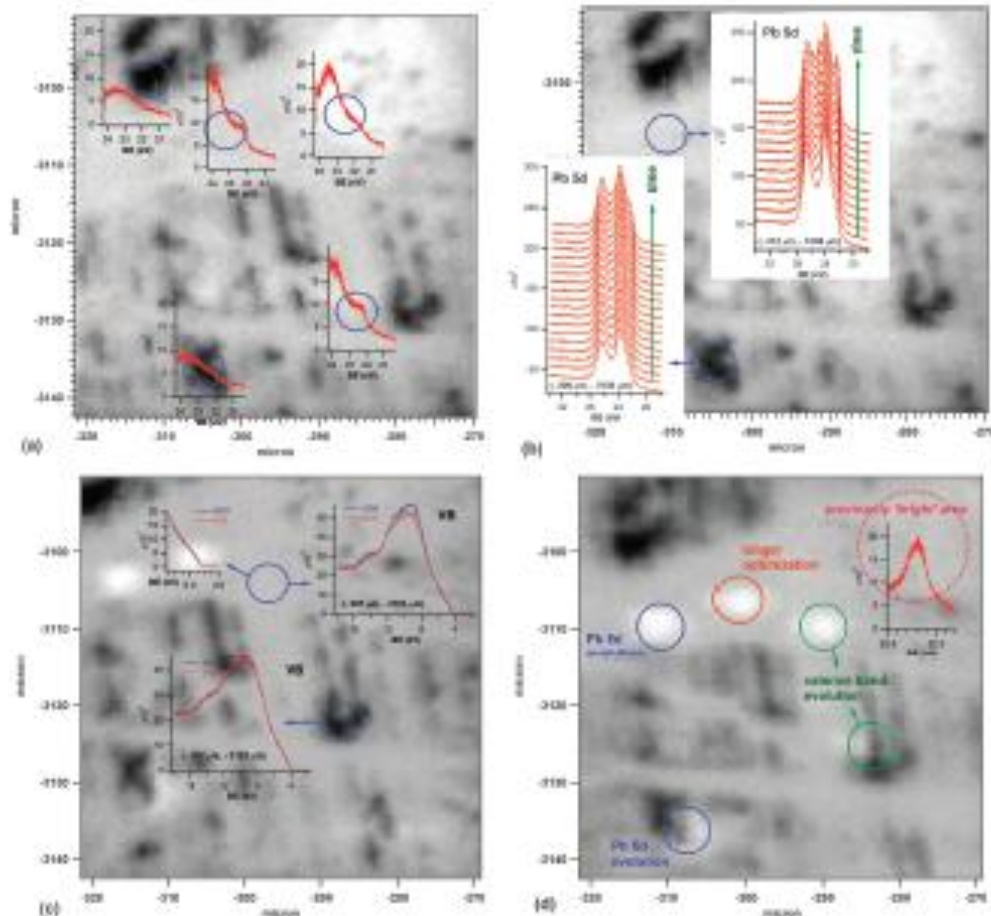
### Bibliografie

- [1] M. Stefan, S. V. Nistor, Barascu, N. J. *J. Magn. Reson.* **210**, 200 (2011)
- [2] S.V. Nistor, L.C. Nistor, M. Stefan, D. Ghica, Gh. Aldica, J.N. Barascu, *Cryst. Growth Des.* **11**, 5030 (2011)
- [3] M. Stefan, S. V. Nistor, D. Ghica, *Cryst. Growth Des.* **13**, 1350 (2013)

## Echipa 2 (responsabil Cristian Mihail Teodorescu)

Echipa 2 a colaborat cu echipele 0 si 1 la realizarea obiectivului 1. Pe langa rezultatele prezentate mai sus, echipa 2 a intreprins in premiera studii de spectro-microscopie cu fotoemisie de electroni pe straturi subtiri ferroelectrice, utilizand radiatie sincrotron la facilitatea Sincrotron ELETTRA Trieste, Italia.

Rezultatele au pus in evidenta existenta de arii cu sarcina de polarizare necompensata, ceea ce ar putea fi util in aplicatii de fotocataliza. Un exemplu de imagine obtinuta prin acest experiment este prezentat in figura urmatoare.



Date de spectromicroscopie obtinute pe un strat subtire de PZT cu grosime de 250 nm. Petele mai intunecate denota o intensitate mai mica a fotoelectronilor emisi, ceea ce sugereaza modificarile in structura electronica a suprafetei.

## Echipa 3 (responsabil Petre Badica).

Aceasta echipa a contribuit atat la obiectivul 1 cat si la obiectivul 2, colaborand cu echipele 0 si 4. Rezultatele obtinute sunt prezentate mai jos.

S-au abordat 2 cai vizand studiul cuplajului magnetic si magneto-electric la interfete de tip FE/FM si anume: **(a)** modificarea caracteristicilor magnetice intr-un strat subtire FM (grosimi de zeci de nm) cuplat interfacial cu un material FE, atunci cand se modifica starea de polarizare in FE si respectiv **(b)** studiul fenomenelor de magneto-transport in structuri FM bidimensionale cuplate la structuri FE.

i: Sistemul FeNi(100 nm)/PMN-PT/<sup>57</sup>Fe(40nm)/FeNi(20 nm)

Structura de tip FeNi/PMN-PT/Fe/FeNi a fost preparata prin depunerea in pulverizare (DC si RF) a filmelor de FeNi si, respectiv, Fe pe o placuta comerciala de PMN-PT. Acesta este un substrat monocristalin de 72%Pb(Mg<sub>1/3</sub>Nb<sub>2/3</sub>)O<sub>3</sub>-28%PbTiO<sub>3</sub> (PMN-PT), cu grosimea de 300 de microni si cu orientarile <001> in lungime, <0-11> in latime si <011> in grosime. Un prim electrod de FeNi de 100 nm a depus pe substratul de PMN-PT. Pe cealalta parte a placutei de PMN-PT (de grosime 300 microni) s-a

depuș un strat de Fe (imbogătit în izotopul de  $^{57}\text{Fe}$ ) acoperit ulterior cu un strat subtire de FeNi (pentru protective). Grosimile stratului de Fe și respectiv ale acoperirii de FeNi au fost alese astfel încât să se poată obține spectre CEMS și semnale MOKE, să permită obținerea de electrozi uniformi și să fie suficient de subțiri pentru a simți couplaje interfaciale. Măsurările electrice au fost realizate cu un ferrotester, utilizând un semnal triunghiular, iar tensiunea maximă aplicată a fost de 200 V. Depolararea electrică a fost realizată prin aplicarea unui camp de polarizare descreșcător, precum este arătat în Figura i.1., unde este prezentată și curba de polarizare.

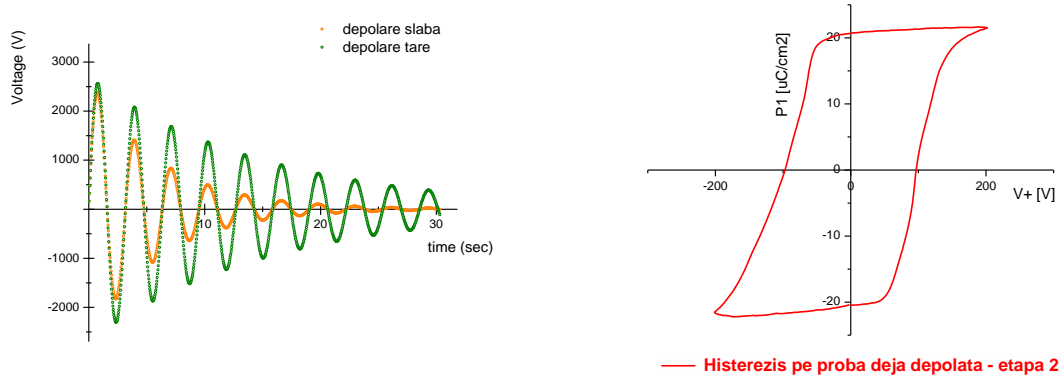


Figura i.1. Forma tensiunii electrice de depolarare pentru 2 variante: una slabă (decrement mare), și una tare (decrement mai mic). În dreapta este histerezisul de polarizare.

Măsurările magneto-optice au fost realizate cu un dispozitiv miniMOKE, utilizând o sursă de tip dioda laser ( $\lambda=640$  nm). Au fost obținute curbe de histerezis după o polare și respectiv după o depolarare parțială a placutei FE (cu electrozi FM).

Curbele de histerezis MOKE ale probei FeNi/PMN-PT/Fe/FeNi, achiziționate pe fata Fe/FeNi, după polarea la 200 V (stânga), și după depolarare parțială (dreapta), sunt prezentate în Fig.i.2. S-au considerat diverse orientări ale campului aplicat în raport cu o axă fixă din planul filmului FM (ungurile sunt menționate în legende).

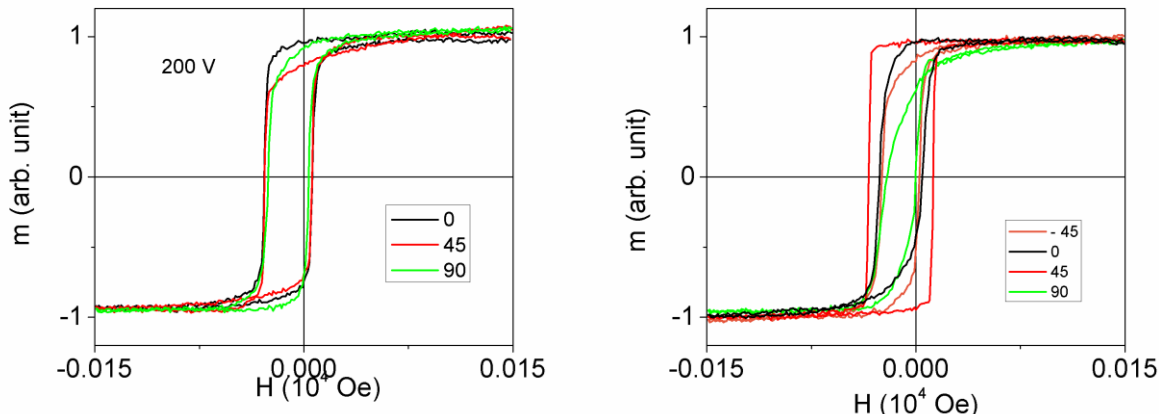


Figura i.2. Curbele de histerezis MOKE ale probei FeNi/PMN-PT/Fe/FeNi, achiziționate pe fata Fe/FeNi, după polarea la 200 V (stânga), și după depolarare parțială (dreapta), în diferite orientări: perpendicular pe camp (linia neagră), la 45 de grade (linia roșie) și paralel cu campul aplicat (linia verde). Deplasarea centrului curbelor de histerezis, spre stânga cu aprox 10 Oe este legată de campul remanent al a electromagnetului.

Se urmaresc in principal 2 parametrii si anume: (i) modificarea gradului de texturare a filmului magnetic si (ii) modificarea campului coercitiv. De mentionat ca o proba se considera perfect texturata daca isi modifica forma ciclului (in urma rotirii campului fata de directia de magnetizare usoara) de la un aspect rectangular la un aspect liniar si respectiv netexturata magnetic daca forma ciclului ramane nemodificata prin rotirea campului. Rationamentul este valabil in cazul filmelor de tip monodomene magnetice (sau ansamble de monodomene), ceea ce s-a probat a fi valabil in cazul filmelor suficient de subtiri, cu spinii orientati in planul filmului. Acest aspect este evidentiat de fapt prin spectrul Mossbauer corespunzator unui sistem similar (diferentiat datorita unui strat de acoperire de FeNi mai redus, care sa permita scaparea electronilor de conversie din stratul de Fe), prezentat in fig.i.3. Spectrul evidenta o componenta majoritara magnetica, cu o contributie spectrala de 78 %, atribuita fazei  $\alpha$ -Fe (atestand formarea unui film de fier bine structurat). Sunt prezente insa si doua componente secundare (una magnetica si una nemagnetica), cu o contributie spectrala de aproximativ 15 si 7 %. Prima este atribuita fierului din filmul de Fe-Ni, iar cea de a doua unor pozitii de  $Fe^{3+}$  datorate patrunderii atomilor de la interfata dinspre filmul de Fe inspre stratul oxidic PNM-PT. Tinand cont de componenta spectrala, se poate deduce ca au difuzat atomi de fier din filmul metalic, dintr-o grosime efectiva de aprox 1/10 din grosimea filmului de Fe. In aceste conditii avem de a face cu o interfata relativ larga, care poate fi daunatoare inducerii unui cuplaj magneto-electric efficient (se va urmari obtinerea unor interfete cat mai netede). Pe de alta parte, spectrele Mossbauer arata clar (prin intermediul intensitatilor liniilor spectrale implicate), orientarea momentelor magnetice din patura de Fe bcc, strict in planul filmului.

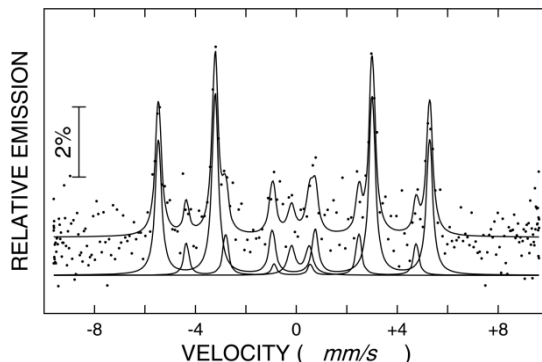


Fig. i.3. Spectrul Mossbauer cu electroni de conversie, obtinuti pe o proba similara, dar cu un strat de acoperire de FeNi, mai redus in grosime, pentru a permite scaparea electronilor de conversie generati in filmul de Fe, in urma evenimentelor de absorbtie Mossbauer.

Ca urmare, s-a apelat la procedura rotirii filmului de Fe in propriul plan, pentru a modifica unghiul dintre o directie de referinta din planul filmului si directia campului aplicat in timpul achizitionarii ciclului de hysterezis. In acest sens rotirea s-a facut pentru a proba eventuale modificari in textura magnetica (directia de referinta din planul filmului avand urmatoarele orientari: perpendiculara pe camp, la 45 de grade si paralela cu campul aplicat).

Figura i.2 evidentiaza situatia in care prin polare se reduce gradul de textura magnetica in timp ce depolarea paritala induce cresterea sensibila a texturii magnetice (modificarea evidenta a formei ciclului la rotirea probei in raport cu campul aplicat, trecerea facandu-se de la o forma rectangulara la o forma diagonală aplatizata). Campul coercitiv maxim, corespunzator directiei de usoara magnetizare -in cazul existentei texturii- creste usor (de la 20 Oe la aprox 24 Oe) in cazul probei parital depolate. In concluzie, aceste masuratori permit studiul cuplajului interfacial FM/FE prin intermediul observarii influentei gradului de polarizare a materialului FE asupra texturii magnetice a filmului FM.

ii: Sistemul STO(1 0 0)/SRO(20 nm)/**BFO(100 nm)**/<sup>57</sup>Fe(30 nm)/FeNi(20 nm).

Filmul de BFO (grosime de aproximativ 100 nm) a fost depus prin PLD pe substrat de STO(1 0 0), cu strat intermediar de SRO (grosime de aproximativ 20 nm). Filmul de Fe a fost depus prin pulverizare in RF pe filmul de BFO si a fost acoperit ulterior cu un strat subtire de  $Fe_{0.2}Ni_{0.8}$ , depus prin pulverizare in DC (pentru a se evita oxidarea filmului de Fe). Filmul de Fe a fost imbogatit in izotopul <sup>57</sup>Fe in timpul depunerii prin pulverizare in RF. Masuratorile magneto-optice au fost realizate cu un dispozitiv miniMOKE, utilizand o sursa de tip dioda laser ( $\lambda=640$  nm). Masuratorile magnetice la temperatura scazuta s-au efectuat prin magnetometrie SQUID. Masuratorile de Spectroscopie Mössbauer de electroni de conversie au fost realizate in geometrie perpendicularara (directia radiatiei  $\gamma$  perpendicularara pe planul probei).

Figura ii.1 prezinta curbele de histerezis MOKE ale probei STO(1 0 0)/SRO/BFO/Fe/FeNi, colectate la temperatura camerei, cu diverse orientari ale campului in raport cu o directie fixa din planul filmului si anume: la 0 grade, la 45 de grade si la 90 de grade. Se observa quasi-invarianta formei ciclui la rotirea probei, ceea ce implica lipsa texturii magnetice. Campul coercitiv este de aprox 60 Oe, aproape triplu fata de cel din cazul filmului precedent, lucru care poate oferi o prima indicatie asupra unui cuplaj interfacial FM/FE, diferit de cazul precedent.

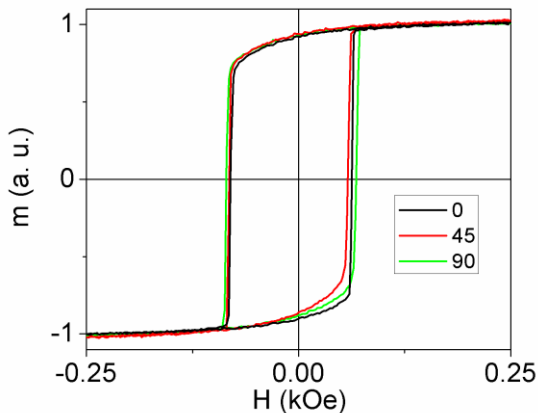


Figura ii.1. Curbe de histerezis MOKE ale probei STO(1 0 0)/SRO/BFO/Fe/FeNi, colectate la temperatura camerei, in diverse orientari ale campului fata de o axa de referinta, in planul filmului. Deplasarea centrului curbelor de histerezis, spre stanga cu aprox 10 Oe este legata de campul remanent al a electromagnetului.

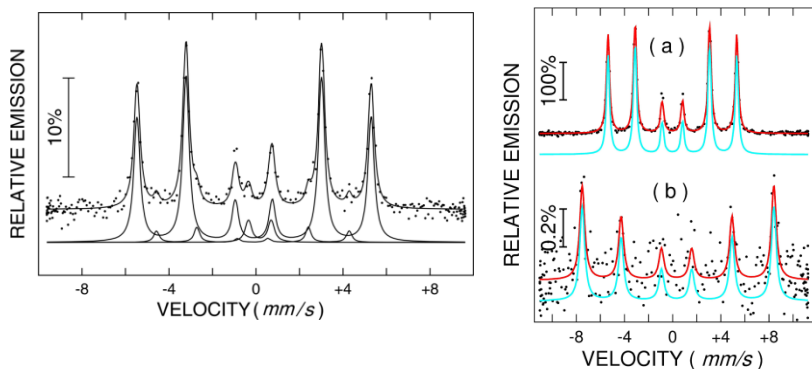


Figura ii.2. Spectre CEMS obtinute pe sistemul STO(1 0 0)/SRO/BFO/<sup>57</sup>Fe/FeNi (stanga) respectiv pe foita Fe metalic (structura bcc ideală) si BFO (structura perovskitica)

Pentru a analiza mai in detaliu aspectele legate de interfata FM/FE s-a procedat la studierea filmului FM (imbogatit in izotopul  $^{57}\text{Fe}$ ) prin spectroscopia Mossbauer cu electroni de conversie (CEMS). Spectrul obtinut pe acest sistem este prezentat in Fig. ii.2 (stanga). In partea dreapta a aceleiasi figuri, sunt prezentate spre comparatie spectrele CEMS obtinute pe o foie de Fe bcc de calibrare, respectiv pe un film mai gros de BFO. Se observa clar prezenta in film a 2 faze magnetice, dintre care una (net majoritara) are parametrii foarte apropiati de ai Fe bcc si este atribuita filmului de Fe, cea de a doua, de camp hiperfin mai mic este atribuita fazei fcc Fe-Ni (din patura de acoperire). In sfarsit, exista si o faza paramagnetica (contributie spectral de numai cateva procente) atribuita atomilor de Fe care au difuzat in structura oxidica (din contributia spectrala se poate estima ca interfata defectata (patura efectiva de atomi de Fe care au difuzat in FE) este de maximum 1 nm. Nu se observa semnal venit din stratul de BFO, care contine si el fier (spectrul magnetic al acestuia implicand insa un camp hyperfin mult mai mare –a se vedea spectrul CEMS pe filmul BFO simplu). Conform spectrului mentionat, spinii Fe sunt complet orientati in planul filmului, ceea ce permite o interpretare bidimensionalala a evolutiilor magnetizarii. In acest punct este de mentionat ca filmul de BFO este atat un feroelectric (FE) cat si un antiferomagnet (AF) la camera.

Dependenta magnetizarii intregului sistem in functie de temperatură este prezentata in figura ii.3. Experimentul propus este urmatorul. Se aplica la camera un camp dat (reprezentate sunt cazurile unui camp de 0.1 T respectiv de 1 T), se incalzeste sistemul spre temperatura Neel a AF-ului apoi se raceste in acest camp pana la temperaturi scazute (se inregistraza evolutia magnetizarii pe intregul process. In primul rand se observa usoara divergenta a celor 2 curbe de magnetizare pe intervalul comun de temperatura (300 K – 390 K), subliniind pe de o parte cuplajul paturii FM la patura AF si pe de alta parte neatingerea temperaturii Neel a filmului AF ( $T_N > 390$  K).

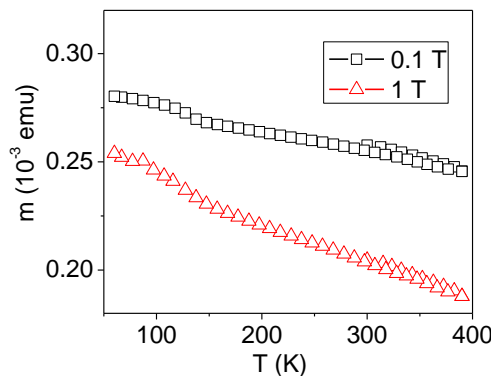
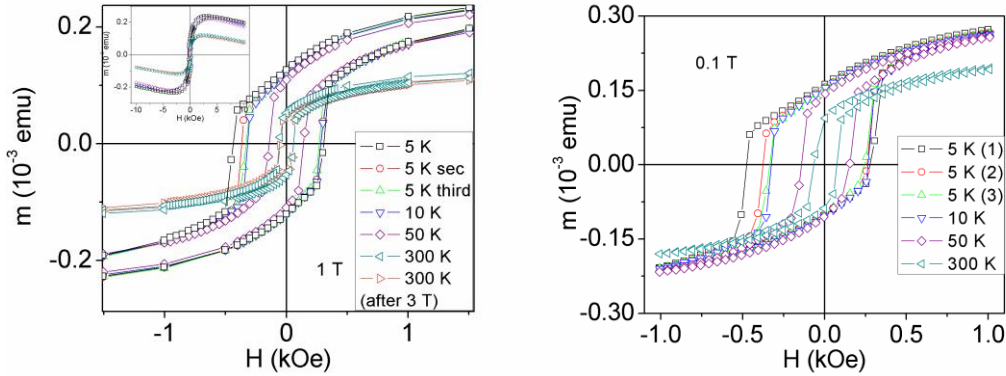
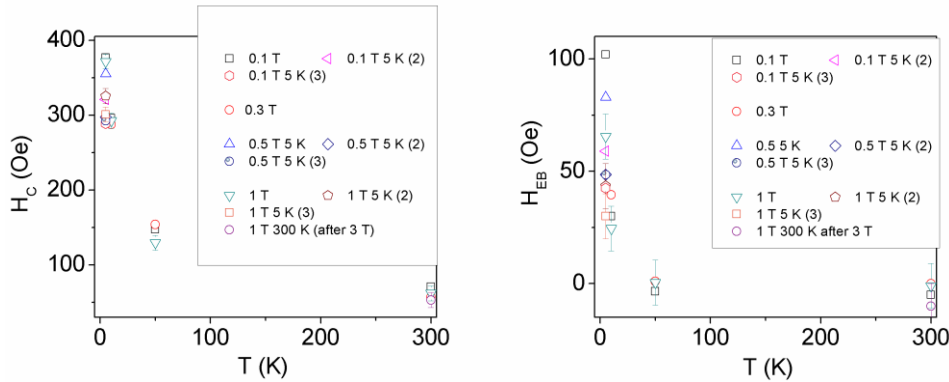


Figura ii. 3. Dependenta momentului magnetic de temperatura pentru proba STO(1 0 0)/SRO/BFO/Fe/FeNi, in camp magnetic aplicat de: 0.1 T si 1 T.

Faptul ca magnetizarea pe curba de racire este usor inferioara celei de pe curba de incalzire, arata predispozitia filmului BFO de a se afla in starea AF sub un camp crescut (daca sistemul se afla in apropierea temp de tranzitie). Argumentul este sustinut si de scaderea mai rapida a magnetizarii in proba pe care se aplica un camp mai mare. Se observa de asemenea metatranzitie spre o stare partial feromagnetica la o temp de aprox 120 K (raportata intr-unul din articolele precedente). De mentionat ca: (i) interpretam aceste comportari ca fiind legate de comportarea BFO si nu de cea a filmului de Fe si (ii) valoarea mai scazuta a magnetizarii in sistemul supus unui camp mai mare se datoreaza existentei unei componente diamagnetice provenind de la substrat.



**Figura ii.4.** Curbe de histerezis magnetic ale probei STO(1 0 0)/SRO/BFO/Fe/FeNi achizitionate la temperaturile: 5 K (3 cicluri consecutive), 10 K, 50 K si 300 K, dupa racirea in camp de 1000 Oe (stanga), respectiv 10.000 Oe (dreapta).



**Figura ii.5.** Dependenta de temperatura/training/camp de racire a cuplajului unidirectional de schimb al probei STO(1 0 0)/SRO/BFO/Fe/FeNi (stanga), respectiv a celui uniaxial (dreapta)

Curbele de histerezis obtinute la temperaturi crescatoare, dupa racirea in camp (0.1 T respectiv 1 T) pana la 5 K, sunt prezентate in fig ii4 (stanga si respectiv dreapta) . Ca o prima observatie este de mentionat deplasarea pronuntata a ciclului de histerezis la temp scazute, spre valori negative de camp, ceea ce implica existent unui fenomen de exchange-bias, ca dovada certa a existentei cuplajului interfacial intre cele doua paturi FM/FE. De mentionat ca la originea acestui cuplaj nu sta atat particularitatea de FE a filmului de BFO cat mai ales cea de AF (deci discutam de un cuplaj de schimb la interfata, de natura pur magnetica). Odata evideniat acest cuplaj se pune problema dependentei lui de temperatura, de marimea campului de raciere si respectiv de efectele de training. Acestea pot fi urmarite prin figurile ii.5 (stanga - dependenta campului de exchange bias, dreapta - dependenta coercitivitatii).

Sumarizat, aceste dependente indica urmatoarele: (i) cuplajul unidirectional este prezent numai pt temperaturi scazute (pana in 10 K), (ii) cuplajul unidirectional are un optim in functie de campul aplicat (el scade continuu pt raciri in campuri de peste 0.1 T) (iii) efectele de training au tendinta de saturare la valori maxime ale campului de exchange bias de aprox -50 Oe, (iv) este posibila obtinerea unor campuri de exchange bias pozitive daca racirea se face sub campuri foarte intense, (v) campul coercitiv scade foarte rapid cu temperatura pana in 50 K si mult mai lent peste 50 K, proband astfel variatia datorata unui cuplaj uniaxial la interfata. Valoarea campului coercitiv la camera de aprox 60 Oe dupa racierea in camp, comparata cu aprox aceeasi valoare inainte de racirea in camp, arata anularea oricarui tip de cuplaj interfacial (unidirectional sau uniaxial) la aceasta temperatura. Deoarece, pentru aplicatii ar fi de interes pastrarea acestui cuplaj (daca se poate, implicand ambele componente) inclusiv la camera, se vor cauta

posibilitati de preparare respective raciere adecvata in camp (spre exemplu, plecand de deasupra  $T_N$  sau aplicand campuri foarte mari.

### iii: Sistemul STO(1 0 0)/LSMO(x)/PZT/ $^{57}\text{Fe}$ (20 nm)

S-a intentionat studiul interfetei FE/FM atat prin observarea modificarilor magnetice cat si a fenomenelor de magneto-transport in filmul FM, induse de interfatarea cu filmul FE. Deoarece filmul LSMO din structura poate prezenta el insusi proprietati magneto-rezistive si respectiv magnetice, s-a inceput cu studiul filmului de baza LSMO, crescut pe STO. Pentru inceput s-a studiat un film de LSMO cu grosimea de 40 nm (s-au crescut prin PLD si sisteme cu grosimi de 20 si respectiv 100 nm). Masuratorile de magneto-transport s-au facut pe un sistem PPMS (Quantum Design), intr-un montaj in 4 puncte (in geometrie CIP), aplicand campul perpendicular pe planul probei si evident perpendicular pe directia de curgere a curentului. Masuratorile magnetice s-au facut pe SQUID.

Este cunoscut faptul ca oxidul cu structura perovskitica de tip LSMO prezinta pe de o parte un character de half metal (current polarizat de spin, cu potential ridicat de aplicare in spintronica), cu temperatura critica,  $T_C$ , spre dezordinea magnetica, deasupra temp camerei si pe de alta parte prezinta un efect interesant de magnetorezistenta colosală (CMR). Din pacate efectul de CMR implica aplicarea unor campuri mari, ceea ce limiteaza posibilele aplicatii. S-a raportat recent ca aceste sisteme pot prezenta si un efect de magnetorezistenta in campuri mici (interpretat ca un fenomen de magnetorezistenta legat de anizotropia magnetica -AMR-). In timp ce existenta fenomenului de CMR a fost atribuita imprastierii electronilor polarizati pe momentele locale din interiorul grauntilor magnetici, existenta fenomenului de AMR a fost atribuita imprastierii electronilor polarizati pe marginea grauntilor ordonati magnetic. Cum in prezenta campurilor mari apropierea de temperatura critica permite usor maximalizarea momentului magnetic pe unitatea de formula, este de asteptat ca efectul CMR sa creasca in apropierea tranzitiei, in timp ce in campuri mici, apropierea de temp critica reduce momentul magnetic pe graunte si ca urmare si efectul AMR. Cu mentiunea ca existent unui cuplaj magneto-electric ar influenta mult mai usor starea de magnetizare a grauntelui magnetic comparativ cu modificarea comportarii momentului magnetic localizat, este evident faptul ca un astfel de efect s-ar simti mai usor la nivelul modificarii efectului AMR. Pentru a studia acest aspect, s-a incercat initial gasirea temperaturii de tranzitie pe filme LSMO puternic texture (prin masuratori termomagnetice) si abia apoi observarea efectelor magnetorezistive in astfel de structuri simple, de tip STO/LSMO (rezultate obtinute pe proba CP-32). Curbele termomagnetice arata scaderea magnetizarii la zero la o temperatura  $T_C$ , de aprox 350 K, ceea ce a condus la idea analizei caracteristicilor de MR putin sub aceasta temperatura.

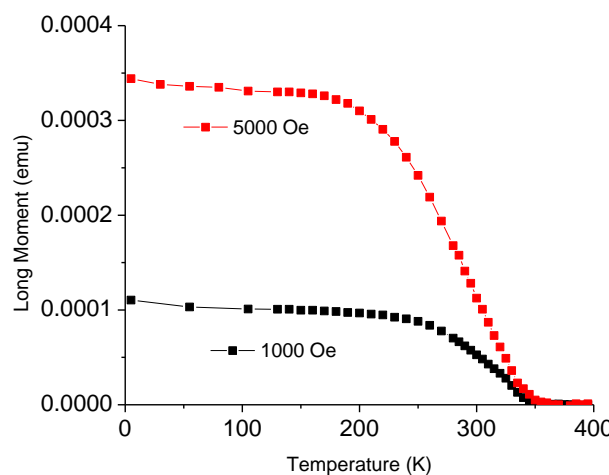
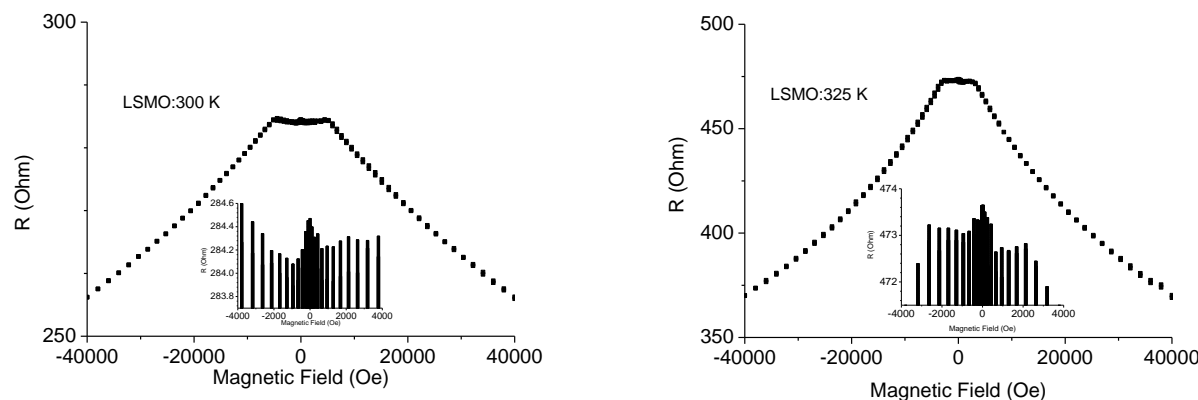
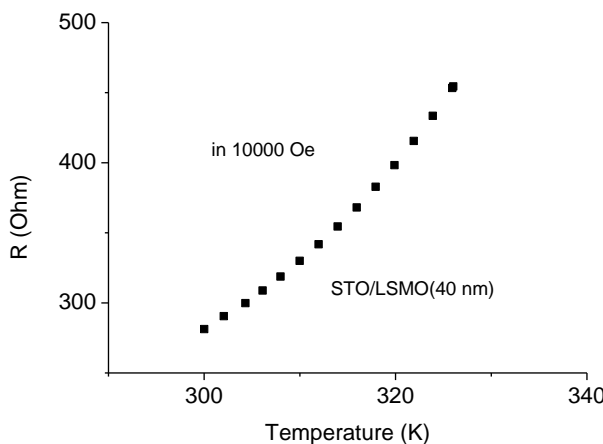


Fig. iii.1. Curbe termomagnetice (in 2 campuri aplicate) obtinute pe o structura de tip STO/LSMO (rezultate obtinute pe proba CP-32).

Evolutiile rezistentei in functie de campul aplicat la 2 temperaturi (300 K si 325 K) sunt prezentate in Fig. iii.2 (stanga, respective dreapta).



Figurile iii.2 evidențiază clar un efect CMR care crește cu creșterea temperaturii (de la aprox 10% în camp de 4 T, la 300 K, la aprox 28% la 325 K), dar și un efect AMR, care se manifestă la campuri de sub 500 Oe (vezi inseturi) și care variază foarte puțin cu temperatura, scăzând de la aprox 0.09% la 300 K la aprox 0.08% la 325 K. Ambele efecte sunt legate de existența electronilor polarizați și pot avea aplicații potențiale în condițiile maximalizării lor prin optimizarea sistemului respectiv. Ca idee generală, efectul AMR ar trebui să fie cu atât mai puternic cu cat crește densitatea de grauni perovskitici în film, pe direcția de curgere a curentului. Existența curentului de electroni polarizați (și caracterul half-metalic) este de asemenea probată și de evoluția rezistentei sistemului în funcție de temperatură, prezentată în fig. iii.3.



Deoarece este de așteptat ca efectul interfetei FM/FE să fie mult mai pronunțat pe procesul de AMR decât pe cel de CMR, iar efectul AMR este foarte mic în filmul de LSMO interfărat cu filmul FE, s-a considerat ca un studiu mai eficient să poată face pe un alt doilea electrod, care să prezinte un efect AMR clasic și anume pe un film de Fe depus pe PZT.

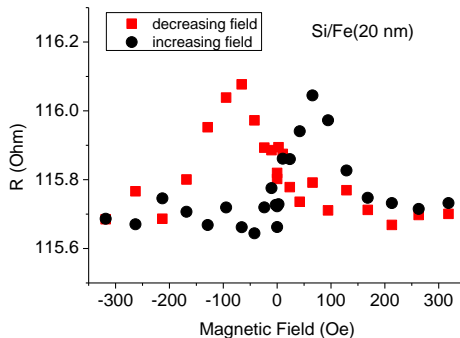


Figura iii.4: Dependenta rezistentei de campul aplicat, pe un film de Fe(20nm) depus pe Si.

Filmul de Fe(20 nm) s-a depus prin rf sputtering pe o structura STO/LSMO/PZT, depusa prin PLD. Pentru referinta s-a luat cazul unui film de Fe(20nm) depus in conditii identice, dar pe substrat de Si. Pe acesta s-a observat la camera un efect MR de aprox 0.2 %, deci dublu fata de sistemul LSMO (fig iii.4). Din pacate, pe sistemul similar de tip PZT/Fe(20nm), nu s-a putut obtine nici un efect MR in limita rezolutiei experimentale), aplicandu-se campul atat perpendicular cat si paralel cu planul filmului (conditii de masura identice cu cazul cazul filmului de Si/Fe(20 nm)). De fapt, dependenta rezistentei de temperatura, obtinuta pe acest sistem si prezentata in figura iii.5 (stanga), indica clar pierderea caracterului metalic al filmului de Fe, cel mai probabil datorita prezentei unei interfete foarte defecte.

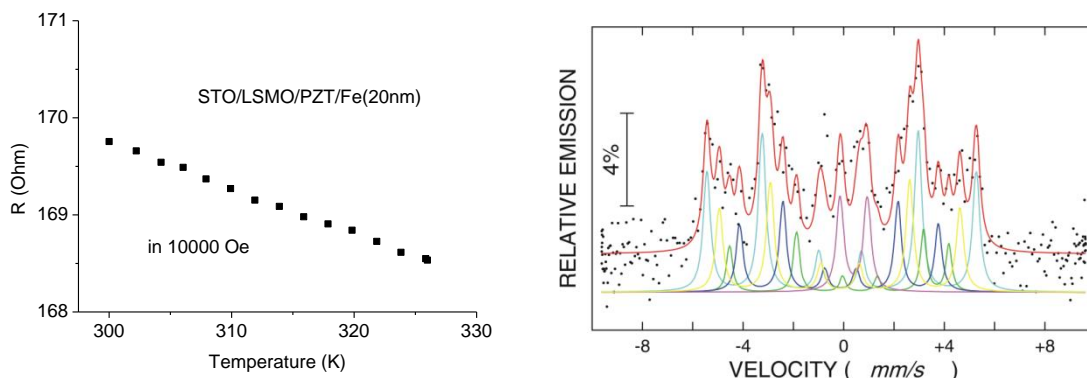


Fig.iii.5: Dependenta rezistentei functie de temperatura pe filmul de Fe crescut pe PZT (stanga) si respectiv spectrul CEMS obtinut pe un astfel de film (dreapta).

Pentru a sonda aspectele microscopice ale interfetei FM/FE s-a acumulat spectrul CEMS (figura iii.5 (dreapta)). Acesta arata clar ca pe langa prezenta sextetului cu parametrii hiperfini specifici Fe bcc (in proportie de numai 35%), sunt prezente retele magnetice specifice unor faze de fier puternic impurificate cu alte elemente tranzitionale provenite din FE (in proportie spectrala de 55%), ca si o fractie de 10% de  $\text{Fe}^{3+}$ , datorata difuziei Fe metallic in Fe. Ca urmare, interfata acestui sistem este deosebit de proasta, datorita interdifuziei atomice intre filmele FE si FM, ceea ce explica pe de o parte pierderea caracteristicilor metalice ale filmului FM si pe de alta parte sugereaza imposibilitatea introducerii oricarui tip eficient de cuplaj. In acest sens, cercetarile ulterioare vor fi indreptate in sensul optimizarii calitatii interfetei in astfel de sisteme.

#### Echipa 4 (responsabil Mihaela Baibarac)

Echipa 4 a contribuit parțial la ambele obiective, studiile s-au concentrat pe înțelegerea fenomenelor care au loc la interfața între un oxid polar și alt material. Rezultatele sunt prezentate mai jos.

In aceasta etapa atenția este focalizată pe studiul proprietăților optice ale nanoparticulelor de ZnO sintetizate prin: i) oxidarea electrochimică a aliajului de ZnMn și ii) prin reacția hidrotermală în prezența fulerenelor ( $C_{60}$ ). Cele două metode de sinteză conduc la particule de ZnO unidimensionale de tip “needles” și respective flori, a căror proprietăți optice sunt studiate prin spectroscopie Raman, fotoluminescentă și microscopie electronică de baleaj (SEM). În conformitate cu studiile prezentate mai jos sinteza electrochimică conduce la ZnO dopat cu Mn în timp ce sinteza hidrotermală conduce la compozite de tip ZnO/ $C_{60}$ .

#### **2.1 Proprietățile optice ale particulelor de ZnO sintetizate în prezența $C_{60}$**

Sinteza compozitelor bazate pe nanoparticule de ZnO și nanoparticule de carbon, cum sunt: nanotuburile de carbon cu mai mulți pereti [1], nanotuburile de carbon cu un singur perete [2, 3], grafena [4] și fulerena [5] și studiul proprietăților optice este un subiect de cercetare dezvoltat începând cu anul 2002. Interesul pentru aceste materiale compozite a avut în vedere aplicării în domeniul senzorilor cu gaz [6], bateriilor reincarcabile cu ioni de litiu [7], photocatalizei [8], supercapacitorilor [9, 10], celulelor solare [11, 12], dispozitivelor fotovoltaice hibride organic/anorganic [13], etc. Principalele metode de preparare a compozitelor de tip ZnO/ $C_{60}$  folosite până în prezent sunt: i) interacția chimică la temperatură de  $700^{\circ}\text{C}$  a nanofirelor de  $C_{60}$  cu particule de ZnO sintetizate prin metoda sono-chimică [14-16]; ii) dispersarea pudrei de ZnO în soluția de toluen cu  $C_{60}$  urmată de evaporarea toluenului la  $80^{\circ}\text{C}$  [5] și iii) depunerea de  $C_{60}$  prin spin-coating pe nanofire de ZnO, folosind o soluție de  $C_{60}$  în clorobenzen [13]. Tehnicile experimentale cel mai des folosite pentru caracterizarea compozitelor de tip ZnO/ $C_{60}$  obținute prin intermediul metodelor de preparare menționate mai sus sunt: microscopie electronică de baleaj (SEM), difracția de raze X (XRD), spectroscopii de absorbție UV-VIS și FTIR, difuzia Raman și fotoluminescentă (PL). [5, 13-15] Cele trei tipuri de compozite preparate prin metodele descrise în Ref. [5, 13-15] sunt: i) filme de  $C_{60}$  adsorbite fizic pe nanoparticule de ZnO [13], ii) nanoparticule de ZnO sub formă de fire înconjurate de fragmente de  $C_{60}$  [14-16] și iii) nanoparticule de ZnO hibridizate cu  $C_{60}$  ca rezultat al transferului parțial de electroni de la ZnO la  $C_{60}$  evidențiat prin schimbarea caracteristicilor vibrionale ale  $C_{60}$  [5]. În comparație cu aceste studii, în prezentul raport va fi studiată influența adăugării fulerenelor în timpul creșterii particulelor de ZnO cu structură unidimensională precum și proprietățile optice ale materialului compozit obținut. În acest scop vor fi efectuate studii de microscopie electronică de baleaj (SEM), fotoluminescentă și difuzie Raman. Studiile prezentate demonstrează că adăugarea  $C_{60}$  în timpul sintezei structurilor unidimensionale de ZnO etichetate ca “nano-needles” conduce la schimbarea structurii morfologice a particulelor de ZnO, obținându-se structuri morfologice de tip flori. Organizarea nanoparticulelor de ZnO de tip “nano-needles” în flori are ca origine formarea unui produs de reacție secundar, de tipul oxid de fulerena ( $C_{60}\text{O}$ ,  $C_{120}\text{O}$ ), care era obținut prin oxidarea în aer a produsului intermedian  $\text{ZnC}_{60}$ . Pentru explicarea procesului de asamblare a nanoparticulelor de ZnO în prezența  $C_{60}$  în structuri morfologice de tip flori se propune un mecanism chimic pentru formarea compozitului ZnO/ $C_{60}$ .

În acest context, creșterea nanofirelor de ZnO a fost realizată conform procedurii descrise în Ref. 17. Pentru sinteza compozitelor ZnO/ $C_{60}$  a fost utilizată o procedură similară, diferență constând în adăugarea de  $C_{60}$  la amestecul de reacție. Pe scurt, cantități diferite de  $C_{60}$ , cca. 2 și respectiv 10 mg, au fost adăugate la două soluții apoase de 5 ml de dodecil sulfat de sodiu (SDS) 0.2M care au fost ulterior ultrasonate pentru 30 de minute. Fiecare soluție apoasă de  $C_{60}$ -SDS a fost amestecată cu o soluție de NaOH (30 ml, 4M), urmand să fie adăugată prin picurare la soluția apoasă de  $\text{ZnCl}_2$  (20 ml, 1M) și pastrată pentru 15 minute la  $3^{\circ}\text{C}$  sub agitare. În continuare, cele două amestecuri de reacție au fost diluată cu 50 ml apă și agitată la temperatură camerei pentru 1.5 ore. Amestecurile de reacție au fost lăsată timp de 5 ore la  $85^{\circ}\text{C}$  iar precipitatul de culoare albă a fost filtrat și ulterior spălat cu apă deionizată. Compusul

rezultat corespunde unui amestec de C<sub>60</sub> si Na<sub>2</sub>Zn(OH)<sub>4</sub> [17]. Pentru a obtine ZnO, pudra compusa din Na<sub>2</sub>Zn(OH)<sub>4</sub> si C<sub>60</sub> a fost supusa uscarii la temperatura de 100°C. In final, in prezenta a 2 si respectiv 10 mg de C<sub>60</sub>, au fost obtinute cca 0.398 g si respectiv 0.416 g de material compozit. Concentratia C<sub>60</sub> in materialele compozite ZnO/C<sub>60</sub> este de 0.5 si respectiv 2.5 %. Aceste probe au fost etichetate ca proba A si respectiv proba B. Alte probe preparate in cadrul acestui raport au fost:

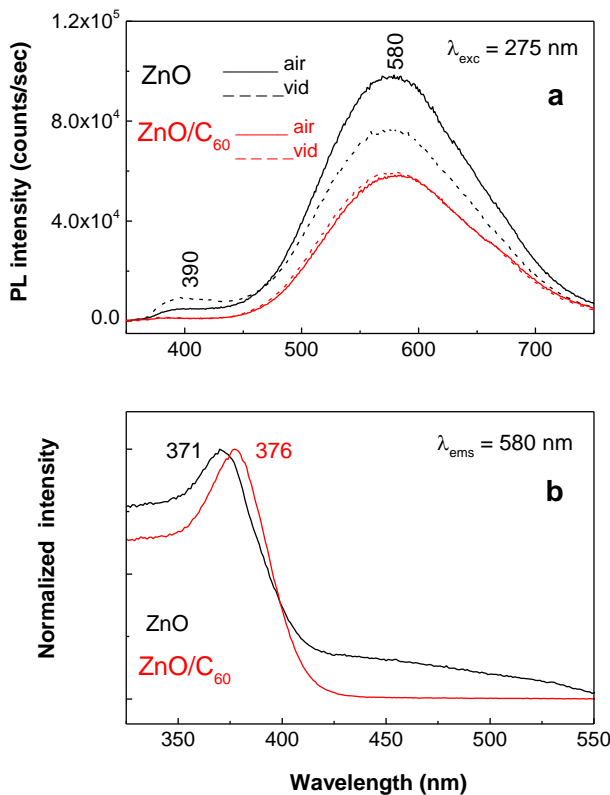
- i) probe obtinute prin interactia chimica in faza solida a C<sub>60</sub> (2 mg) cu Na<sub>2</sub>Zn(OH)<sub>4</sub> (0.2 g) care au fost etichetate ca probe C.
- ii) probe obtinute prin interactia mecano-chimica a C<sub>60</sub> cu nanoparticulele de ZnO si respectiv cu pudra de Zn prin compresie nehidrostatica timp de 5 minute la o presiune de 0.58 GPa cand au fost obtinute probe sub forma de placete. Probele denumite D, E si F corespund plachetelor de ZnO cu concentratia de C<sub>60</sub> de 0.5, 1 si respectiv 5%. Probele G, H si J corespund plachetelor de Zn avand concentratia de C<sub>60</sub> de 0.125, 0.25 si respectiv 0.5 %.

Spectrele Raman ale compozitelor ZnO/C<sub>60</sub> rezultate din interactia chimica/mecano-chimica a C<sub>60</sub> cu Na<sub>2</sub>Zn(OH)<sub>4</sub>, cu nanoparticulele de ZnO sau cu pudra de Zn au fost inregistrate intr-o geometrie "backscattering" la lungimea de unda de excitare de 1064 nm folosind un spectrofotometru FT Raman de la Bruker, model RFS 100.

Spectrele de fotoluminescenta (PL), incluzand spectrele de emisie si de excitare, au fost inregistrate la temperatura camerei (RT) in geometrie la unghi drept folosind un spectrofotometru Fluorolog-3 de la Horiba Jobin Yvon, model FL 3-22.

Imaginiile SEM ale particulelor de ZnO cu structura morfologica unidimensională si respectiv de tip floare au fost inregistrate folosind un microscop Philips SEM 505.

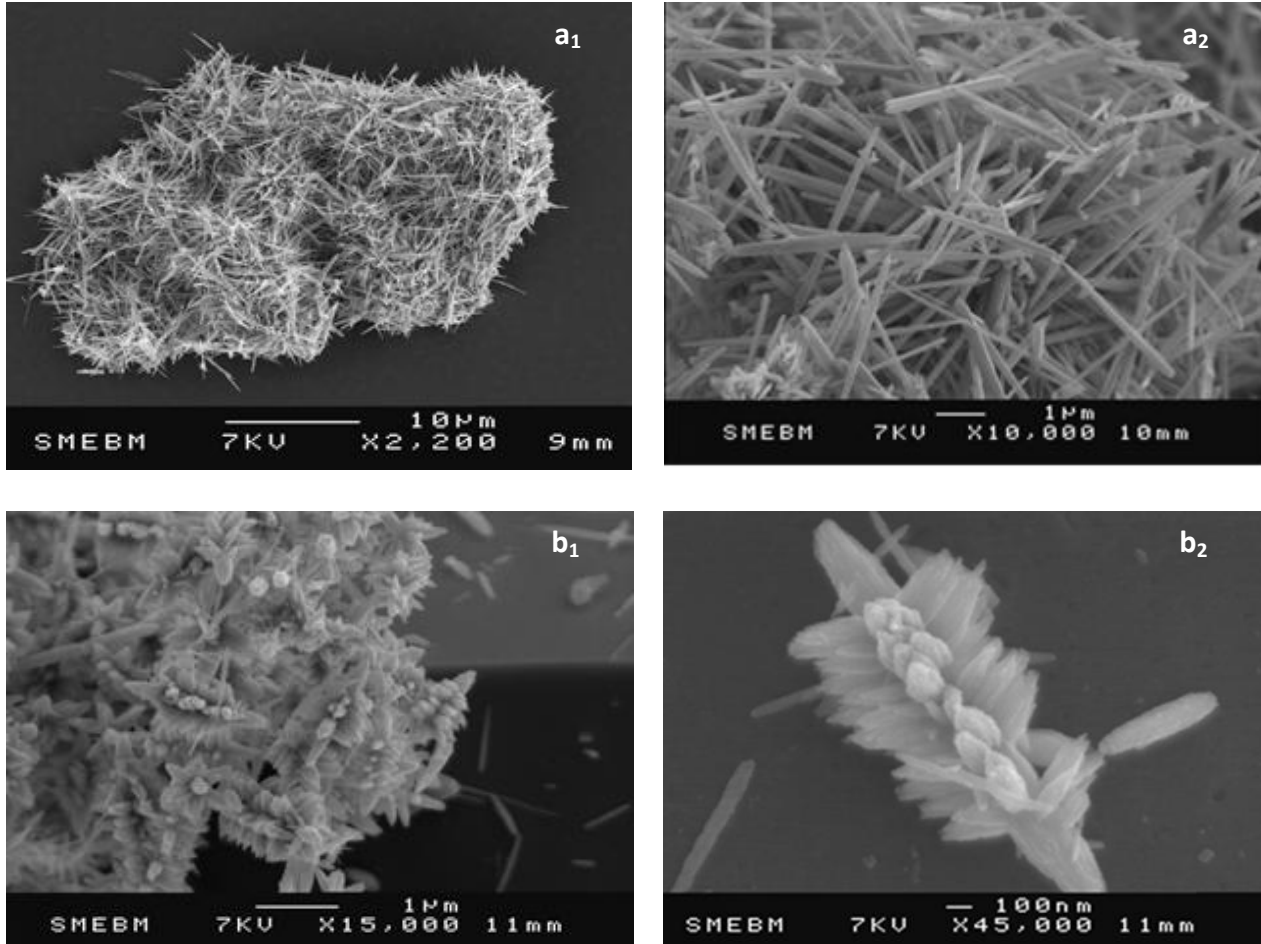
Cunoasterea procesului de crestere a particulelor de ZnO in prezenta C<sub>60</sub> cat si a proprietatilor optice caracteristice acestor tipuri de structuri deschide noi oportunitati in domeniul aplicatiilor. Fig. 1a prezinta spectrele de PL ale nanoparticulelor unidimensionale de ZnO si ale compozitului ZnO/C<sub>60</sub>. Conform Fig. 1a, forma spectrelor de PL a celor doi compusi este similara, fiecare spectru fiind caracterizat printr-o banda de emisie la 390 nm (3.18 eV) de intensitate mica si o banda de emisie cu maximul la 590 nm (2.1 eV) de intensitate mare. Banda PL de la 3.18 eV este asociata recombinarii excitonilor [18, 19], iar banda de PL larga de la 2.1 eV poate fi descompusa in doua componente in verde si portocaliu. Banda de PL de la 3.18 eV isi are originea in recombinarea radiativa a purtatorilor de sarcina liberi capturati in diferitele defecte ale cristalului de volum si suprafața [20-25]. Emisia in verde este asociata vacantelor de oxigen cat si deficiențelor de oxigen [20-24], iar emisia in portocaliu este datorata excesului de oxigen si zincului interstitial [24, 25].



**Fig.1** Spectrele de fotoluminescenta ale nanofirelor de ZnO (curbele negre) si ale particulelor de ZnO de tip floare sintetizate in prezenta C<sub>60</sub> (curbele rosii) inregistrate la lungimea de excitare de 275 nm in aer si vid (a). Spectrele de excitare ale nanoparticulelor ZnO de tip ‘needle’ si floare sintetizate in prezenta C<sub>60</sub> inregistrate la lungimea de unda de emisie 580 nm (b)

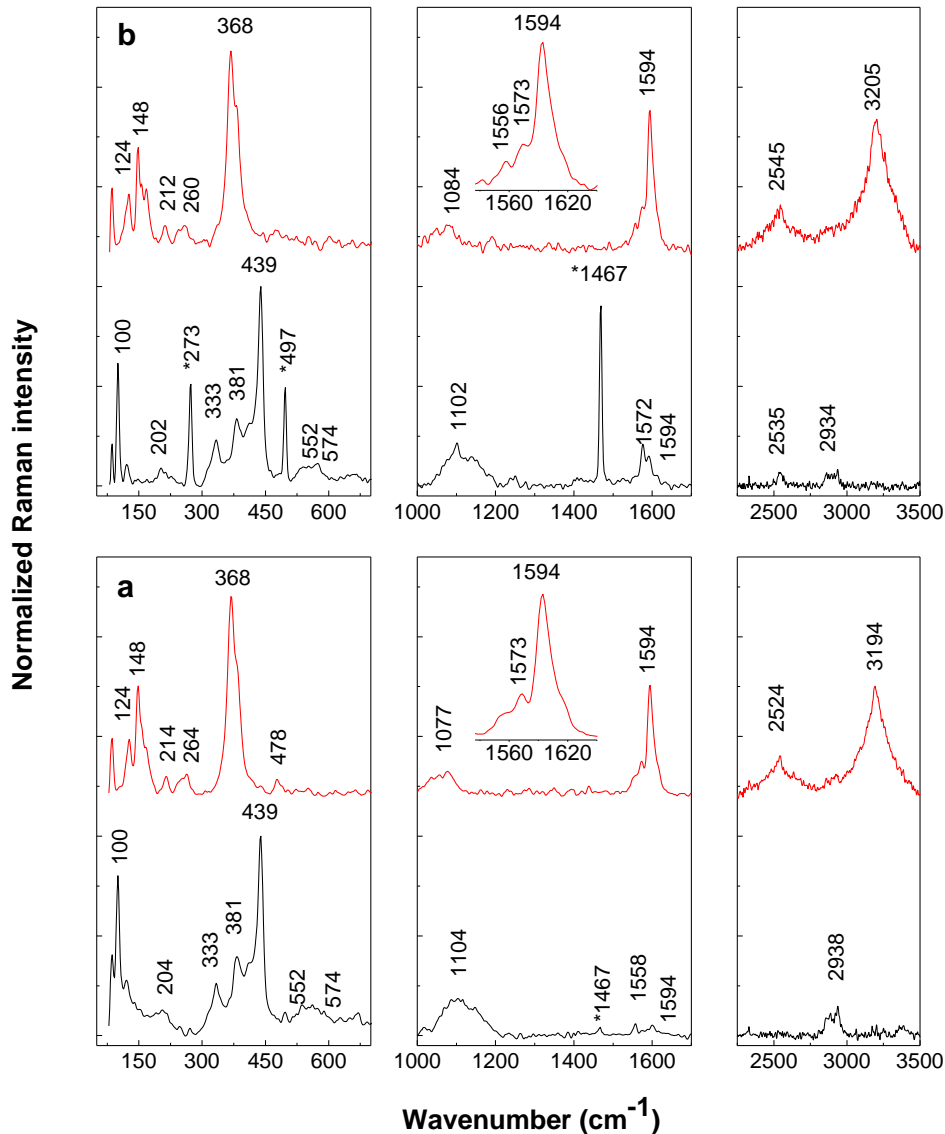
In Fig. 2a este ilustrata variatia spectrelor PL ale nanoparticulelor uni-dimenionale de ZnO prin procesul de desorbtie a oxigenului de la suprafata particulelor. Acest tip de variatie este ilustrat prin masuratori succesive efectuate la temperatura camerei (RT) in aer si in vid ( $5.4 \times 10^{-5}$  mbar). Scaderea intensitatii PL cand spectrele de emisie sunt inregistrate la presiunea de  $5.4 \times 10^{-5}$  mbar este datorata inlaturarii moleculelor de oxigen adsorbite la suprafata particulelor, fapt care conduce la reducerea numarului de centrii de captura ai electronilor si golorilor. In cazul particulelor de ZnO sintetizate in prezenta C<sub>60</sub> se observa un comportament diferit. In acest ultim caz, invarianta intensitatii PL atunci cand masuratorile sunt efectuate in aer sau la presiunea de  $5.4 \times 10^{-5}$  mbar indica absenta centrilor de recombinare la suprafata particulelor de ZnO. Aceasta inseamna ca centrii de captura a oxigenului din aer sunt inhibati prin prezenta C<sub>60</sub>. Acest rationament este sustinut prin modificarea spectrelor de excitare a PL care sunt prezentate in Figura 1. Deplasarea spectrului de excitare a PL de la 3.31 la 3.29 eV, observata atunci cand C<sub>60</sub> este adaugat matricei de ZnO, indica o crestere a dimensiunii nanoparticulelor de ZnO. Cresterea in volum a particulelor de ZnO induce atat o deplasare spre valori mai mici a limitei benzii de absorbtie fundamentala cat si o intensitate mai mica a cozii de stari ca rezultat al eliminarii defectelor de suprafata (Figura 1b).

Influenta C<sub>60</sub> asupra formei particulelor ZnO este demonstrata in Fig. 2, prin imaginile SEM ale particulelor de ZnO sintetizate in absenta (a<sub>1</sub>, a<sub>2</sub>) si respectiv in prezenta a 10 mg C<sub>60</sub> (b<sub>1</sub>, b<sub>2</sub>).



**Fig.2** Imaginile SEM ale nano-particulelor de ZnO sintetizate in absenta C<sub>60</sub> (**a<sub>1</sub>**, **a<sub>2</sub>**) si respectiv in prezenta C<sub>60</sub> (**b<sub>1</sub>**, **b<sub>2</sub>**).

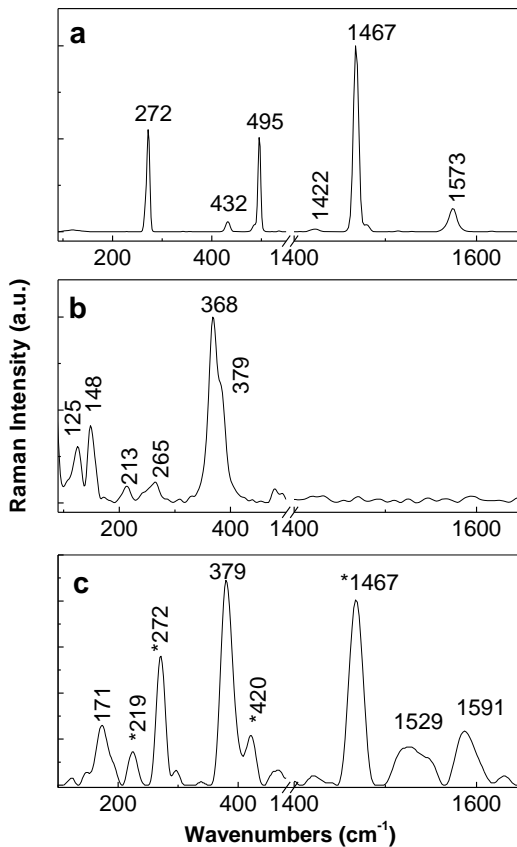
Figurile 2 a<sub>1</sub>, a<sub>2</sub> prezinta probele de ZnO sintetizate in absenta C<sub>60</sub> care au forma de structuri unidimensionale de diferite lungimi cu diametre de aproximativ 100 nm. Acum rezultat este in concordanță cu studiile descrise in Ref. 7 si 17. Fig 2 b<sub>1</sub>, b<sub>2</sub> evidențiază structura morfologică de tip floare a particulelor de ZnO sintetizate in prezenta C<sub>60</sub>. O evidență a prezentei C<sub>60</sub> in matricea de ZnO este prezentată in cele ce urmează prin spectroscopie Raman, Fig. 3.



**Fig.3** Spectrele Raman ale probelor A (a) si B (b) inregistrate la lungimea de unda de excitare de 1064 nm in etapele formarii  $\text{Na}_2\text{Zn}(\text{OH})_4$  in prezenta  $\text{C}_{60}$  (curbele de culoare rosie) si dupa tratamentul termic al celor doua compozite la  $100^{\circ}\text{C}$  in aer (curbele negre).

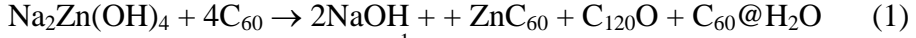
Curbele negre in Fig. 3a si b corespund spectrelor Raman ale probelor A si B. Liniile Raman asociate maximelor de la  $100$ ,  $202$ - $204$ ,  $333$ ,  $381$ ,  $439$ ,  $552$ ,  $574$  si  $1102$ - $1104\text{ cm}^{-1}$  sunt caracteristice  $\text{ZnO}$  si sunt atribuite urmatoarelor moduri vibrationale:  $\text{E}_2$ (frecventa joasa),  $2\text{E}_2$  (frecventa joasa), proces de imprastiere cu mai multi fononi ( $\text{E}_2$ (frecventa inalta)-  $\text{E}_2$ (frecventa joasa)),  $\text{A}_1(\text{TO})$ ,  $\text{E}_2$ (frecventa inalta),  $2\text{B}_1$ (frecventa joasa),  $\text{A}_1(\text{LO})$  si modul  $2\text{B}_1$ (frecventa joasa) amplificat [26]. Liniile Raman de la  $273$ ,  $497$ ,  $1467$  si  $1558$ - $1572$   $2934$ - $2938\text{ cm}^{-1}$  observate pe curbele negre in Fig. 3, apartin  $\text{C}_{60}$ , fiind atribuite urmatoarelor moduri vibrationale:  $\text{H}_g(1)$ ,  $\text{A}_g(1)$ , ciclul pentagonal  $\text{A}_g(2)$  si respectiv  $\text{H}_g(8)$  [27]. In conformitate cu studiile anterioare cu privire la agregarea  $\text{C}_{60}$  [28], benzile Raman situate la  $2934$ - $2938$  si  $2535\text{ cm}^{-1}$ , avand valori mici ale intensitatilor relative (curba neagra in Fig. 3b), apartin agregatelor  $\text{C}_{60}$ . In acest context este important a mentiona prezena umarului de la  $1594\text{ cm}^{-1}$  asociat liniei Raman de la  $1572$ - $1558\text{ cm}^{-1}$ . Linia Raman de la  $1594\text{ cm}^{-1}$  este observata a fi mai intensa in cazul formarii  $\text{Na}_2\text{Zn}(\text{OH})_4$ . In aceasta etapa a studiilor noastre este important a nota ca linia Raman de la  $1594\text{ cm}^{-1}$  nu apartine  $\text{ZnO}$ ,  $\text{Na}_2\text{Zn}(\text{OH})_4$ ,  $\text{Zn}(\text{OH})_2$  sau a moleculelor izolate de  $\text{C}_{60}$ . Principalele liniile Raman ale

$\text{Na}_2\text{Zn}(\text{OH})_4$  (curbele rosii din Fig. 3a si b) sunt situate la aprox 124, 148, 212/214-260/264, 368-373, 1077-1084 si 3194-3205  $\text{cm}^{-1}$  si sunt asociate modurilor vibrationale de dedeformarea Zn-O, de translatia  $\text{H}_2\text{O}$ , de rotatia HOH, modul de intindere simetrica  $\nu$ - $\text{ZnO}_6$ , modului de oscilatie a ionilor  $\text{OH}^-$  si vibratiile de intindere ale apei [29-32]. Banda Raman situata in domeniul spectral 2250-2750  $\text{cm}^{-1}$  avand maximul la cca. 2524 / 2545  $\text{cm}^{-1}$  (curba rosie in Fig. 3) in cazul probelor A si respectiv B, nu apartin  $\text{Na}_2\text{Zn}(\text{OH})_4$  sau  $\varepsilon\text{-Zn}(\text{OH})_2$  [29]. Aceasta banda a fost adesa raportata ca fiind o caracteristica vibrationala a agregarii  $\text{C}_{60}$  in diferiti compusi organici prezentand grupuri functionale de tip amina si amida. [28] La prima vedere, valoarea mai mare a intensitatii liniei Raman de la 1594  $\text{cm}^{-1}$  (curba rosie in Fig. 3) indica o interactie chimica intre  $\text{Na}_2\text{Zn}(\text{OH})_4$  si fulerena. Pentru a demonstra aceasta ipoteza, Fig. 4c ilustreaza spectrul Raman al compusului rezultat din interactia chimica dintre  $\text{Na}_2\text{Zn}(\text{OH})_4$  si  $\text{C}_{60}$ . In Fig. 4a sunt ilustrate liniile Raman caracteristice  $\text{C}_{60}$  avand maximele situate la: 272, 432, 495, 1422, 1467 si 1573  $\text{cm}^{-1}$ , care sunt asociate modurilor vibrationale  $H_g(1)$ ,  $H_g(2)$ ,  $A_g(1)$ ,  $H_g(7)$ ,  $A_g(2)$  si respectiv  $H_g(8)$  [27]. Interactia  $\text{Na}_2\text{Zn}(\text{OH})_4$  cu  $\text{C}_{60}$  conduce la urmatoarele modificari in spectrele Raman ale celor doi constituenti (Fig. 4): i) o deplasare catre energii mari a liniilor Raman ale  $\text{Na}_2\text{Zn}(\text{OH})_4$  de la 148 si 213  $\text{cm}^{-1}$  (Fig.4b) la 171 si respectiv 219  $\text{cm}^{-1}$  (Fig.4c); ii) o deplasare catre energii mici a liniei Raman a  $\text{C}_{60}$  de la 432  $\text{cm}^{-1}$  (Fig. 4a) la 420  $\text{cm}^{-1}$  (Fig.4c); iii) conform Fig. 4b, banda Raman complexa a  $\text{Na}_2\text{Zn}(\text{OH})_4$ , situata in domeniul spectral 325-420  $\text{cm}^{-1}$ , este formata din doua linii cu maximele la 368 si 379  $\text{cm}^{-1}$  caracterizate printr-un raport al intensitatilor relative de 1:0.6. Conform Fig.4c, interactia  $\text{Na}_2\text{Zn}(\text{OH})_4$  cu  $\text{C}_{60}$  conduce la disparitia liniei Raman de la 368  $\text{cm}^{-1}$ , cea mai intensa linie Raman fiind aceea situata la 379  $\text{cm}^{-1}$  si iv) Fig. 4c prezinta de asemenea aparitia a doua benzi Raman in domeniul spectral 1500-1650  $\text{cm}^{-1}$ , cu maximele la 1529 si 1591  $\text{cm}^{-1}$ .

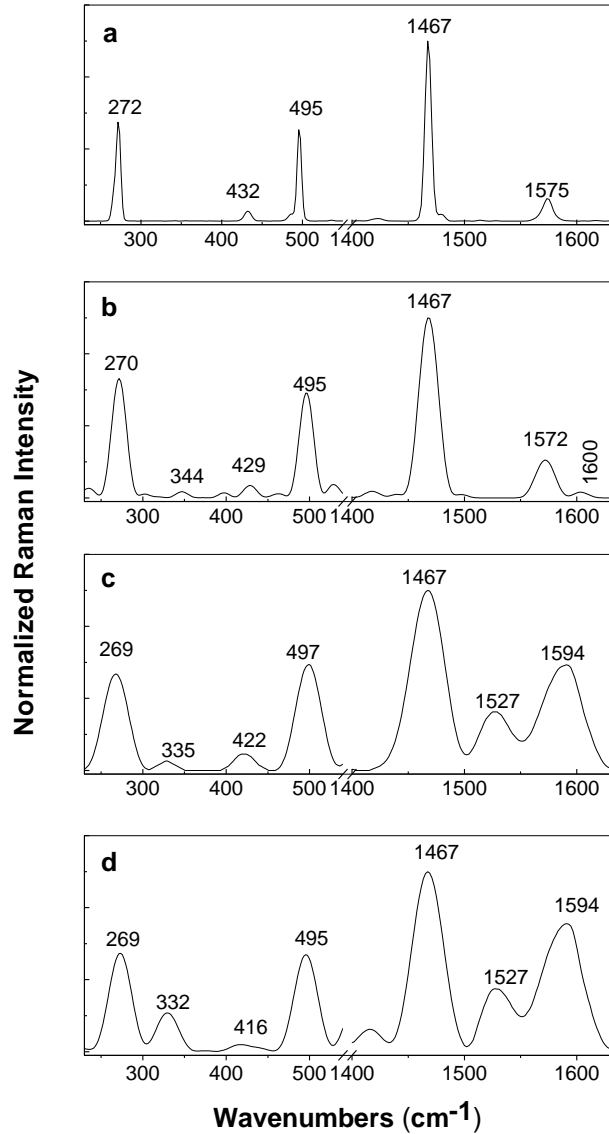


**Fig.4** Spectrele Raman la  $\lambda_{\text{exc}} = 1064 \text{ nm}$  ale  $\text{C}_{60}$  (a),  $\text{Na}_2\text{Zn}(\text{OH})_4$  (b) si rezultat prin interactia chimica a  $\text{Na}_2\text{Zn}(\text{OH})_4$  cu  $\text{C}_{60}$  (c).

Aceste modificari indica faptul ca reactia chimica dintre cei doi constituenti are loc conform ecuatiei (1) :



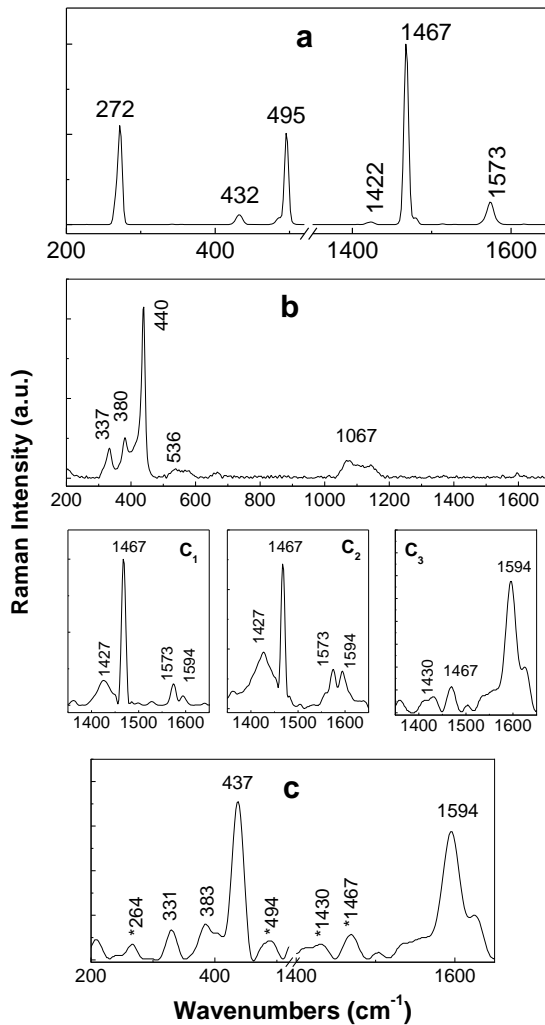
Disparitia liniei Raman de la  $368\text{ cm}^{-1}$  asociata modui vibrational de translatie a moleculei de  $\text{H}_2\text{O}$  cat si deplasarea spre energii mici a liniei Raman asociata modului vibrational  $\text{H}_g(2)$  ( $432\text{ cm}^{-1}$ ) al  $\text{C}_{60}$  confirmă formarea unor molecule izolate de  $\text{C}_{60}$  in stare hidratata, notată  $\text{C}_{60}@\text{H}_2\text{O}$  [33]. Spectrele Raman ale oxidului de fulerena  $\text{C}_{120}\text{O}$  este identic cu cel al  $\text{C}_{60}$  izolat [34]. Referitor la liniile Raman de la  $1529$  si  $1591\text{cm}^{-1}$ , acestea apartin compusului  $\text{ZnC}_{60}$ . Aceasta afirmatie este sustinuta de Fig. 5, in care sunt prezentate spectrele Raman ale Zn interactionat mecano-chimic cu  $\text{C}_{60}$ .



**Fig.5** Spectrele Raman la  $\lambda_{\text{exc}} = 1064\text{ nm}$  ale  $\text{C}_{60}$  (a) si ale compozitelor notate cu J (b), H (c) si G(d) rezultate prin interactia mecanico-chimice a Zn cu  $\text{C}_{60}$ .

Prezenta liniilor Raman de la  $1529$  si  $1591\text{ cm}^{-1}$  in Fig. 5 este insotita de o deplasare graduala spre energii mici a liniei Raman a  $\text{C}_{60}$  atribuita modului vibrational  $\text{H}_g(2)$  de la  $432$  la  $416\text{ cm}^{-1}$  simultan cu aparitia unei linii noi Raman cu maximul la aproximativ  $332$ - $344\text{ cm}^{-1}$ . Linia Raman, situata in domeniul  $300$ - $350\text{ cm}^{-1}$ , este caracteristica  $\text{C}_{60}$  adsorbite pe diferite suprafete metalice (de exemplu suportul de Au, Ref. 32), aceasta fiind asociata modului vibrational metal-fulerena [35]. Acest detaliu este un argument convingator pentru a considera prezenta liniei Raman de la  $332$ - $344\text{ cm}^{-1}$  ca dovada a existentei modului

vibrational de interfata Zn-C<sub>60</sub> in compusul ZnC<sub>60</sub>. O concluzie privind rezultatele de mai sus este ca compusul ZnC<sub>60</sub> este caracterizat prin liniile Raman avand maximele la 332-344, 416, 1529 si 1591 cm<sup>-1</sup>. Revenind la Fig. 3, prezenta umarului de la 1591 cm<sup>-1</sup> poate fi explicata fie ca un rezultat al oxidarii parțiale a compusului ZnC<sub>60</sub> in urma unui tratament termic la 100 °C, fie ca o interacție dintre ZnO si C<sub>60</sub>. Pentru a argumenta cea de-a doua afirmație, în Fig. 6 sunt reprezentate spectrele Raman ale nanoparticulelor de ZnO interactionate mecano-chimic cu C<sub>60</sub>.



**Fig.6** Spectrele Raman la  $\lambda_{exc} = 1064$  nm ale C<sub>60</sub> (a), nanoparticulelor de ZnO (b) si ale compozitului D (c) rezultat din interacția mecano-chimica a ZnO cu C<sub>60</sub>. Figurile c<sub>1</sub>, c<sub>2</sub> si c<sub>3</sub> prezintă modificarea spectrelor Raman în domeniul spectral 1300-1700 cm<sup>-1</sup> în cazul compozitelor notate cu F, E si D.

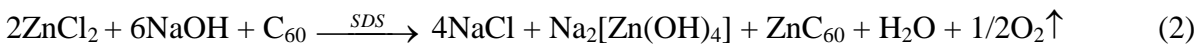
Cele mai importante variații induse în spectrele Raman ale celor doi constituenți în urma interacției mecano-chimice a nanoparticulelor de ZnO și diferențele cantității de C<sub>60</sub> sunt înregistrate în domeniul spectral 1350-1650 cm<sup>-1</sup>. Astfel în Fig. 6c<sub>1</sub>, c<sub>2</sub> și c<sub>3</sub> se observă următoarele variații:

- i) prezenta liniei Raman de la 1594 cm<sup>-1</sup> care crește gradual în intensitate odată cu creșterea cantității de C<sub>60</sub> interactionate cu nanoparticulele de ZnO; astfel, în cazul probelor G, H și J, raportul dintre intensitățile relative ale liniilor Raman de la 1467 și 1594 cm<sup>-1</sup> ( $I_{1467}/I_{1594}$ ) este 17, 3.8 și respectiv, 0.2.
- ii) o deplasare graduală spre energii mari a liniei Raman a C<sub>60</sub> atribuită modului vibrational H<sub>g</sub>(7) de la 1422 (Fig. 6a) la 1427 (Fig. 6c<sub>1</sub>, c<sub>2</sub>) și 1430 cm<sup>-1</sup> (Fig. 6c<sub>3</sub>) simultan cu modificarea raportului aferent intensităților relative ale liniilor Raman atribuite modurilor vibrationale ale ciclului pentagonal A<sub>g</sub>(2) și H<sub>g</sub>(7). În acest context observăm că pentru probele G, H și J valoarea raportului  $I_{1422}/I_{1464}$  este egală cu 0.17, 0.4 și respectiv 0.64. Trebuie menționat că liniile Raman de la 1427 și 1430 cm<sup>-1</sup> au fost considerate

moduri vibrationale caracteristice oxizilor de fulerena ( $C_{60}O$ ,  $C_{120}O$ , etc.) [34] precum si fazei polimerice 1D- ortorombice a  $C_{60}$  [36].

iii) o deplasare spre energii mici a modului vibrational  $H_g(1)$  a  $C_{60}$  de la  $272\text{ cm}^{-1}$  (Fig.6a) la  $264\text{ cm}^{-1}$  (Fig.6c). Aceasta modificare are loc simultan cu deplasarea spre energii mici a modurilor vibrationale ale  $ZnO$ , [ $E_2$  (frecvente inalte) –  $E_2$  (frecvente joase)] si  $E_2$  (frecvente inalte), de la  $337$  si  $440\text{ cm}^{-1}$  (Fig. 6b) la  $331$  si respectiv  $437\text{ cm}^{-1}$ (Fig.6c).

Aceste variatii indica faptul ca interactia mecano-chimica a nanoparticulelor de  $ZnO$  cu  $C_{60}$  conduce la produsii de reactie  $ZnC_{60}$ , oxizi de fulerena si/sau a unei faze polimerice de  $C_{60}$ . Mecanismul chimic prpus pentru cresterea particulelor de  $ZnO$  in prezenta  $C_{60}$  implica doua etape descriese prin urmatoarele reactii:



In opinia noastră, acest mechanism explica:

- i) prezenta liniei Raman de la  $1594\text{ cm}^{-1}$  care este caracteristica compusului  $ZnC_{60}$  obtinut in etapele de formare a  $Na_2[Zn(OH)_4]$ ; prezenta acestei linii Raman de intensitate mica in etapele de formare a  $ZnO$  poate fi explicata ca o consecinta a oxidarii partiale a compusului  $ZnC_{60}$ ;
- ii) prezenta benzilor Raman situate la  $2524$  si  $2545\text{ cm}^{-1}$  in cazul probelor A si B confirma ca etapa de formare a  $Na_2[Zn(OH)_4]$  implica un process de agregare a  $C_{60}$  similar cu acela raportat in Ref. [31];
- iii) prezenta benzii Raman de la  $2934$ - $2938\text{ cm}^{-1}$  in probele formate din  $Na_2[Zn(OH)_4]$  si  $ZnC_{60}$  dupa realizarea unui tratamentul termic la  $100^{\circ}C$ . Banda Raman de la  $2934$ - $2938\text{ cm}^{-1}$  indica formarea de noi legaturi covalente intre moleculele de oxizi de fulerena via inelele benzenice care conduc la formare unor structuri polimerice de oxizi de fulerena.

Insumand cele de mai sus, rezultata urmatoarele concluzii :

- i) adaugarea fulerenei in timpul sintezei particulelor de  $ZnO$  conduce la obtinerea de particule cu structura morfologica de tip floare care prezinta o PL mai mica in comparatie cu cea a nanoparticulelor unidimensionale de  $ZnO$  ;
- ii) linia Raman de la  $1594\text{ cm}^{-1}$  este o vibratie caracteristica compusului  $ZnC_{60}$ . Trei reactii chimice pot conduce la acest produs de reactie folosind urmatorii reactanti : a)  $ZnCl_2$ ,  $NaOH$ ,  $C_{60}$  si SDS; b)  $C_{60}$  si  $Na_2Zn(OH)_4$  si iii)  $C_{60}$  interactionat mecano-chimic cu  $Zn$ .
- iii) benzilor Raman avand maximele la cca.  $2524$ - $2545\text{ cm}^{-1}$  si  $2934$ - $2938\text{ cm}^{-1}$  corespond  $C_{60}$  in stare agregata si respectiv structurilor polimerice de oxizi de fulerena.

## 2.2 Proprietatile optice ale particulelor de $ZnO$ dopate cu Mn

$ZnO$  are o banda interzisa larga ( $3.37\text{ eV}$ ) si o valoare mare a energiei de legatura a excitonului ( $60\text{ meV}$ ) la temperatura camerei, care il face un material gazda excelent pentru doparea cu ioni metalici tranzisionali [37]. Mn este o impuritate izovalenta pentru  $Zn$ , iar raza ionului  $Mn^{2+}$  ( $0.08\text{ nm}$ ) este comparabila cu raza ionului  $Zn^{2+}$  ( $0.074\text{ nm}$ ) [38], care asigura o limita de solubilitate teoretica de  $35\%$  [39] si care permite obtinerea structurii hexagonale (wurtzite). Majoritatea studiilor efectuate pe  $ZnO$  dopat cu Mn s-au bazat pe proprietatile magnetice si spintronice, datorita comportamentului pe care acest compus il are ca un semiconductor magnetic diluat [40].

Studii teoretice si experimentale care au confirmat existenta feromagnetismului in  $ZnO$  dopat cu Mn ( $Mn-ZnO$ ) au facut obiectul lucrarilor raportate in Referintele [41,42]. Aceste lucrari au aratat ca feromagnetismul isi are originea in interactia de schimb dintre momentele magnetice localizate la starile Mn mediate de purtatorii liberi de sarcina. Studii privind feromagnetismul nanofirelor si filmelor de  $ZnO$  dopate cu Mn in proportie de  $1.3$  si  $2\%$  si respectiv  $4\%$  au fost publicate in mai multe articole, un exemplu fiind Referintele [43] si [44]. O faza secundara a fost evidențiată prin difracția de raze X, atunci cand concentrația manganului în matricea de  $ZnO$  este mai mare de  $3\%.$ [45]. In conformitate cu Referinta [45] pentru o concentrație de mangan mai mare de  $3\%$  numai o parte din ionii de mangan sunt inserati in matricea  $ZnO$ .

Pentru sinteza nanostructurilor de ZnO dopate cu Mn se cunosc mai multe metode cum ar fi metoda solvotermală [46,47], metoda sol-gel [48], depunerea chimică prin vapozi [43,49], metoda hidrotermală [50,51] și depunerea electrochimică [52,53]. Inserarea Mn în rețea ZnO prin metoda temperaturii scăzute este încă greu de realizat, deoarece energia de legătura a Mn-O este mai mare decât cea a Zn-O, prin urmare este necesară o cantitate mai mare de energie pentru a înlocui  $Zn^{2+}$  cu  $Mn^{2+}$  în rețea ZnO [54]. Metoda temperaturii înalte (cum ar fi depunerea chimică prin vapozi), implică o difuzie mai eficientă a ionilor de  $Mn^{2+}$  din starea de vapozi în rețea gazdă. Această metodă constă în oxidarea termică a filmelor sau particulelor de Zn, fiind folosită în prezent obținerea filmelor subțiri de ZnO prin oxidarea termică a filmelor metalice de zinc [55-59]. În acest context nota că, nici o lucrare nu s-a axat până în prezent pe studierea filmelor și a firelor obținute prin oxidare termică a aliajelor ZnMn. Printre tehniciile experimentale utilizate pentru a demonstra inserția ionilor de  $Mn^{2+}$  în rețea cristalină a ZnO au fost folosite: difracția de raze X, difuzia Raman și fotoluminescența [60, 61]. Conform Referinelor [62] și [63], feromagnetismul filmelor subțiri de ZnO dopate cu Mn este controlat de concentrația vacanțelor de oxigen iar imbunatatirea feromagnetismului a fost corelată cu creșterea numărului de vacante de oxigen în ZnO. Alți autori [64,65] au sugerat că prin înlocuirea Zn cu Mn în rețea ZnO, oxigenul ca defect interstitial are un rol important în proprietățile feromagnetice. Pentru a studia defectele structurale ale ZnO a fost folosită fotoluminescența.

În studiu prezentat în acest raport de cercetare, filmele și firele de ZnO dopate cu Mn au fost sintetizate în două etape. Prima etapă implica depunerea electrochimică a aliajului ZnMn, sub formă de filme și de fire, și cea de a doua etapă prevede oxidarea rapidă via un tratament termic. Proprietățile optice ale structurilor oxidice ale aliajului ZnMn sunt evidențiate prin studii de fotoluminescență și spectroscopie Raman.

Filmele de Zn și de ZnMn au fost obținute prin electrodepunere la curent pulsat folosindu-se amestecurile de reacție prezentate în Tabelul 1, care au fost preparate conform procedurii descrise anterior [66].

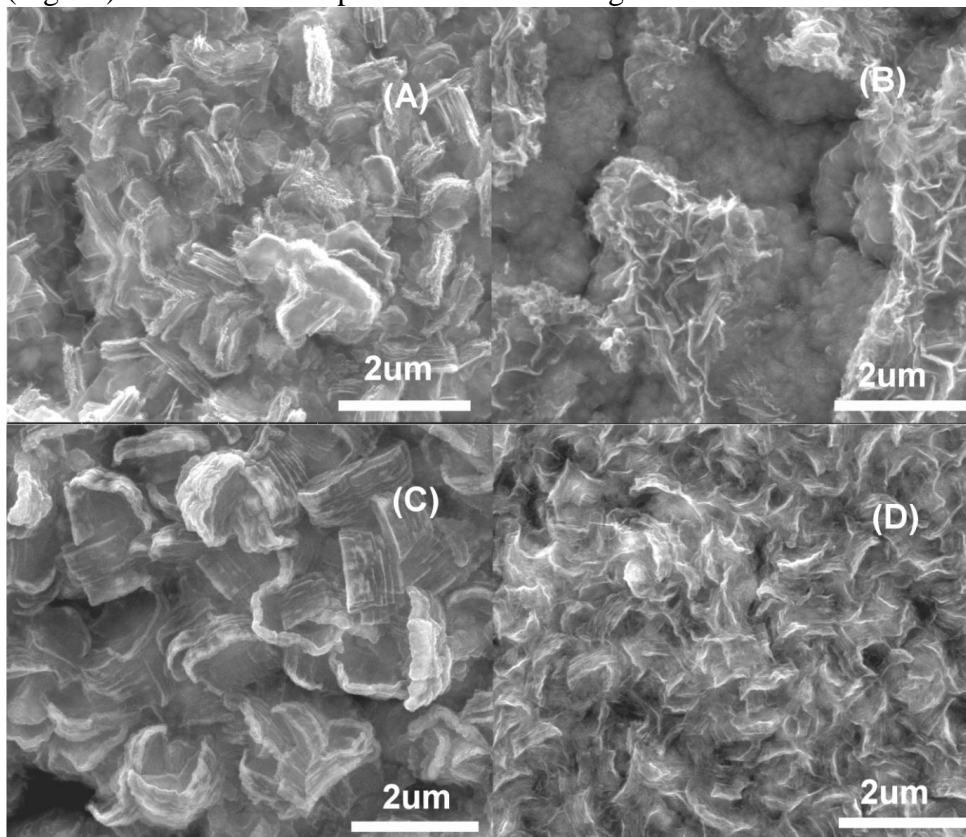
**Tabelul 1.** Compozitia chimica a solutiilor folosite pentru electrodepunerea filmelor si firelor de Zn si aliajului de ZnMn si concentratia de Mn folosita pentru obtinerea filmelor de ZnMn.

Solutii	Compozitia solutiilor	Filmele de ZnMn cu diferite concentratii de Mn (atomic%)
1	Complex Zn(II)-EDTA, 0.2M, pH 5.8	-
2	Complex Zn(II)-EDTA, 0.2M , 40mM MnSO <sub>4</sub> , 60mM citrat de sodiu, pH 5.8	2
3	Complex Zn(II)-EDTA, 0.2M ,60mM MnSO <sub>4</sub> , 0.12M, citrat de sodiu ,pH 5.8	7.5
4	Complex Zn(II)-EDTA, 0.2M, 20mM MnSO <sub>4</sub> , 0.18M citrate de sodiu, pH 5.8	15

Metoda electrochimică a fost folosită pentru creșterea firelor submicrometrice de ZnMn în porii membranei de policarbonat comercial folosite ca sablon. Este cunoscut faptul că depunerea electrochimică în curent pulsat poate imbunătăti proprietățile fizice ale învelisurilor nanooparticulelor [67] și favorizează creșterea omogenă a nanofirelor [68]. O scurtă prezentare a metodei de preparare a firelor de ZnMn este necesară să fie precizată în cele ce urmează. Anterior electrodepunerii, membrana cu o grosime de aproximativ 10  $\mu$ m, cu diametrul mediu al porilor de 800 nm și cu densitatea porilor de  $10^8$  cm<sup>-2</sup> a fost acoperită prin pulverizare cu un film subțire de aur. Acest film a fost ingrosat prin depunerea electrochimică a unor straturi de cupru. După procesul de electrodepunere, membrana polimerică a fost dizolvată în diclorometan. Electrodepunerea a avut loc într-o celulă convențională cu trei electrozi la temperatură camerei. Electrodul auxiliar este o folie de platina și ca electrod de refeință s-a folosit electrodul de Ag/AgCl în soluție saturată de KCl. Procesul electrochimic a fost realizat folosindu-se un potențiosstat Autolab PGSTAT 30 controlat digital de un calculator. Filmele și firele de Zn și ZnMn preparate au fost supuse oxidării termice într-un cuptorul electric pentru a obține un proces de oxidare rapidă.

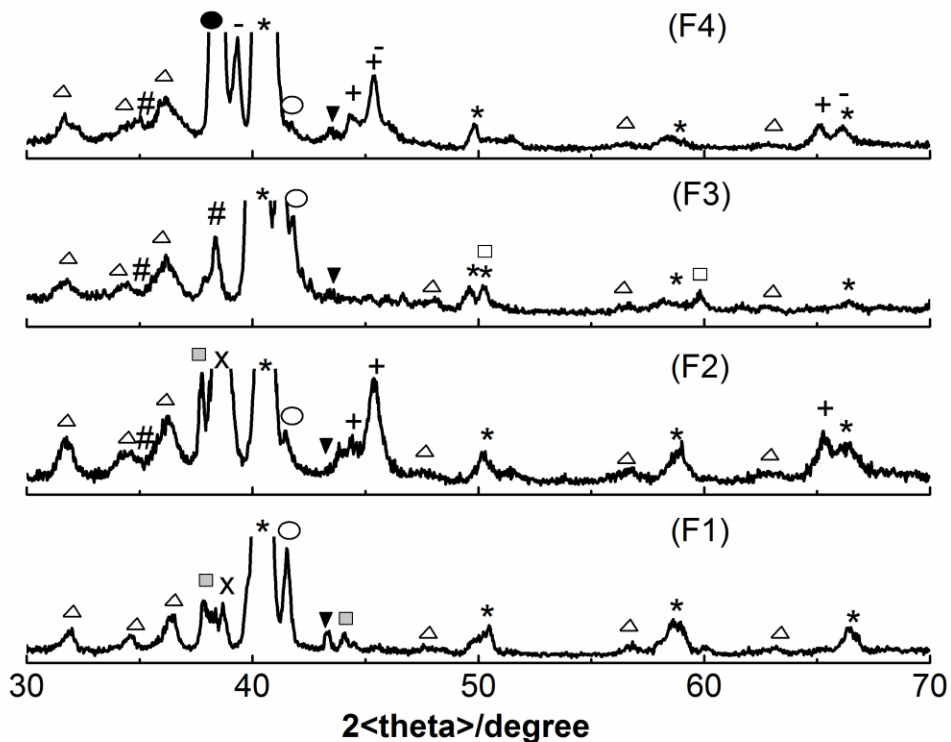
Morfologiile filmelor si firelor preparate au fost analizate prin microscopie electronica de baleaj cu emisie de camp, utilizand un microscop QuantaInspectF echipat cu un dispozitiv EDX de la EDAX pentru masuratori de compozitie chimica. Analizele XRD au fost realizate cu un difractometru de raze X Bruker D8 Advance, in geometrie de focalizare, echipat cu un tub de raze X cu tinta de cupru si un detector unidimensional LynxEye. Spectrele de fotoluminiscenta au fost inregistrate la temperatura camerei si in conditi de vid inalt ( $10^{-5}$  mbar) cu lungimea de unda de excitare 335 nm in geometrie la unghi drept folosindu-se un spectrometru Horiba Jobin Yvon Fluorolog-2. Spectrele Raman au fost inregistrate in geometria de tip backscattering, la lungimea de unda de excitare de 514.5 nm folosindu-se un spetrofotometru Raman Jobin Yvon model T64000.

Filmele de ZnO si de ZnO dopate cu Mn au fost sintetizate pe un suport de Si(001) acoperit cu film de aur. Filmele de Zn si ale aliajului ZnMn au fost depuse electrochimic pe suporti de Si acoperiti cu un film de Au prin depunere timp de 12 minute la o densitate de curent de  $17 \text{ mA cm}^{-2}$  a pulsului catodic aplicat timp de 50 ms (durata de pulsatie), urmat de un timp de relaxare de 20ms. Continutul de mangan al filmelor de ZnMn depuse electrochimic este deasemenea prezentat in acest studiu. Aceste probe au fost oxidate prin plasarea rapida in cuptor la temperatura de  $530^{\circ}\text{C}$  si incalzite timp de 15 minute. Dupa acest tratament, probele au fost scoase din cuptor si au fost lasate sa se raceasca la temperatura camerei [59]. Filmele metalice obtinute din solutiile 1,2,3,4 descrise in Tabelul 1 au condus in urma tratamentului termic la filme oxivate etichetate ca probe F1, F2, F3 si respectiv F4. Morfologia filmelor F1-F4 este ilustrata in Fig. 7A-D. Filmul de ZnO (Fig.7A) prezinta structuri de straturi impachetate cu grosimea nanostructurilor de 30 nm. O morfologie similara este ilustrata si pentru filmul F3 (Fig.7C). Cu toate acestea, pentru proba F3 grosimea nanostraturilor este mai mare. Proba F2 (Fig.7B) prezinta un strat de nanoparticule cu diametru de 20-25 nm parcial acoperit cu un strat de oxizi in cazul probei F4 (Fig.7D) filmul de ZnMn prezinta un strat omogen continu de oxizi.



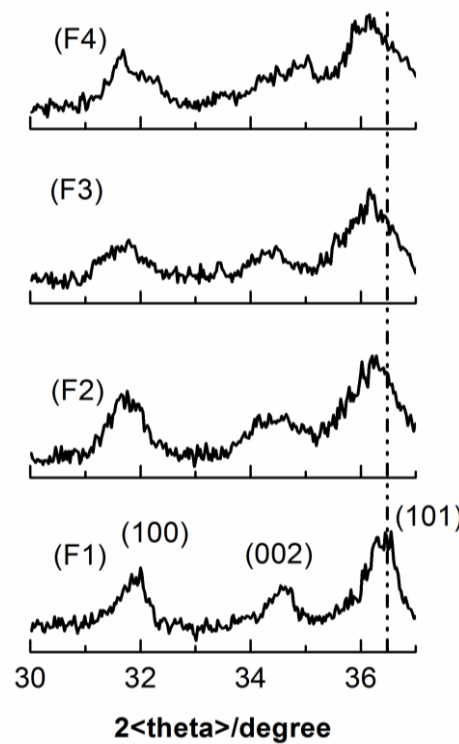
**Fig.7.** Imaginile FESEM ale probelor obtinute prin oxidarea termica in aer la  $530^{\circ}\text{C}$  a filmelor de ZnMn depuse electrochimic din solutiile 1, 2, 3, 4 (Table 1): (A) F1, (B) F2, (C) F3 si(D) F4

Difractogramele XRD ale probelor F1-F4 au fost comparate (Fig.8 si 9) cu datele standard de la ICDD(International Centre for Diffraction Data). Principalele maxime de difractie ale ZnO cu structura wurtzita sunt situate la  $31.96^\circ$ ,  $34.67^\circ$  si  $36.54^\circ$  care corespund planurilor (100), (002) si (101) precum si maximele de difractie datorate aliajelor metalice Au-Zn si Au-Mn care apar la interfata substrat-filme oxidate. Filmele oxide contin de asemenea si faza metalica a Zn. Difractogramele XRD ale filmului F3 arata prezenta fazei binare de ZnMn in acest proba. Surprinzator, difractogramele probei F4 sugereaza prezenta ZnO cubic in acest film.

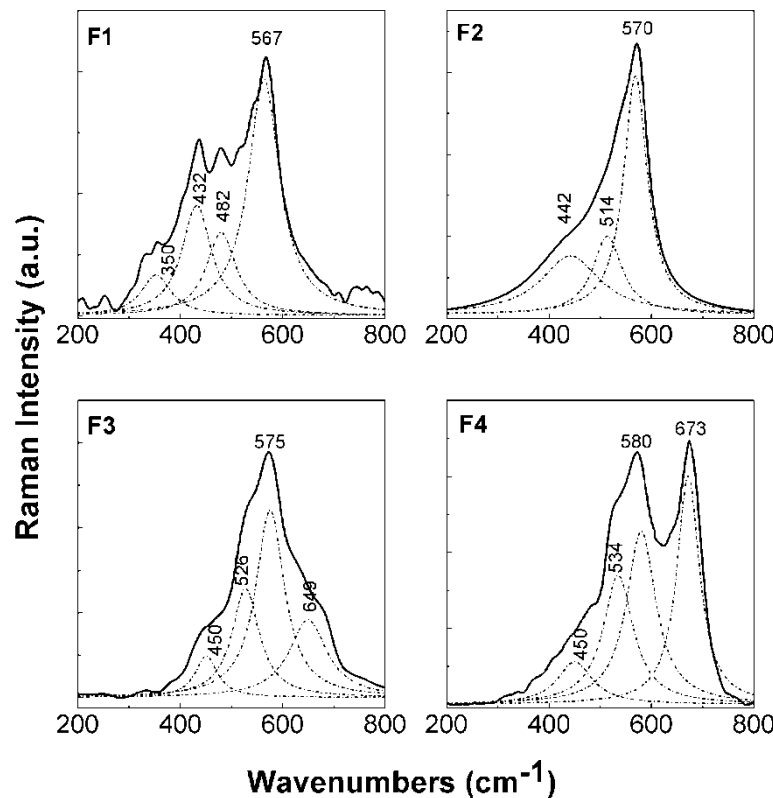


**Fig.8.** Rezultatele XRD ale probelor F1, F2, F3 si F4 reprezentand starea nedopata si dopata a filmelor de ZnO dopate cu Mn avand concentratii de 2%, 7.5% si respectiv 15%. ICDD PDF: ( $\triangle$ ) - ZnO de tip wurtzite (04-004-4531); ( $*$ ) - AuZn (04-002-3135) ; ( $\blacksquare$ ) - Au (04-011-7355); ( $\circ$ ) -  $Au_{0.12}Zn_{0.88}$  (04-003-2185); (+) -  $Au_{1.6}Zn_{0.4}$  (04-006-6510); (x) -  $Au_{1.48}Zn_{0.52}$  (04-006-6512); ( $\blacktriangledown$ ) - Zn (01-078-7027) ; ( $\bullet$ ) -  $Au_{0.76}Mn_{0.24}$  (04-007-4053); ( $\square$ ) -  $Mn_{3.4}Zn_{0.6}$  (04-006-6412); (#) - (Au, Mn) (00-017-0676); (-) - ZnO-fcc (01-078-4608).

Comparand rezultatele difractiei de raze X ale probelor F1-F4 s-a observat o deplasare a maximelor de difractie a ZnO wurtzite spre valori mai mici ale unghiurilor de difractie o data cu cresterea concentratiei de ioni dopanti de  $Mn^{2+}$  (Fig.9). Acest lucru se datoreaza substituiri  $Zn^{2+}$  cu  $Mn^{2+}$  in reteaua gazda a ZnO deoarece diametrul ionului  $Mn^{2+}$  este mai mare decat cea a  $Zn^{2+}$ .Pe de alta parte, maximele de difractie ale ZnO sunt extinse, datorita formarii cristalitelor de mici dimensiuni in timpul procesului de oxidare rapida.



**Fig.9.** Difractogrammele XRD ale probelor F1-F4, pentru unghiul 2theta intre 30 si 37°.



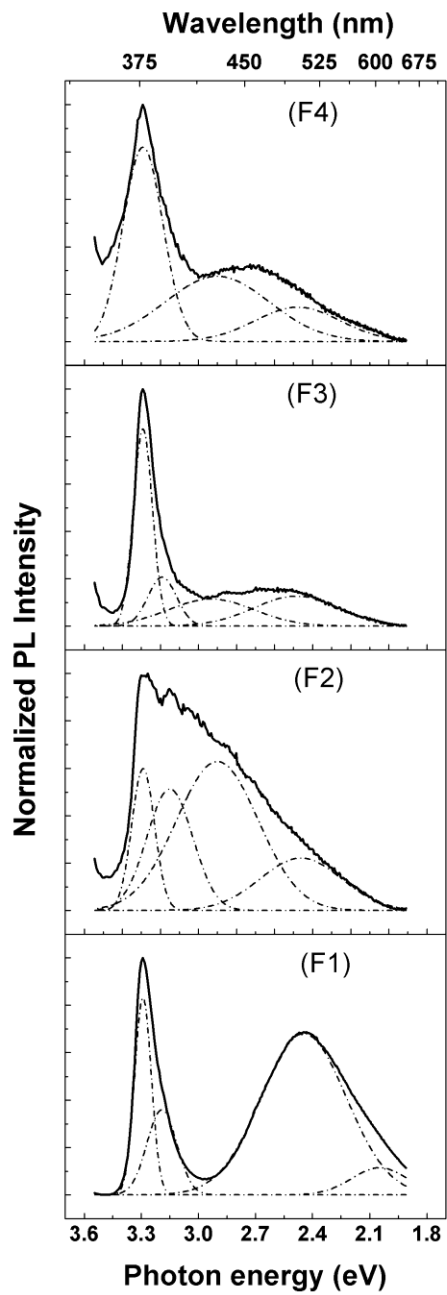
**Fig. 10.** Spectrele Raman ale probelor F1, F2, F3 si F4 reprezentand starea nedopata si dopata a filmelor de ZnO cu ioni de Mn<sup>2+</sup> avand concentratia de Mn<sup>2+</sup> de 2%, 7.5% si respectiv 15% .

Spectre Raman ale filmelor de ZnO dopate cu Mn sunt prezentate in Fig.10. Spectrul Raman al ZnO (proba F1) prezinta in domeniul spectral  $200\text{-}800\text{ cm}^{-1}$ , patru linii Raman cu maximele la cca. 350, 432, 482 si  $567\text{ cm}^{-1}$ , care sunt atribuite urmatoarelor moduri vibrationale  $A_1(\text{TO})$ ,  $E_2$  (frecvenete inalte),  $2\text{LA}$  si respectiv  $A_1$  ( $\text{LO}$ ) [69]. Pe masura ce concentratiei de Mn in filmul de ZnO creste de la 2 la 15% , se observa urmatoarele modificari in Fig.10:

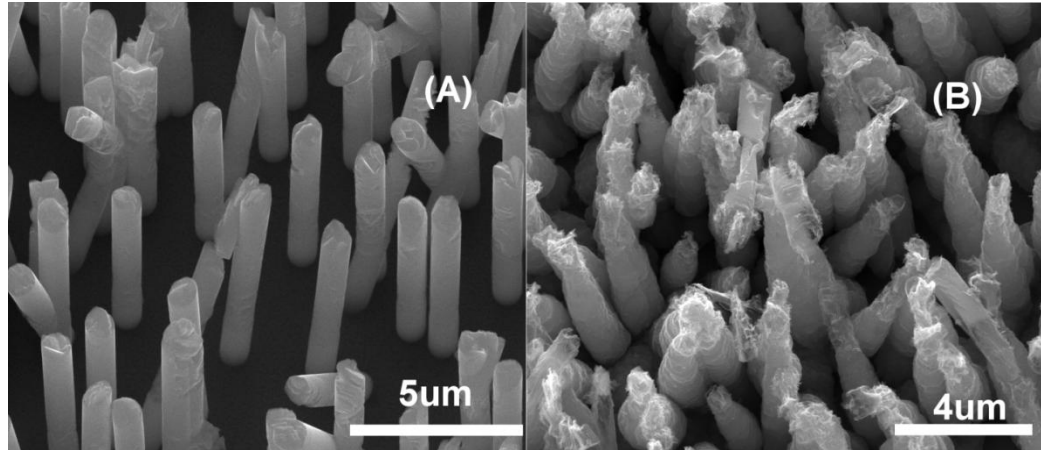
- i) disparitia modului vibrational  $A_1(\text{TO})$ ;
- ii) deplasarea spre energii mari a modurilor vibrationale  $E_2$  (frecvenete inalte),  $2\text{LA}$  si  $A_1$  ( $\text{LO}$ ) de la 432, 482 si  $567\text{ cm}^{-1}$  la 450, 534 si respectiv  $580\text{ cm}^{-1}$ ;
- iii) prezenta unei linii Raman in domeniul spectral  $600\text{-}800\text{ cm}^{-1}$ , care creste in intensitatea relativa simultan cu deplasarea sa spre energii mari cand concentratia de  $\text{Mn}^{2+}$  este de 7.5 si 15% in masa filmului de ZnO. Aceasta linie Raman este atribuita modului vibrational  $\text{TA+LO}$  al ZnO [69].

Cresterea graduala in intensitatea relativa a liniilor Raman atribuite modurilor vibrationale  $2\text{LA}$  si  $\text{TA+LO}$  provine de la defectele intrinseci ale matricei gazda induse prin doparea ZnO [70, 71]. Liniile Raman atribuite modurilor vibrationale  $2\text{LA}$  si  $\text{TA+LO}$  au fost raportate in cazul nanoparticulelor de ZnO dopat cu Mn cu structura de tip floare [72], cristalelor ZnO dopate cu ioni de  $\text{Mn}^{2+}$  [60, 61], nanocrystalitelor de ZnO dopate cu ioni de  $\text{Sb}^{2+}$  [70] si particulelor sferice de ZnO dopat cu ioni de  $\text{Cu}^{2+}$  [71]. Fig 11. prezinta spectrele PL ale probelor F1-F4. Spectrul PL al probei F1 este format din doua emisii in ultraviolet si vizibil, primul maxim fiind asociat emisiei excitonice a ZnO, iar banda larga din vizibil este asociata defectelor de retea si impuritatilor [73]. Diverse defecte intrinseci in ZnO, cum ar fi vacantele de oxigen ( $V_O$ ), zinc interstitial ( $Zn_i$ ), exces de zinc ( $Zn_O$ ), vacantele de zinc ( $V_{Zn}$ ), oxigenul interstitial ( $O_i$ ), si exces de oxigen ( $O_{Zn}$ ) [70] sunt asociate emisiei in vizibil. In Fig.11 este prezentat spectrul PL al probei F5. Benzile de PL in domeniul vizibil de la 2.44 eV (508 nm) si 2.05 eV (604 nm) apartin unei benzi in verde si respectiv, o banda in galben deplasata spre rosu. Conform literaturii aferente acestui subiect, luminescenta din regiunea spectra verde a fost atribuita vacantei de oxigen  $V_O$  [75, 76] si excesului de oxigen  $O_{Zn}$  [77]. Luminescenta din regiunea spectrala galbena de la 590 nm a fost atribuita oxigenului interstitial  $O_i$  [76]. Maximul in domeniul UV al spectrului de PL al probei F1 a fost descompus in doua maxime la 3.29 eV (377 nm) si respective 3.19 eV (389 nm).

Primul maxim situat la cca. 3.29 eV este atribuit tranzitiei donor-exciton legat, iar maximul de la 3.19 eV este atribuit tranzitiei acceptor-exciton legat [78]. Intensitatea PL din domeniul UV a probelor dopate, F2-F4 scade considerabil, de aproximativ 20 de ori, o data cu cresterea continutului de mangan. Studiile de luminescenta efectuate pe filmele subtiri de ZnO dopate cu ioni de  $\text{Mn}^{2+}$  au evideniat un proces de stingere a fotoluminiscente in domeniul UV care poate fi cauzat de introducerea de noi centrii de recombinare neradiative o data cu cresterea concentratiei de mangan in film. Reducerea luminescente in cazul probei F2, caracterizata printr-o concentratie scazuta de mangan, este pronuntata in domeniul vizibila. Valorile raportului intre intensitatile relative corespunzatoare emisiei in UV (3.29 eV) si emisiei in verde sunt adesea folosite [79] pentru a descrie numarul de defecte localizate in nivele adanci ale ZnO. Pentru probele F1, F2, F3 si F4, valorile raportului  $I_{\text{emisie UV}} / I_{\text{emisie verde}}$  sunt: 1.2, 2.7, 6.5 si respectiv 5.7. Valorile mari obtinute pentru filmele F3 si F4 arata o scadere semnificativa a concentratiei de defecte in aceste probe. Prezena atomilor de mangan ar putea determina compensarea vacantelor de oxigen atfel incat procesele de recombinare neradiativa sa devina dominante. Spectrele de PL ale filmelor F2-F4 prezinta un maxim la 2.9 eV (427 nm) care este asociat luminescente in domeniul violet. Aceasta banda de PL indica formarea defectelor de zinc interstitial in aceste probe [80]. Se poate observa ca emisia in violet apare doar in spectrele probelor care contin mangan (F2-F4). Cu toate asta, la o concentratie mai mare a manganului scade intensitatea emisiei in violet. Probabil, prezenta atomilor de mangan in filmul metalic de ZnMn induce formarea nonstoichiometrica a ZnO pe durata tratamentului termic. O astfel de structura nestoichiometrica a fost propusa pentru explicarea prezentei emisiei violete de la 420 nm in spectrul PL al Zn poros [81]. Scaderea intensitatii emisiei din violet ar putea fi legata de compensarea defectelor zincului interstitial ( $Zn_i$ ) in filmele F2-F4 la o concentratie mai ridicata a manganului.

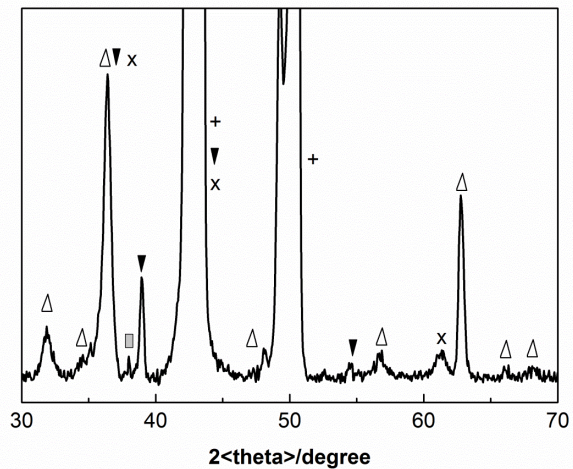


**Fig.11.** Spectrele de PL ale probelor F1-F4 inregistrate la temperatura camerei la lungimea de unda excitare de 335 nm



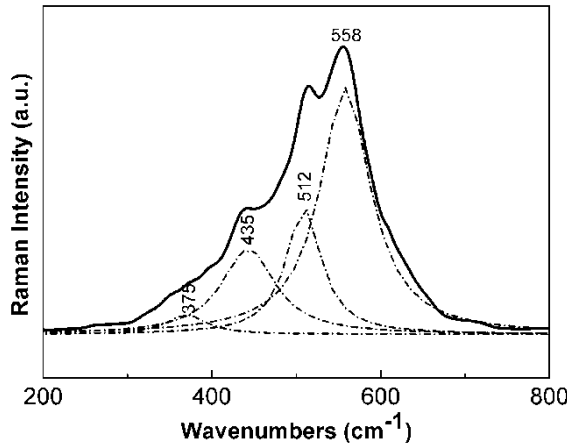
**Fig.12.** (A) Imaginele SEM ale firelor de ZnMn crescute in porii membranei de policarbonat. (B) Morfologia firelor de ZnMn oxidate termic la  $300^{\circ}\text{C}$  timp de 4 ore.

Fig.12A arata imaginea FESEM a firelor submicronice ale aliajului ZnMn crescute utilizand amestecul de reactie descris in Tabelul 1- solutia 2 folosind tehnica de depunere in curent pulsat la o densitate de current de  $-3.2 \text{ mA cm}^{-2}$  (on time 50ms, off-time 20ms). Continutul de mangan din firele de ZnMn a fost de 1.45at%. Firele aliajului ZnMn tratate termic la  $300^{\circ}\text{C}$  timp de 4 ore sunt oxidate si aspectul acestora este cel ilustrat in Fig.12B. Efectuarea acestui proces la  $400^{\circ}\text{C}$  a condus la topirea completa a firelor de ZnMn si disparitia matricei firelor ZnMn.



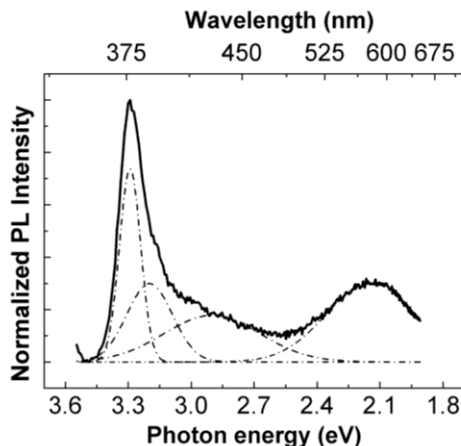
**Fig.13.** Rezultatele XRD ale firelor de aliaj ZnMn oxidate termic la  $300^{\circ}\text{C}$ . ICDD PDF: ( $\triangle$ ) – ZnO de tip wurtzite (01-089-0510); ( $\square$ ) - Au (01-071-4614); (+) - Cu (01-071-7905) ; (x) - Cu<sub>2</sub>O (01-078-2076); ( $\blacktriangledown$ ) - Zn (03-065-5973)

Rezultatele XRD aferente firelor de ZnMn oxidate termic la  $300^{\circ}\text{C}$  timp de 4 ore sunt prezentate in Fig.13. Analiza XRD releva prezenta unui set de maxime atribuite structurii cristaline a ZnO wurtzite, fara o orientare preferentiala. Maximele de difractie corespunzatoare unghiului de difractie  $2\theta$ :  $31.79^{\circ}$ ,  $34.54^{\circ}$  si  $36.23^{\circ}$  sunt deplasate spre unghiuri de difractie mai mici comparativ cu cele ale ZnO wurtzite pur (ICDD PDF:04-004-4531), indicand introducerea ionului de Mn<sup>2+</sup> in locul ionului Zn<sup>2+</sup>. Conform Fig. 13 nu au fost observate faze de oxid de mangan sau faze binare ale ZnMn ceea ce confirma ca procesul de oxidare a condus doar la un proces de substituire a Zn<sup>2+</sup> cu Mn<sup>2+</sup> in reteaua ZnO. Celelalte maxime remarcate in Fig.13 aparțin fazelor metalice a Zn.



**Fig.14.** Spectrul Raman al firelor de ZnO dopate cu ioni de  $Mn^{2+}$  ( $\lambda_{exc} = 514$  nm) proba caracterizata printr-o concentratie de  $Mn^{2+}$  de ~1.45%

Comparand Figurile 14 si 10, notam ca ionul de  $Mn^{2+}$  induce in spectrul Raman al firelor de ZnO modificari importante in pozitia liniilor Raman atribuita modului LA este la  $514\text{ cm}^{-1}$  si a celor aferente modurilor vibrationale  $A_1(\text{TO})$  si  $A_1(\text{LO})$ .



**Fig.15.** Spectrele de emisie ale firelor de ZnMn oxidat termic la  $300^{\circ}\text{C}$ , inregistrate la temperatura camerei cu lungimea de unda de excitare de 335 nm.

Conform Fig. 15, schimbari importante sunt notate si in spectrul de PL al ZnMn oxidat termic. Spectrul PL al firelor aliajului ZnMn oxidat termic la  $300^{\circ}\text{C}$  prezinta doua benzi in UV la  $3.29\text{ eV}$  si  $3.2\text{ eV}$ , o banda in violet la  $2.9\text{ eV}$  si o alta in galben-verde la  $2.14\text{ eV}$ . Diferitele tratamente termice pot determina modificari in domeniul galben-verde ale spectrului PL spre deosebire de proba F2. Datorita timpului mai lung al tratamentului termic si datorita suprafetei specifice mari a probei, concentratia vacantelor de oxigen a fost redusa chiar si in cazul concentratiilor mici de mangan.

Rezultatele de mai sus conduc la urmatoarele concluzii ;

i) Toate probele de ZnMn au o structura de tip wurtzite. Rezultatele XRD au demonstrat insertia ionilor de  $Mn^{2+}$  in locul ionilor de  $Zn^{2+}$  in reteaua ZnO.

ii) Vacantele de oxigen care au contribuit la emisia in verde in filmele oxidate sunt compensate cand proba prezinta o concentratie mai mare de mangan. Studiile de PL prezentate in acest raport de cercetare au evideniat o emisia in violet care este atribuita formarii defectelor de zinc interstitial ( $Zn_i$ ) numai in cazul probelor ce contin atomi de mangan. La concentratii mai mari de mangan emisia in violet scade in intensitate. Spectrul de PL al firelor de ZnMn oxidat termic, de dimensiunea submicrometrica,

este similară cu cea a filmului cu concentrație scăzută de mangan. Cu toate acestea, timpul lung folosit pentru tratament termic și suprafața mare a probei a determinat stingerea luminescenței caracteristică emisiei verde.

iii) În cazul filmelor de ZnO dopate cu Mn care au concentrația de Mn între 2 și 15% apare o deplasare graduală a linilor Raman atribuite modurilor vibrationale 2LA și A<sub>1</sub>(LO) de la 482 și 567 cm<sup>-1</sup> la 532 și respectiv 580 cm<sup>-1</sup>. În cazul filmelor de ZnO dopat cu ioni de Mn<sup>2+</sup> care prezintă o concentrație a ionilor de Mn<sup>2+</sup> între 7 și 15%, spectrul Raman prezintă o creștere a intensității liniei Raman a ZnO atribuită modului de vibrație TA+LO situat în domeniul spectral 600-750 cm<sup>-1</sup>.

iv) Prezența liniei Raman de la 527 cm<sup>-1</sup> în cazul firelor de ZnO dopate cu ioni de Mn<sup>2+</sup> confirmă introducerea ionilor de Mn<sup>2+</sup> în rețeaua ZnO.

## Referinte

- [1] Kim H, Sigmund W, Appl. Phys. Lett. (2002), 81, 2085-2087.
- [2] Min YS, Base EJ, Kim UJ, Park W, Hwang CS, Appl. Phys. Lett. (2006), 89, 113-116.
- [3] Baibarac M, Baltog I, Lefrant S, Mevellec JY, Husanu M, Physica E (2008), 40, 2556-2564.
- [4] Zhang WT, Ho YM, Tian HW, Wen M, Qi JL, Li YA, J. Phys. Chem. C (2009), 113, 9164-9168.
- [5] Fu HB, Ku TG, Zhu SB, Zhu YF, Environ. Sci. Technol. (2008), 42, 8064-8069.
- [6] Hernandez SC, Kakronli B, Lin JH, Mubeen S, Hangater CM, Mulchandani A, Myung NV, Electroanalysis (2012), 24, 1613-1620.
- [7] Baibarac M, Baltog I, Velula T, Pasuk I, Lefrant S, Gautier N, J. Phys. Condens Mater (2009), 21, 445801.
- [8] Liu P, Guo YQ, Xu QW, Wang FG, Li YB, Shao KR, Ceram Int. (2014), 40, 5629-5633.
- [9] Zhang Y, Sun K, Pan L, Li H, Sun Z, Sun C, Tay BK, J. Alloys & Compounds (2009), 480, L17-L19.
- [10] Haldorai Y, Voit W, Shim JJ, Electrochim. Acta (2014), 120, 65-74.
- [11] Bu Ian YY, Opt. Mater. (2013), 36, 299-303.
- [12] Stubhan T, Sainas M, Ebel A, Kubs FC, Hirsch A, Halik M, Brabec CJ, Adv. Eng. Mater. (2012), 2, 532-535.
- [13] Chen CT, Hsu FC, Kuan SW, Chen YF, Sol. Energ. Mat Sol. C. (2011), 95, 740-744.
- [14] Hong SK, Lu JH, Ko WB, J. Nanoscience & Nanotechnology (2011), 11, 6049-6056.
- [15] Cho BH, Lee KB, Miyazawa, Ko WB, Asian J.Chem. (2013), 14, 8027-8030.
- [16] Hong SK, Lee JH, Cho BH, Ko WB, J. Ceram. Process. Res. (2011), 12, 212-217.
- [17] Li P, Wei Y, Liu H, Wang X, Chem. Commun. (2004), 2856-2857.
- [18] Stikant V, Clarke DR, J. Appl. Phys. (1998), 83, 5447-5451.
- [19] Lyu SC, Zhang Y, Ruh H, Le HJ, Shim HW, Suh EK, Lee CJ, Chem. Phys. Lett. (2002), 363, 134-138
- [20] Koao LF, Dejene BF, Swart HC, Physica B (2014), 439, 173-176.
- [21] Tim KH, Cheung CK, Leung YH, Djurisic AB, Ding Ling L, Ge WK, J. Phys Chem. B (2006), 110, 20865 – 20871
- [22] Li D, Leung YH, Djurisic AB, Liu ZT, Xie MH, Shi SL, Xu SJ, Chan WK, Appl. Phys. Lett. (2004), 85, 1601-1603.
- [23] Kwok WM, Djurisic Ab, Leung YH, Chan WK, Philips DL, Appl. Phys. Lett.(2005), 87, 223111-3.
- [24] Studenikin SA, Golego N, Cocivera M, J. Appl. Phys. (1998), 84, 2287-2294.
- [25] Hssu JWP, Tallant DR, Simpson RL, Misset NA, Copeland RG, Appl. Phys. Lett. (2006), 252103.
- [26] Cusco R, Alarcon-Llado E, Ibanez J, Artus L, Jimenez J, Wang B, Callahan MJ, Phys. Rev. B (2007), 75, 165202.

- [27] Bethune DS, Meijer G, Tang WC, Rosen HJ, Golden WG, Seki H, Brown CA, de Vries MS, *Chem Phys. Lett.* (1991), 179, 181-186.
- [28] Baibarac M, Mihut L, Preda N, Baltog I, Mevellec JY, Lefrant S, *Carbon* (2005), 43, 1-9.
- [29] Lutz HD, Jung C, Mortel R, Jacob H, Stahl R, *Spectrochim. Acta A* (1998), 54, 893-901.
- [30] Rudolph WW, Pye CC, *J. Solution Chem.* (1999), 28, 1045-1070.
- [31] Kolesov B, *American Minerologist* (2006), 91, 1355-1362.
- [32] Frost RL, Scholz R, Lopes A, Xi Y, Gobac ZZ, Horta LFC, *Spectrochim. Acta A*. (2013), 116, 491-496.
- [33] Andrievsky GV, Klochkov VK, Bordyuh Ab, Dovbeshko GI, *Chem. Phys. Lett.* (2002), 364, 8-17.
- [34] Krause M, Dunsch L, Seifert G, Frowler PW, Gromov A, Kratschmer W, Gutierrez R, Porezag D, Frauenheim T, *J. Chem. Soc., Faraday Trans.* (1998), 94, 2287-2294.
- [35] Garrell RL, Herne TM, Szafranski CA, Diederich F, Ettl F, Whetten RL, *J. Am. Chem. Soc.* (1991), 113, 6302-6303.
- [36] Meletov KP, Davydov VA, Rakhmanina AV, Agafonov V, Kowrouklis GA, *Chem. Phys. Lett.* (2005), 416, 220-224.
- [37] Ozgur U, Alivov Y.I, Liu C, Take A, Reshchikov M.A, Dogan S, Avrutin V, Cho S.J, Markoc H, *J. Appl. Phys.* 98(2005) 041301
- [38] Chikoidze E, Dumont Y, Von Bardeleben H.J, Pacuski W, Gorochov O, *Superlattices Microst.* 42 (2007) 176
- [39] Fukumura T, Jin Z, Ohtomo A, Koinuma H, Kawasaki M, *Appl. Phys. Lett.* 75 (1999) 3366.
- [40] Liu J.J, Yu M. H., Zhou W. L, *J. Appl. Phys.* 99 (2006) 08M119.
- [41] Venkatesan M, Fitzgerald C.B, Coey J.M.D, *Nature (London)* 430 (2004) 630.
- [42] Coey J. M. D, Venkatesan M, Fitzgerald C. B, *Nat. Mater.* 4 (2005) 173
- [43] The-Long Phan, S.C. Yu, *J.Phys. Chem. C* 117 (2013) 6443-6453.
- [44] Wang X. L, Luan C. Y, Shao Q, Pruna A, Leung C. W, Lortz R, Zapien J. A, Ruotolo A, *Appl. Phys. Lett.* 102 (2013) 102112-102124.
- [45] Rajalakshmi R, Angappane S, *Mater. Sci. Eng. B* 178 (2013) 1068–1075
- [46] Zhang L. J, Wang J. Q, Li J, Zhang S, Jiang Z, Zhou J, Cheng J, Hu T. D, Yan W. S, Wei X. G, Wu Z, *Chem. Mater.* 24 (2012) 1676.
- [47] Vethanathan S. J. K, Brightson M, Sundar S. M, Perumal S, *Mater. Chem. Phys.* 125 (2011) 872.
- [48] Jiang Y. J, Wang W, Jing C. B, Cao C. Y, Chu J. H, *Mater. Sci. Eng., B* 176 (2011) 1301.
- [49] Yan H. L, Wang J. B, Zhong X. L, *Appl. Surf. Sci.* 257 (2011) 5017
- [50] Zhang H. W, Shi E. W, Chen Z. Z, Liu X. C, Xiao B, *Solid State Commun.* 137 (2006) 272.
- [51] Yuan M., Fu W, Yang H, Yu Q, Liu S, Zhao Q, Sui Y, Ma D, P.Sun, Zhang Y, Luo B, *Mater Lett.* 63 (2009) 1574
- [52] Mollar M, Tortosa M, Casasus R, B.Mari, *Microelectron. J.* 40 (2009) 276
- [53] Kim H, Moon J.Y, Lee H.S, *Electron. Mater. Lett.* 7 (2011) 59.
- [54] Singh A. K, Thool G. S, Bangal P. R, Madhavendra S. S, Singh S. P, *Ind. Eng. Chem. Res.* 53 (2014)9383
- [55] Razak W.K. Tan K. A, Ibrahim K, Lockman Z, *J. Alloys Compd.* 509 (2011) 6806.
- [56] Rusu G.G, Rambu A.P, Buta V.E, Dobromir M, Luca D,Rusu M, *Mater. Chem. Phys.* 123 (2010) 314
- [57] Tiwari P, Srivastava H, Srivastava A.K, Deb S.K, *J. Alloys Compd.* 611 (2014) 117–124
- [58] Hong R, Xu L, Wen H., Chen J, Liao J, You W, *Opt. Mater.* 34 (2012) 786.
- [59] Mihailova I, Gerbreders V, Tamanis E, Sledevskis E, Viter R, Sarajevs P, *J. Non-Cryst. Solids* 357 (2013) 212.
- [60] Kumar S, Chatterjee S, Chattopadhyay K.K, Ghosh A.K, *J. Phys. Chem. C* 116 (2012) 16700.

- [61] Chen Y, Hao W, Xu H, Yu YX, Wang T, Chen R, Zhang L, Du Y, Wang XL, Dou SX, ACS Appl Materials & Interfaces 4 (2012) 4470.
- [62] Ramachandran S, Narayan J, Prater J. T, Appl. Phys Lett. 88 (2006) 242503.
- [63] Hsu H. S, Huang J. C. A, Huang Y. H, Liao Y. F, Lin M. Z, Lee C. H, Lee J. F, Chen S. F, Lai L. Y, Liu C. P, Appl. Phys. Lett. 88 (2006) 242507
- [64] Khalil B, Labrim H, Mounkachi O, Belhorma B, Benyoussef A, Kenz A. El, Belha A, J Supercond Nov Magn, 26 (2013) 151.
- [65] Chen J-H, Lin Y-J, Chang H-C, Chen Y-H, Horng L, Chang C-C, Solid State Commun, 155 (2013) 25.
- [66] Muller C, Sarret M, Andreu T, Electrochim. Acta 48 (2003) 2397
- [67] Puippe J.C, Leaman F, Theory and Practice of Pulse Plating, American Electroplaters and Surface Finishers Society, Orlando, Fl, 1986.
- [68] Lee J, Farhangfar S, Lee J, Cagnon L, Scholz R., Gosele U, Nielsch K, Nanotechnology 19 (2008) 365701.
- [69] Cusco R, Alarcon-Llado E, Ibanez J, Artus L, Jimenez J, Wang B, Callahan M L, Phys Rev B 75 (2007) 165202
- [70] Zuo J, Xu C, Zhang L, Xu B, Wu R, J Raman Spectroscopy 32 (2001) 979.
- [71] Xu D H, Shen W Z, J Phys Chem C 116 (2012) 13368
- [72] Shuanf D, Wang JB, Zhong XL, Yan HL, Mat. Sci. Semicon. Proc. 10 (2007) 97.
- [73] Mhlongo G. H, Motaung D. E, Nkosi S. S, Swart H. C, Malgas G. F, Hillie K. T., Mwakikunga B. W, Appl. Surf. Sci. 293 (2014) 62
- [74] Morkoc H, Ozgur U, Zinc oxide. Fundamentals, Materials and Device Technology, Wiley-VCH Verlag GmbH & Co.KGaA, Weinheim, 2009,chapter 3 p180.
- [75] Vanheusden K, Seager C.H, Warren W.L, Tallant D.R, Voigt J.A, Appl. Phys. Lett. 68 (1995) 403.
- [76] Wu X.L, Appl. Phys. Lett. 78 (2001) 2285.
- [77] Lin B.X, Fu Z.X, Appl. Phys. Lett. 79 (2001) 943.
- [78] Hamdani F, Yeadon M, Smith D.J, Tang H, Kim W, Salvador A, Botchkarev A.W, Gibson J.M, Poliakov A.Y, Skowronski M., Morkoc M, J.Appl. Phys. 83 (1998) 983.
- [79] Shuang D, Zhu X.X, Wang J.B, Zhong L, Huang G.J, He C, Appl. Surf. Sci. 257 (2011) 6085.
- [80] Zeng H, Cai W, Hu J, Duan G, Liu P, Li Y, Appl. Phys. Lett. 88 (2006) 171910.
- [81] Chang S.S, Yoon S.O, Park H.J, Sakai A, Appl. Surf. Sci. 158 (2000) 330.

### **Echipa 5 (responsabil Liliana Mitoseriu)**

Echipa 5 si-a adus contributia la indeplinirea obiectivului 2. Rezultatele principale sunt prezentate mai jos.

#### **I. Prepararea de nanoparticule si nanostructuri miez-invelis**

S-a finalizat studiul unor nanostructuri miez-invelis (Co feromagnetic - invelis antiferomagnetic: CoO sau  $\text{Co}_3\text{O}_4$ ). In principal, rezultatele se refera la studiul microstructural al mecanismului de formare al stratului oxidic la suprafata nanoparticulelor de Co sub actiunea fasciculului de electroni al TEM. Rezultatele au fost publicate in Adv. Funct. Mater. [1].

#### **II. Prepararea de tinte ceramice oxidice pentru depuneri prin PLD**

Au fost preparate tinte ceramice (discuri cu grosimea de 3 mm și diametrul de 20 mm.) pentru depuneri prin PLD, din familia  $\text{Pb}(\text{Mg}_{1/3}\text{Nb}_{2/3})\text{O}_3\text{-PbTiO}_3$  (PMN-PT) cu compozitii: (i) in vecinatatea suprapunerii de faze (Morphotropic Phase Boundary: MPB): 0.68PMN-0.32PT, (ii) in zona de compozitii bogata in PT (feroelectrica): 0.20PMN-0.80PT. Esantioanele au fost realizate din pulberi produse prin reactie in stare solida sinterizate la  $1050\text{-}1150^\circ\text{C}/3\text{h}$ . Ceramica cu compozitie in zona MPB contine si o cantitate insemnata de piroclor ca faza secundara. Densitatile relative ale ceramicelor sunt in domeniul 92-95%.

### III. Dezvoltare de modele Preisach/FORC pentru ferofelectri si compozite

A fost dezvoltat un model pentru a descrie proprietatile ferofelectrice in medii neomogene (ex: medii poroase, cu faze segregate, cu gradient compozitional, compusi polifazici), bazat pe combinarea modelului clasic Preisach (CPM) cu calcule prin element finit (FEM) prin care se determina valorile campului local in functie de microstructura. Modelul Preisach descrie comutarea si fenomene histeretice in medii magnetice si ferofelectrice, admitand existenta unei distributii de entitati microscopice comutabile (histeroni), caracterizate prin cicluri de histerezis rectangulare care comuta la diferite valori de camp (distributie de histeroni in planul Preisach: distributia Preisach, Fig. 1a). Distributia histeronilor in ferofelectrii are doua componente care descriu partea ireversibila (Fig. 1b), respectiv reversibila (Fig. 1c) care se pot determina prin metoda analizei FORC (first-order reversal curves).

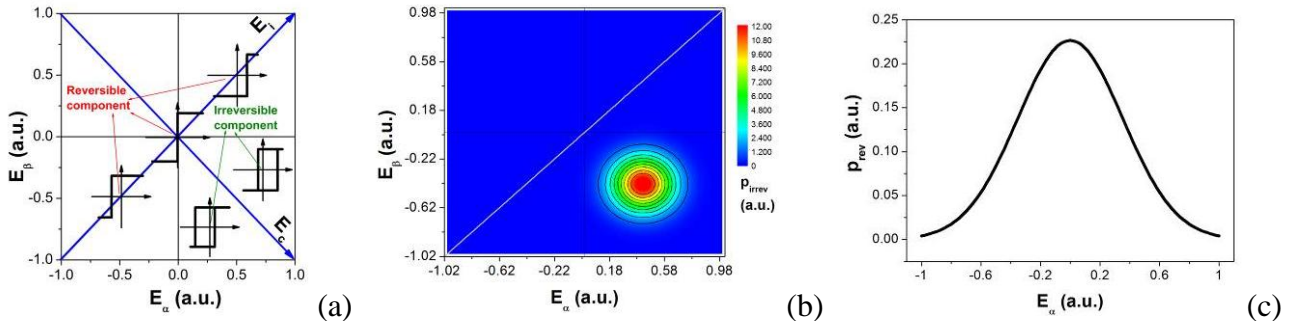


Fig.1 Histeroni in planul Preisach (a) si distributia acestora: (b) componenta ireversibila (comutabila), (c) componenta reversibila.

Polarizatia sistemului se calculeaza pe baza integralei Everett:

$$e(E_\alpha, E_\beta) = \int_{E_\beta}^{E_\alpha} \left[ \int_a^b p_{irrev}(a, b) db \right] da + \int_{E_\beta}^{E_\alpha} p_{rev}(a) da, \quad (1)$$

iar maximul polarizatiei este:

$$P_{\max}(E_{\max}) = e(E_{\max}, -E_{\max}) = \int_{-E_{\max}}^{E_{\max}} \left[ \int_{-E_{\max}}^a p_{irrev}(a, b) db \right] da + \int_{-E_{\max}}^{E_{\max}} p_{rev}(a) da, \quad (2)$$

considerata cu “-“ pentru partea descendenta (Fig. 2a) si cu “+“ pentru partea ascendentă (Fig. 2b). Polarizatia sistemului pe curba descendenta la un camp dat \$E\$ este:

$$P_{up \rightarrow down}(E, E_{\max}) = e(E_{\max}, -E) - 2 \cdot e(E, E_{\max}) \quad (3)$$

iar pe curba ascendentă este: \$e(E, -E\_{\max})\$ iar polarizatia totala a sistemului:

$$P_{down \rightarrow up}(E, E_{\max}) = -e(E_{\max}, -E) + 2 \cdot e(E, -E_{\max}) \quad (4)$$

Cu schimbarea de variabila: \$E\_c = (E\_\alpha - E\_\beta)/\sqrt{2}\$, \$E\_i = (E\_\alpha + E\_\beta)/\sqrt{2}\$ (\$E\_c\$ - camp coercitiv, \$E\_i\$ - camp de interactiune), distributia descrie distributia histeronilor in planul Preisach. Intr-o prima aproximatie, s-a folosit ca input pentru distributia Preisach o doubla Gaussiana a componentei ireversibile ca functie de campul coercitiv si cel de interactiune:



unde: \$\sigma\_c = 0.15\$ a.u., \$\sigma\_i = 0.15\$ a.u., \$E\_{c0} = 0.6\$ a.u.; \$\sigma\_r = 0.5\$ a.u. Pe baza acestui model au fost simulate mai intai cicluri de histerezis P(E) minore si majore, in ipoteza campului omogen in tot esantionul (Fig. 2e).

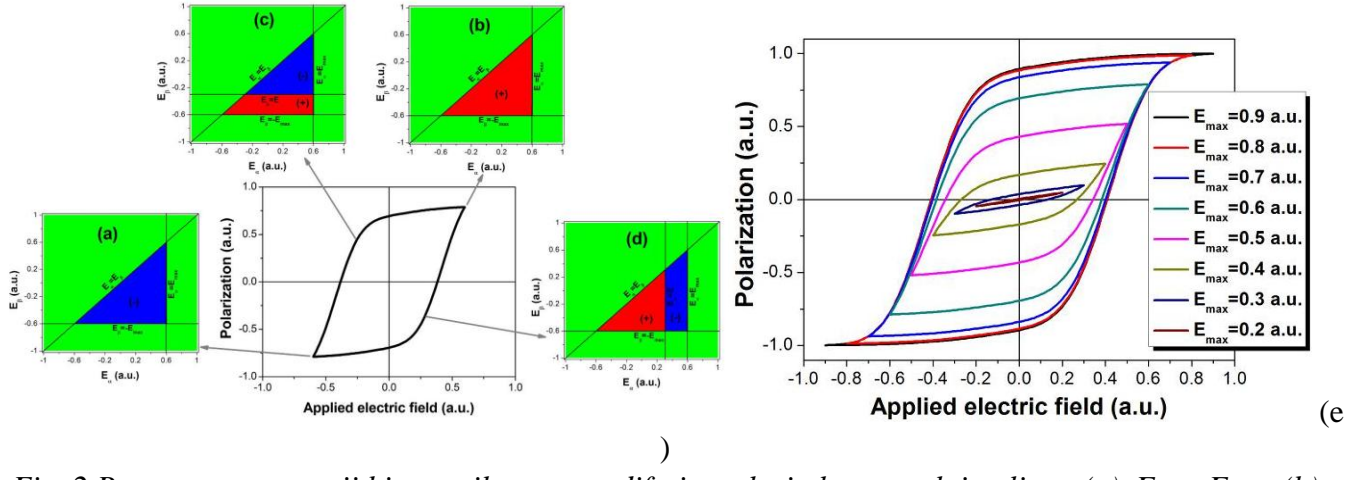


Fig. 2 Reprezentarea starii histeronilor pentru diferite valori ale campului aplicat: (a)  $E = -E_{\max}$ , (b)  $E = E_{\max}$ , (c)  $-E_{\max} < E < E_{\max}$  pentru curba descendenta, (d)  $-E_{\max} < E < E_{\max}$  pentru curba ascendentă.(e) Cicluri de histerezis simulate  $P(E)$  minore si majore pentru diferite amplitudini ale campului aplicat.

In continuare, a fost luat in calcul faptul ca intr-un mediu ferroelectric neomogen, histeronii evolueaza sub actiunea campului local (puternic neomogen), determinat de microstructura esantionului. Pasul urmator in modelare a fost introducerea campului local si medierea raspunsului polarizatiei efective. Distributia dupa campuri a fost determinata prin calcule FEM, considerand caracteristicile microstructurale ale sistemului. Un exemplu de calcul este aratat in Fig. 3, in care s-a studiat efectul granulatiei asupra proprietatilor de comutare  $P(E)$  in ceramici nanostructurate, in care neomogenitatea campului deriva din faptul ca s-au considerat proprietati electrice diferite ale granulelor si ale granitelor acestora in ceramica. Cu acest model au fost descrise efectele scaderii granulatiei asupra ciclului de histerezis ferroelectric si al caracteristicilor acestuia care au fost observate si experimental (scaderea polarizatiei de saturatie si remanente, a ariei ciclului si factorului de rectangularitate).

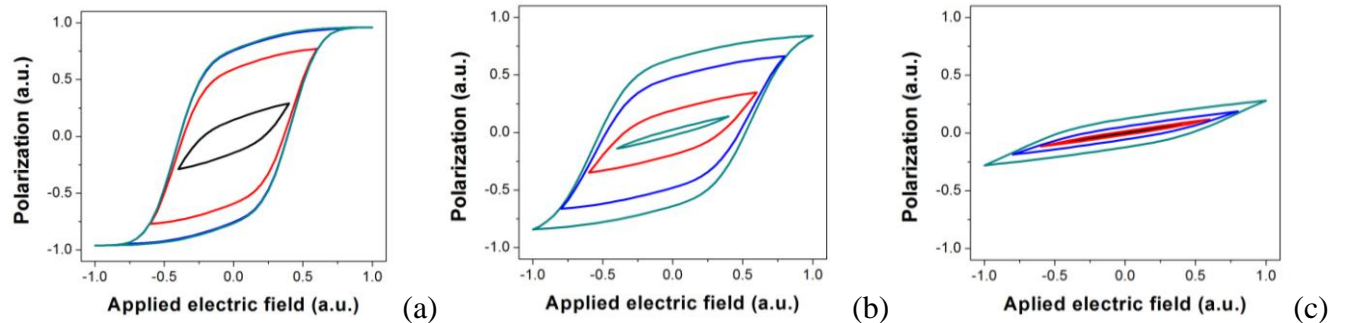


Fig. 3 Cicluri minore/majore calculate cu modelul combinat CPM/FEM pentru ferroelectrii cu diferite granulatii: (a) monocristal, (b) GS=100 a.u. si (c) GS = 30 a.u.

## Rezultate/Diseminare

Rezultatele stiintifice obtinute de la inceputul proiectului au fost disseminate in felul urmator:  
 33 de lucrari publicate sau acceptate pentru publicat, cu un factor de impact cumulat de 81,234  
 5 lucrari submise la publicat sau in pregatire, cu un factor de impact cumulat de 9,789  
 1 capitol de carte publicat la Editura Springer  
 1 capitol de carte in presa la Flogen Star Outreach  
 1 capitol de carte in pregatire la Wiley

**Lista lucrarilor**

Nr.	Titlu	Autori	Jurnal	Status	FI
1	The impact of the Pb(Zr,Ti)O <sub>3</sub> -ZnO interface quality on the hysteretic properties of a metal-ferroelectric-semiconductor structure	I. Pintilie, I. Pasuk, G. A. Ibanescu, R. Negrea, C. Chirila, E. Vasile, L. Pintilie	J. Appl. Phys. 112, 104103 (2012); doi: 10.1063/1.4765723	Publicat	2.168
2	Growth Aspects of Thin-Film Composite Heterostructures of Oxide Multicomponent Perovskites for Electronics	Kazuhiro Endo, Petre Badica, Shunichi Arisawa, Hiroshi Kezuka, Tamio Endo	Japanese Journal of Applied Physics 51 (2012) 11PG09	Publicat	1.058
3	Tailoring non-linear dielectric properties by local field engineering in anisotropic porous ferroelectric structures	L. Padurariu, L. Curecheriu, C. Galassi, L. Mitoseriu	Appl. Phys. Lett. 100, 252905 (2012)	Publicat	3.844
4	Grain Size-Dependent Properties of Dense Nanocrystalline Barium Titanate Ceramics	L.P. Curecheriu, S.B. Balmus, M.T. Buscaglia, V. Buscaglia, A. Ianculescu, L. Mitoseriu	J. Am. Ceram. Soc., 95, 3912-3921 (2012)	Publicat	1.136
5	BaTiO <sub>3</sub> -ferrite composites with magnetocapacitance and hard/soft magnetic properties	L. Curecheriu, P. Postolache, V. Buscaglia, M. Alexe, N. Horchidan and L. Mitoseriu	Phase Transitions 86, No. 7, 670–680 (2013),	Publicat	0.863
6	Tunable dielectric characteristics of Mn-doped BiFeO <sub>3</sub> multiferroic ceramics	F. Gheorghiu, L. Curecheriu, A. Ianculescu, M. Calugaru, L. Mitoseriu	Scripta Materialia 68 (2013) 305–308	Publicat	1.4015
7	Charge transfer and band bending at Au/Pb(Zr0.2Ti0.8)O <sub>3</sub> interfaces investigated by photoelectron spectroscopy	Nicoleta G. Apostol, Laura E. Stoflea, George A. Lungu, Cristina Chirila, Lucian Trupina, Raluca F. Negrea, Corneliu Ghica, Lucian Pintilie, Cristian M. Teodorescu	Applied Surface Science 273 (2013) 415– 425	Publicat	2.112
8	Band bending at free Pb(Zr,Ti)O <sub>3</sub> surfaces analyzed by X-ray photoelectron spectroscopy	Nicoleta G. Apostol, Laura E. Stoflea, George A. Lungu, Cristian A. Tache, Dana G. Popescu, Lucian Pintilie, Cristian M. Teodorescu	Materials Science and Engineering B 178 (2013) 1317– 1322 <a href="http://dx.doi.org/10.1016/j.mseb.2013.02.007">http://dx.doi.org/10.1016/j.mseb.2013.02.007</a>	Publicat	1.846
9	Room and high temperature toughening in directionally solidified 4 B4C-TiB <sub>2</sub> eutectic composites by Si doping	I. Bogomol, P. Badica, Y. Shen, T. Nishimura, P. Loboda, O. Vasylkiv	Journal of Alloys and Compounds 570 (2013) 94–99 <a href="http://dx.doi.org/10.1016/j.jallcom.2013.03.084">http://dx.doi.org/10.1016/j.jallcom.2013.03.084</a>	Publicat on-line	2.390
10	Band bending in Au/Pb(Zr,Ti)O <sub>3</sub> investigated by X-ray photoelectron spectroscopy:	Nicoleta G. Apostol, Laura E. Stoflea, George A. Lungu, Liviu C. Tanase, Cristina Chirila,	Thin Solid Films 545 (2013) 13–21 <a href="http://dx.doi.org/10.1016/j.tsf.2013.07.030">http://dx.doi.org/10.1016/j.tsf.2013.07.030</a>	Publicat	1.604

	dependence on the initial state of the film	Ligia Frunza, <u>Lucian Pintilie</u> , and <u>Cristian M. Teodorescu</u>	16/j.tsf.2013.04.092		
11	Structural, electric and magnetic properties of $\text{Pb}(\text{Zr}_{0.2}\text{Ti}_{0.8})\text{O}_3$ – $\text{CoFe}_2\text{O}_4$ heterostructures	<u>C.Chirila</u> , <u>G.Ibanescu</u> , <u>L. Hrib</u> , <u>R. Negrea</u> , <u>I.Pasuk</u> , <u>V. Kuncser</u> , <u>I. Pintilie</u> and <u>L.Pintilie</u>	Thin Solid Films 545 (2013) 2–7 <a href="http://dx.doi.org/10.1016/j.tsf.2013.06.033">http://dx.doi.org/10.1016/j.tsf.2013.06.033</a>	Publicat	1.604
12	Electrode interface control of the Schottky diode-like behavior in epitaxial $\text{Pb}(\text{Zr}_{0.2}\text{Ti}_{0.8})\text{O}_3$ thin films: a critical analysis	<u>L. Hrib</u> , <u>G. A. Boni</u> , <u>C. Chirila</u> , <u>I. Pasuk</u> , <u>I. Pintilie</u> , and <u>L. Pintilie</u>	J. Appl. Phys. <b>113</b> , 214108 (2013); <a href="http://dx.doi.org/10.1063/1.4808464">http://dx.doi.org/10.1063/1.4808464</a>	Publicat	2.210
13	Electronic transport in $(\text{La},\text{Sr})\text{MnO}_3$ -ferroelectric-( $\text{La},\text{Sr})\text{MnO}_3$ epitaxial structures	<u>G. A. Boni</u> , <u>I. Pintilie</u> , <u>L. Pintilie</u> , D. Preziosi, H. Deniz, M. Alexe	J. Appl. Phys. 113, 224103 (2013); <a href="http://dx.doi.org/10.1063/1.4808335">http://dx.doi.org/10.1063/1.4808335</a>	Publicat	1.105
14	Self-Organization and/or Nanocrystallinity of Co Nanocrystals Effects on the Oxidation Process Using High-Energy Electron Beam	Ana Cazacu, Claudio Larosa, Patricia Beaunier, Guillaume Laurent, Paolo Nanni, <u>Liliana Mitoseriu</u> , Isabelle Lisiecki	Advanced Functional Materials 24, 1, 164–170, 2014	Publicat	9.765
15	Influence of orbital contributions to valence band alignment of $\text{Bi}_2\text{O}_3$ , $\text{Fe}_2\text{O}_3$ , $\text{BiFeO}_3$ , and $\text{Bi}:5\text{Na}:5\text{TiO}_3$	Shunyi Li, Jan Morasch, Andreas Klein, <u>Christina Chirila</u> , <u>Lucian Pintilie</u> , Lichao Jia, Klaus Ellmer, Michael Naderer, Klaus Reichmann, Melanie Grötting, Karsten Albe	Physical Review B, 88, 045428 (2013), <a href="http://link.aps.org/doi/10.1103/PhysRevB.88.045428">http://link.aps.org/doi/10.1103/PhysRevB.88.045428</a>	Publicat	3.767
16	Synthesis and Raman scattering of multiferroic $\text{Fe-Pb}(\text{Zr}_{0.2}\text{Ti}_{0.8})\text{O}_3$ core-shell wire arrays	<u>Mihaela Baibarac</u> , <u>Marian Sima</u> , <u>Elena Matei</u> , <u>Iuliana Pasuk</u> , <u>Lucian Mihut</u>	Phys. Status Solidi A, 1–6 (2013) / DOI 10.1002/pssa.201330062	Publicat online	1.469
17	Giant pyroelectric coefficient determined from the frequency dependence of the pyroelectric signal generated by epitaxial $\text{Pb}(\text{Zr}_{0.2}\text{Ti}_{0.8})\text{O}_3$ layers grown on single crystal $\text{SrTiO}_3$ substrates	<u>M. Botea</u> , A. Iuga, <u>L. Pintilie</u>	Applied Physics Letters 103, 232902 (2013) DOI: 10.1063/1.4838035	Publicat	1.897
18	Schottky barrier versus surface ferroelectric depolarization at $\text{Cu}/\text{Pb}(\text{Zr},\text{Ti})\text{O}_3$ interfaces	<u>Nicoleta G. Apostol</u> , <u>Laura E. Stoflea</u> , <u>Cristina Chirila</u> , <u>Lucian Trupina</u> , <u>Raluca Negrea</u> , <u>Lucian Pintilie</u> , <u>Cristian M. Teodorescu</u>	JOURNAL OF MATERIALS SCIENCE 49(9), 3337–3351 (2014)	Publicat	2.163

19	Epitaxial growth of Au on Ge(001) surface: Photoelectron spectroscopy measurements and first-principles calculations	Dana G. Popescu, <u>Marius A. Husanu</u>	Thin Solid Films 552 (2014) 241–249	Publicat	1.604
20	Polarization-control of the potential barrier at the electrode interfaces in epitaxial ferroelectric thin films	<u>Ioana Pintilie, Cristian Mihail Teodorescu, Corneliu Ghica, Cristina Chirila, Andra Georgia Boni, Luminita Hrib, Iuliana Pasuk, Raluca Damian, Nicoleta Apostol, Lucian Pintilie</u>	ACS APPLIED MATERIALS & INTERFACES 6(4), 2936-2946 (2014)	Publicat	5.008
21	Intrinsic Energy Band Alignment of Functional Oxides	Shunyi Li, Feng Chen, Robert Schafranek, Thorsten Bayer, Karsten Rachut, Anne Fuchs, Sebastian Siol, Mirko Weidner, Verena Pfeifer, Jan Morasch, Cosmina Ghinea, Emmanuel Arveux, Richard Günzler, Jürgen Gassmann, Christoph Körber, Yvonne Gassenbauer, Frank Säuberlich, Gutlapalli Venkata Rao, Sandrine Payan, Mario Maglione, <u>Cristina Chirila Lucian Pintilie</u> , Lichao Jia, Klaus Ellmer, Michael Naderer, Klaus Reichmann, Ulrich Böttger, Raluca Frunza, Hana Uršič, Barbara Malič, Wen-Bin Wu, Paul Erhart and Andreas Klein	PHYSICA STATUS SOLIDI-RAPID RESEARCH LETTERS 8(6), 571-576 (2014)	Publicat	2.388
22	Electric-field-induced transformations in epitaxial relaxor ferroelectric PbMg1/3Nb2/32 O3 films	M. Tyunina, I. Pintilie, A. Iuga, and L. Pintilie	PHYSICAL REVIEW B 89(9), 094106 (2014)	Publicat	3.767
23	Tough and dense boron carbide obtained by high-pressure (300MPa) and low-temperature (1600°C) spark plasma sintering	Petre BADICA, Salvatore GRASSO, Hanna BORODIANSKA, Sky Shumao XIE, Peifeng LI, Peter TATARKO, Mike J. REECE, Yoshio SAKKA and Oleg VASYLKIV	Journal of the Ceramic Society of Japan 122 [4] 1-5 2014	Publicat	0.940
24	Influence of the Carbo-Chromization Process on the Microstructural, Hardness, and Corrosion Properties of 316L Sintered Stainless Steel	SORIN IORGA, MIHAI COJOCARU, ADRIANA CHIVU, SORIN CIUCA, MIHAEL BURDUSEL, PETRE BADICA, CE DRIC LEUVREY, GUY SCHMERBER, CORINNE ULHAQ-BOUILLET, and	METALLURGICAL AND MATERIALS TRANSACTIONS A DOI: 10.1007/s11661-014-2247-8	Publicat on-line	1.6127

		SILVIU COLIS			
25	Strain-driven formation of monoclinic nano-domains in epitaxial SrRuO <sub>3</sub> thin films	<u>C. Ghica, R.F. Negrea, L. C. Nistor, F. C. Chirila, L. Pintilie</u>	JOURNAL OF APPLIED PHYSICS 116(2), 023516 (2014)	Publicat	2.210
26	Frustration of ferroelectricity in epitaxial film of relaxor ferroelectric PbSc <sub>1/2</sub> Nb <sub>1/2</sub> O <sub>3</sub>	Tyunina, M; <u>Pintilie, Ioana</u> ; Iuga, A; Stratulat, M; <u>Pintilie, L</u>	J. Phys.: Condens. Matter 26 (2014) 325901	Publicat	2.355
27	General equivalent circuit derived from capacitance and impedance measurements performed on epitaxial ferroelectric thin films	<u>L. Pintilie, L. Hrib, I. Pasuk, C. Ghica, A. Iuga, I. Pintilie</u>	Journal of Applied Physics <b>116</b> , 044108 (2014);	Publicat	2.210
28	Quasi-static electric field – temperature diagrams in epitaxial relaxor ferroelectric films	M. Tyunina, <u>I. Pintilie</u> , J. Levoska, <u>L. Pintilie</u>	Phase Transitions, 2014 <a href="http://dx.doi.org/10.1080/01411594.2014.961151">http://dx.doi.org/10.1080/01411594.2014.961151</a>	Publicat online	0.863
29	Evaluation of the Paramagnetic Impurities Segregation at Grain Boundaries in Nanostructured ZnO Films	<u>D. Ghica, M. Stefan, C. Ghica, G. Stan</u>	ACS Applied Materials & Interfaces 2014, 6 (16), pp 14231–14238 <b>DOI:</b> 10.1021/am5035329	Publicat	5.008
30	Enhancement of pyroelectric signal by continuous ultraviolet illumination of epitaxial Pb(Zr <sub>0.2</sub> Ti <sub>0.8</sub> )O <sub>3</sub> films	L. Pintilie <sup>1</sup> , M. Botea <sup>1,2</sup> , A. Iuga <sup>1</sup>	Applied Physics Letters <b>105</b> , 132901 (2014);	Publicat	3.515
31	Spectro-microscopic photoemission evidence of charge uncompensated areas in Pb(Zr,Ti)O <sub>3</sub> (001) layers	Dana Georgeta Popescu, Marius Adrian Hus-anu, Lucian Trupina*, Luminita Hrib, Lucian Pintilie, Alexei Barinov, Silvano Lizzit, Paolo Lacovig and Cristian Mihail Teodorescu	<i>Phys. Chem. Chem. Phys</i> 10.1039/c4cp04546g	Publicat online	4.198
32	Effects of annealing in Be/W and Be/C bilayers deposited on Si(0 0 1) substrates with Fe buffer layers	G. Schintei, S.G. Greculeasa, P. Palade, G.A. Lungu, C. Porosnicu, I. Jepu, C.P. Lungu, G. Filoti and V. Kuncser	J Nucl Mater	Acceptat	2.016
33	Magnetic and Mössbauer spectroscopy STUDY of Fe-Cr-Al thin films sputtered on	S.G. Greculeasa, G. Schintei, P. Palade, G. Filoti, I.S. Ghita and V.	Romanian Reports in Physics	Acceptat	1.137

	Si substrates	Kuncser			
	TOTAL F.I. lucrari publicate				<b>81.2342</b>
34	Electrode interface controlled electrical properties in quasi-epitaxial Pb(Zr <sub>0.52</sub> Ti <sub>0.48</sub> )O <sub>3</sub> films grown on Si substrates with SrTiO <sub>3</sub> buffer layer	<u>Andra Georgia Boni, Cristina Chirila, Iuliana Pasuk, Raluca Negrea, Lucian Trupina, Gwenael Le Rhun, Bertrand Vilquin, Ioana Pintilie, Lucian Pintilie</u>	Thin Solid Films	Submis	1.867
35	Comparison between the ferroelectric/electric properties of the PbZr <sub>0.52</sub> Ti <sub>0.48</sub> O <sub>3</sub> films grown on Si (100) and on STO (100) substrates	<u>Cristina Chirila<sup>1</sup>, Andra Georgia Boni<sup>1,4</sup>, Iuliana Pasuk<sup>1</sup>, Raluca Negrea<sup>1</sup>, Lucian Trupina<sup>1</sup>, Gwenael Le Rhun<sup>2</sup>, Shi Yin<sup>2,3</sup>, Bertrand Vilquin<sup>3</sup>, Ioana Pintilie<sup>1</sup>, Lucian Pintilie<sup>1</sup></u>	Journal of Materials Science	submis	2.163
36	Raman scattering and photoluminescence studies of ZnO nanoneedels assembled as flowers in the presence of fullerene	<u>M. Baibarac, I. Baltog, A. Matea, S. Lefrant</u>	Journal of Crystal Growth	submisa	1.693
37	Optical properties of Mn doped ZnO films and wires synthetized by thermal oxidation of ZnMn alloy	<u>M. Baibarac, M.Sima, V.Eugeniu, L. Mihut, Ma.Sima</u>	Journal of Non-Crystalline Solids	In pregatire	1.597
38	Array of ZnO/ZnOMn/ BaTiO <sub>3</sub> nanocables: synthesis and optical properties	<u>M. Sima, M. Baibarac, E. Vasile, C. Logofatu, Ma.Sima, L. Mihut</u>	Applied Surface Science	submisa	2.469
TOTAL F.I. lucrari trimise la publicat					9.789

Nr. Publicatii pe an:

**2012-4**

**2013-12**

**2014-15 publicate, 2 acceptate si 4 submise**

Avand in vedere cele de mai sus consideram ca obiectivele de etapa au fost indeplinite.

Capitol de carte publicat

Titlu carte: Size Effects in Nanostructures  
Springer Series in Materials Science  
Volume 205, 2014, pp 77-108  
Date: 02 Nov 2014

**Titlu capitol: Oxide Thin Films and Nano-heterostructures for Microelectronics (MOS Structures, Ferroelectric Materials and Multiferroic Heterostructures)**

Autori: I. Pintilie, L. Pintilie, L. D. Filip, L. C. Nistor, C. Ghica  
Pages: pp 77-108  
DOI:10.1007/978-3-662-44479-5\_4  
Print ISBN: 978-3-662-44478-8

Capitol carte in presa:

**Titlu capitol: INTERFACES IN EPITAXIAL STRUCTURES BASED ON OXIDE FERROELECTRICS**

Autori: Lucian Pintilie, Ioana Pintilie, Cristian Mihail Teodorescu, Corneliu Ghica, Luminita Hrib, Cristina Chirila, Lucian Trupina, Andra Georgia Boni, Alin Iuga, Raluca Negrea, Iuliana Pasuk, Mihaela Botea, Lucian Dragos Filip, Victor Kuncser, Gabriel Schinteie

Capitol de carte in pregatire:

Titlu volum: Nanoscale Ferroelectrics and Multiferroics: Key Processing and Characterization issues, and Nanoscale Effects

**Titlu capitol: Interfaces in epitaxial ferroelectric layers/multilayers and their effect on the macroscopic electrical properties**

Autori: Lucian Pintilie, Andra Georgia Boni, Cristina Chirila, Luminita Mirela Hrib, Alin Iuga, Lucian Trupina, Ioana Pintilie, Iuliana Pasuk, Raluca Negrea, Corneliu Ghica, Mihaela Botea, Nicoleta Apostol and Cristian Mihail Teodorescu

Diseminarea s-a facut si prin prezentari la conferinte:

1 prezentare invitata

6 prezentari orale

13 prezentari poster

Nr.	Conferinta	Titlu prezentare	Autori	Tip prezentare
1	Shechtman International Symposium, 29 iunie-4 iulie 2014, Cancun, Mexic	INTERFACES IN EPITAXIAL STRUCTURES BASED ON OXIDE FERROELECTRICS	<u>Lucian Pintilie, Ioana Pintilie, Cristian Mihail Teodorescu, Corneliu Ghica, Luminita Hrib, Cristina Chirila, Lucian Trupina, Andra Georgia Boni, Alin Iuga, Raluca Negrea, Iuliana Pasuk, Mihaela Botea, Lucian Dragos Filip, Victor Kuncser, Gabriel Schinteie</u>	Invitata
2	ELECTROCERAMICS XIV, 16-20 iunie, Bucuresti, Romania	Microstructural studies by advanced transmission electron microscopy of interfaces in multilayered structure based on $Pb(Zn_{0.2}Ti_{0.8})O_3$	<u>R.F. Negrea, C. Ghica, V.S. Teodorescu, V.A. Maraloiu, C. Chirila, L. Pintilie</u>	Orala

3	ELECTROCERAMICS XIV, 16-20 iunie, Bucuresti, Romania	Preparation of multifunctional composites by using SrTiO <sub>3</sub> @BaTiO <sub>3</sub> core-shell particles as reactive precursors	M. Airimioaei, M.T. Buscaglia, V. Buscaglia, <u>C.E. Ciomaga, L. Mitoseriu</u>	Orala
4	ELECTROCERAMICS XIV, 16-20 iunie, Bucuresti, Romania	Tailoring properties by nanostructured and local field engineering in multifunctional oxides composites	<u>L. Mitoseriu</u> , V. Buscaglia, C. Galassi	Orala
5	ELECTROCERAMICS XIV, 16-20 iunie, Bucuresti, Romania	General equivalent circuit and polarization controlled interface properties derived from capacitance and impedance measurements performed on epitaxial ferroelectric thin films	<u>L. Pintilie, L. Hrib, I. Pasuk, C. Ghica, A. Iuga, L. Pintilie</u>	Orala
6	ELECTROCERAMICS XIV, 16-20 iunie, Bucuresti, Romania	The effect of the different top electrodes on the electrical properties of epitaxial Pb(Zr0.52Ti0.48)O <sub>3</sub> deposited by PLD on Si substrate with SrTiO <sub>3</sub> buffer layer	G.Boni, C. Dragoi, Y. Shi, B. Vilquin, G. Saint-Girons, Y. Robach , G. Le Rhun , <u>I. Pintilie, L. Pintilie</u>	Orala
7	ELECTROCERAMICS XIV, 16-20 iunie, Bucuresti, Romania	Theoretical current-voltage characteristics for the symmetric metal-ferroelectric-metal heterostructure	<u>L. D. Filip, L. Pintilie</u>	Orala
8	COST MP0904 SIMUFER Conference and final MC meeting „Single-and multiphase ferroics & multiferroics with restricted geometries” Inst. of Energetics & Interphases CNR Genoa (IT) January 30 <sup>th</sup> - February 1 <sup>st</sup>	Structural, electrical, magnetic and magnetoelectric properties in composite materials	<u>C.E. Ciomaga, M. Airimioaei, G. Schileo, C. Galassi, L. Mitoseriu</u>	Orala
9	ELECTROCERAMICS XIV, 16-20 iunie, Bucuresti, Romania	Comparison between the ferroelectric/electric properties of the PbZr0.52Ti0.48O <sub>3</sub> films grown on Si (100) and on STO (100) substrates	<u>C. Chirila, A. Boni, Y. Shi, L. Trupina, I. Pasuk, I. Pintilie, B. Vilquin, G. Saint-Girons, Y. Robach, G. Le Rhun and L. Pintilie</u>	Poster
10	ELECTROCERAMICS XIV, 16-20 iunie, Bucuresti, Romania	Localization and dynamics of magnetic impurities in nanostructured ZnO films	<u>D. Ghica, M. Stefan, C. Ghica, G.E. Stan</u>	Poster
11	Euophysical Conference on Defects in Insulating Materials (EURODIM2014) 13 - 19 iulie 2014, Canterbury, Marea Britanie	Atomic scale STEM and EELS characterization of BaTiO <sub>3</sub> /SrRuO <sub>3</sub> /SrTiO <sub>3</sub> ferroelectric heterostructure	<u>R.F. Negrea, C. Ghica, L. C. Nistor si L. Pintilie</u>	Poster
12	International Microscopy Congress (IMC2014) 7 - 12 septembrie 2014 Praga, Cehia	HRTEM/STEM characterization of interfaces and strain-related distortions in epitaxial perovskite heterostructures	<u>R.F. Negrea, C. Ghica, V.S. Teodorescu, V.A. Maraloiu, L.C. Nistor</u>	Poster
13	COST MP0904 SIMUFER	Novel approach to fabricate	<u>L. Curecheriu, M.T.</u>	Poster

	Conference and final MC meeting „Single-and multiphase ferroics and multiferroics with restricted geometries” Inst. of Energetics & Interphases CNR Genoa (IT) January 30 <sup>th</sup> - February 1 <sup>st</sup>	magnetoelectric ceramic by control interface reactions in Fe <sub>2</sub> O <sub>3</sub> @BaTiO <sub>3</sub> composite	Buscaglia, V. Buscaglia, A. Ianculescu, <u>L. Mitoseriu</u>	
14	COST MP0904 SIMUFER Conference and final MC meeting „Single-and multiphase ferroics and multiferroics with restricted geometries” Inst. of Energetics & Interphases CNR Genoa (IT) January 30 <sup>th</sup> - February 1 <sup>st</sup>	Nonlinear responses in circuits with ferroelectric capacitor	<u>G. Ciobanu</u> , <u>L. Mitoseriu</u>	Poster
15	COST MP0904 SIMUFER Conference and final MC meeting „Single-and multiphase ferroics and multiferroics with restricted geometries” Inst. of Energetics & Interphases CNR Genoa (IT) January 30 <sup>th</sup> - February 1 <sup>st</sup>	Influence of the length scale mixing degree and sintering method on functional properties of PZT composites with soft/hard counterparts	<u>N. Horchidan</u> , C. Galassi, C. Capiani, H. Ursic, B. Malic, M.V. Pop, <u>L. Padurariu</u> , <u>L. Mitoseriu</u>	Poster
16	ELECTROCERAMICS XIV, 16-20 iunie, Bucuresti, Romania	Functional properties of PZT based composite materials with soft/hard counterparts	<u>N. Horchidan</u> , C. Galassi, C. Capiani, M.V. Pop, <u>L. Padurariu</u> , <u>L. Curecheriu</u> , <u>L. Mitoseriu</u>	Poster
17	European Conference on Application of Polar Dielectrics ECAPD, July 7-11, 2014, Vilnius, Lithuania	The influence of microstructure on functional properties of Ba(SnxTi1-x)O <sub>3</sub> ceramics	<u>N. Horchidan</u> , A. Ianculescu, H. Ursic, B. Malic, M. Deluca, <u>L. Curecheriu</u> , <u>L. Padurariu</u> , <u>L. Mitoseriu</u>	Poster
18	A XLIII-a Conferinta Nationala FTEM 2014, Iasi, 16 Mai 2014	Preparation and electrical characterization of Multiwall Carbon Nanotubes - chitosan nanocomposites	O.A. Condurache, A.M. Hanganu, <u>C.E. Ciomaga</u> , A. Cazacu, <u>L. Mitoseriu</u>	Poster
19	ELECTROCERAMICS XIV, 16-20 iunie, Bucuresti, Romania	Pyroelectric properties of the Pb(Zr,Ti)O <sub>3</sub> -based structures	<u>Mihaela Botea</u> , Alin Iuga, <u>Viorica Stancu</u> , <u>Lucian Pintilie</u>	Poster
20	ELECTROCERAMICS XIV, 16-20 iunie, Bucuresti, Romania	ZnO-based homo and hetero-structures – assembling and characterization	Liliana M. Trinca, <u>V. Stancu</u> , Aurelian C. Galca, <u>L. Pintilie</u>	Poster